

Алгоритм растеризации для рисования кривых

Разработка мультимедиа и программного обеспечения

Технический центр Вена

Алоис Зингль

Вена, 2016 г.

Абстрактный

Эта работа посвящена растеризации кривых. Это процесс преобразования непрерывных геометрических кривых в векторного формата в изображения дискретных пикселей. Растеризация — фундаментальная задача компьютерной графики. Проблема проиллюстрирована линиями, основанными на устоявшихся методах. Общий метод разработан на основе некоего уравнения кривой. Затем от принципов охватывается на кругах и эллипсах. Впоследствии алгоритм применяется к более сложным кривым, таким как Безье. Этот алгоритм выбирает ближайший к истинным кривым пиксель сетки и позволяет рисовать сложные кривые почти так же быстро и легко, как простые линии. Рассматриваются возникающие в связи с этим проблемы и намечаются различные пути их решения. Затем метод применяется к квадратным и кубическим Безье-нерациональным и рациональным формам, а также к сплайнам. Наконец, усовершенствован общий алгоритм для рисования локтей и изгибов.

Ключевые слова: графика, растеризация, кривые, алгоритм Безье, сплайн.

Улучшенная версия

Данная работа посвящена экранированию кривых. Непрерывные геометрические кривые преобразуются в векторного формата в изображения, состоящие из дискретных пикселей. Растеризация — фундаментальная задача компьютерной графики. Проблема объясняется с помощью строк, основанных на усовершенствованных процедурах. Затем разрабатывается общая процедура с использованием некоего уравнения кривой. Затем от принципов проверяется на кругах и эллипсах. Затем алгоритм отработывается на более сложных кривых, таких как кривые Безье. Алгоритм выбирает ближайший к кривой пиксель и позволяет рисовать сложные кривые почти так же легко и быстро, как простые прямые. Возникающие проблемы обсуждаются и

разработаны различные решения. Затем метод применяется к квадратному и кубическому Безье в нерациональной и рациональной формах, а также к рисованию сплайнов. Наконец, усовершенствован общий алгоритм для кривых произвольной формы.

Ключевые слова: графика, растеризация, кривые, алгоритм, Безье, сплайн.

Содержание

1. Введение.....	5
1.1 Черт еж к ривой.....	5
1.2 Раст ерив ац ия	7
1.3 Пост ановк а проблемы.....	10
1.4 Обще решение.....	10
1.5 Псевд ок од алгорит ма.....	11
1.6 Пря мье линии.....	12
1.7 Прог рамма для пост роения линии.....	13
1.8 Брез енхэм в 3D.....	14
2 эллипса.....	15
2.1 Прог рамма для пост роения эллипса.....	16
2.2 Отп имиз ированный прог рамма для пост роения эллипса.....	16
2.3 Раст ерив ац ия ок ружност ей.....	17
2.4 К вад рат ура эллипса.....	19
2.5 Прог рамма для эллипса внут ри пря моуг оль ник а.	20
3 К вад рат ич нье к ривье Без ь е.....	22
3.1 Расч ет погрешност и.....	24
3.2 Проблемысо слег ка из огнут ьми линия ми.....	25
3.3 Прог рамма для пост роения прост ьх к ривьх Без ь е.....	26
3.4 Раст рвьсок ого раз решения	28
3.5 Пост роение инт еллек т уаль ных к ривьх	30
3.6 Обще к ривье Без ь е.....	32
3.7 Прог рамма для пост роения лкбой к ривой Без ь е.....	33
4 Рац иональ ное Без ь е.....	36
4.1 К вад рат ич но-рац иональ ный Без ь е.....	36
4.2 Рац иональ ный к вад рат ич ный алгорит м.....	39
4.3 Вращение эллипса.....	40
4.4 Рац иональ ное Эллипсы Без ь е.....	41
5 К убич еск ие к ривье Без ь е.....	43
5.1 Умень шение к убич еск ого градуса.....	43
5.2 Полиномиаль ные резуль т ирующие.....	44
5.3 Нея вное к убич еск ое уравнение Без ь е.....	46
5.4 Расч ет к убич еск ой погрешност и.....	48
5.5 Т оч ка самопересеч ения	50
5.6 Градиент на P0.....	52
5.7 Т оч ка перегиба.....	53

5.8 Кубическая задача.....	53
5.9 Кубический алгоритм.....	54
5.10 Деление кубического Безье.....	57
5.11 Построение любой кубической кривой Безье.....	58
6 Рациональная кубическая Безье.....	60
6.1 Рациональное снижение степени.....	60
6.2 Деление рационального кубического Безье.....	61
6.3 Поиск корня.....	62
6.4 Рациональная точка перегиба.....	64
7 Сглаживание.....	65
7.1 Сглаженная линия.....	65
7.2 Сглаженный круг.....	67
7.3 Сглаженный эллипс.....	69
7.4 Сглаженная квадратичная кривая Безье.....	71
7.5 Сглаженная рациональная квадратичная кривая Безье.....	72
7.6 Сглаженная кубическая кривая Безье.....	74
8 Точечное сглаживание кривых.....	79
8.1 Точечная линия.....	79
8.2 Закрашенные ручки.....	81
8.3 Точечные эллипсы.....	82
8.4 Точечная квадратичная рациональная кривая Безье.....	84
8.5 Точечная кривая более высокой степени.....	87
9 Сплайны.....	88
9.1 Квадратичные B-сплайны.....	88
9.2 Кубические сплайны.....	90
10 Выводы.....	94
10.1 Алгоритм построения неявных уравнений.....	94
10.2 Сложность алгоритма.....	94
10.3 Применения.....	95
10.4 Перспективы.....	95
10.5 Исходный код.....	96
Библиография.....	97
Список рисунков.....	99
Список программ.....	101
Список уравнений.....	102

1. Введение

Векторная графика используется в компьютерном геометрическом проектировании. В основе векторной графики на геометрических примитивах, таких как точки, линии, круги, эллипсы и кривые Безье [Фолли, 1995]. Однако, чтобы быть полезной, каждую кривую необходимо один раз растеризовать на дисплее. Принтеры плоттеры машинисты и т.д. Около пятидесяти лет назад Дж. Э. Брезенхэм из лабораторий IBM разработал для плоттеров алгоритм растеризации линий [Bresenham 1965]. Проблема заключалась в том, что процессоры того времени не имели ни инструкций по умножению или делению ни арифметик с плавающей запятой. Он нашел алгоритм растеризации линий на однородной поверхности сетки как пикселей с использованием целочисленного сложения и вычитания. Позже он расширил этот алгоритм для кругов.

Алгоритм этого документа улучшает линейный алгоритм Брезенхама и расширяет его для эллипсов и кривых Безье.

Особенности алгоритма растеризации:

- Универсальность: этот алгоритм строит линии, круги, эллипсы и кривые Безье и т.д.
- Эффективность: Строит сложные кривые со скоростью рисования линий.
- Простота: пиксельный цикл основан только на сложении целых чисел.
- Точность: нет аппроксимации кривой.
- Гладкость: сглаживание кривых.
- Гибкость: Регулируемая толщина линии

Принцип алгоритма можно использовать для растеризации любой кривой.

Первая глава знакомит с алгоритмом рисования. Общий алгоритм рисования вводится и применяется на линиях. Во второй главе алгоритм работает на округлостьх и линиях. В третьей главе используется алгоритм на основе квадратичных кривых Безье и объясняются возникшие проблемы. Разрабатываются различные решения, которые также применяются на рациональных квадратичных Безье в четвёртой главе. В пятой главе рассматривается кубическая кривая Безье и разрабатывается алгоритм рисования. Рациональные кубические Безье в шестой главе построены с помощью приближения. В седьмой главе применяется разработанный алгоритм рисования сплайнов. Работа завершается компиляцией алгоритма и объяснением возможных последствий.

Все алгоритмы кривых также содержат пример реализации, чтобы каждый мог протестировать алгоритм немедленно.

1.1 Рисование кривой

Сначала будут приведены несколько определений и дифференциальных, которые используются на протяжении всей этой работы данный.

Например, возможно несколько предположений, определяющих плоскую кривую из двух размеров. Некоторые определения лучше подходят для построения алгоритмов, чем другие.

Явная функция кривой:

Явное уравнение определяет одну переменную как функцию другой $y = f(x)$. Это представление, как правило, непригодно для эрзац ии, поскольку, насколько возможно, что функция может иметь более одного значения для определенного значения x . Круг является примером такого

изгиб функция $y = \sqrt{r^2 - x^2}$ определяет только верхнюю половину круга. Целью поэту для круга требуется два определения функции.

Неявная функция кривой:

Неявное уравнение кривой представляет собой нулевое множество функции двух переменных $f(x, y) = 0$. Алгебраические кривые, рассматриваемые в данной работе, могут быть представлены в виде полиномов от $x, y =$ вещественных f и s коэффициентами $a_j x^i y^j = 0$ $[i, j \leq n]$.

Каждая точка (x, y) на кривой удовлетворяет этому уравнению

Максимальное значение n уравнения определяет степень неявной функции.

Функция параметрической кривой:

Параметрическое уравнение кривой представляет собой векторную функцию одной переменной. Точки на кривой определяются значениями двух функций $x = f_x(t)$ и $y = f_y(t)$ при значениях x параметра t . Ограниченный интервал параметра t определяет ограниченный сегмент кривых.

Несмотря на кривые, такие как Безье, легче определить с помощью параметрического представления, чем с помощью других. Это также позволяет быстро вычислить координаты (x, y) на кривой для целей рисования.

Градиент кривых:

Наклон или градиент кривой в точке (x, y) определяется как первая производная функции dy/dx . Алгоритм рисования может опираться на постоянно повышающуюся или нисходящую кривую. Поэту может возникнуть необходимость разделить кривую при изменении направления рисования. Эти импационными точками являются максимум и минимум на кривой, где наклон кривой горизонтальный или вертикальный. Эти точки можно вычислить, установив производную функцию равной нулю в направлении x или y .

Определенным алгоритмом также требуются разные процедуры для наклонов ниже или выше значения, равного единице. Поскольку, если градиент ниже единицы всегда происходит x -шаг и необходим условный y -шаг. Если наклон больше единицы то используется шаг по оси Y и условный шаг по оси X .
необходимый.

Векторная графика по сравнению с пиксельным изображением

Визуальный мир элементарных мультимедиа состоит из двух противоположных областей: обработки изображений и компьютерной графики. [Фоли, 1995]

Одна сторона переносит изображения реального мира в компьютер. Фото- или киноматериалы используются для создания изображений, которые могут быть обработаны компьютерами. Другая сторона создает внутри компьютера искусственные изображения и переносит их в реальный мир. Эти изображения созданы с помощью системы автоматизированного проектирования (САПР). [Фоли, 1995]

Изображения реального мира состоят из двумерной матрицы элементов изображения (пикселей). Каждый пиксель содержит информацию о цвете в определенной позиции. Информация, не зависящая от времени записи, теряется навсегда. Например, невозможно впоследствии увеличить разрешение изображения, чтобы увеличить детализацию.

Искусственные изображения, генерируемые компьютером, в основном используют геометрические примитивы, такие как точки, линии, площади, объемы и т. д. Векторная графика содержит информацию о положении в двух или трех измерениях, а также атрибуты, такие как цвет, толщина, тип и т. д. Эта информация не зависит от определенного разрешения. [Фоли, 1995]

Шрифты являются хорошим примером векторной графики. Независимо от того, где выполняется работа, буквы этого текста состоят из векторной графики и должны быть растеризованы в пиксельные изображения, чтобы они могли быть прочитаны.

1.2 Растеризация

Векторная графика — это всего лишь числа, обрабатываемые компьютером. Для визуализации векторной графики необходимо оцифровать в сетку пикселей. Это преобразование называется растеризацией. Хотя преобразование пиксельных изображений в векторную графику затруднено, другой способ сравнительно прост. Это преимущество, поскольку каждый раз требуется растеризация, чтобы обсудить числа видимыми. Растеризация необходима для всех устройств вывода, таких как мониторы, принтеры, плоттеры и т. д. Поэтому важной целью этой работы является эффективность исследований. [Фоли, 1995]

Невозможно перечислить все работы, связанные с растеризацией. Несмотря на недавние публикации вместе с основными идеями послужили источником вдохновения для возможных алгоритмов.

1.2.1 Сопутствующая работа

Фоли описывает два способа построения параметрической кривой [Foley, 1995]. Первый заключается в итеративной оценке $f_x(t)$ и $f_y(t)$ для последовательно расположенных значений t . Второй — рекурсивное подразделение до тех пор, пока роль не становится достаточной близкой к кривой. Оба метода имеют свои преимущества и недостатки. В этом документе описывается третий способ преобразования параметрического уравнения кривой в неявное уравнение и рисование кривой путем итеративной оценки неявного уравнения.

Начнем с простой линии. Как можно растеризовать линию от P_0 до P_1 ? Пройдя через все x -позиции пиксельной линии, x -позиции можно вычислить по формуле

$$y = (x-x_0)(y_1-y_0)/(x_1-x_0)+y_0.$$

У этого метода есть недостаток. Требуется умножение и деление с плавающей запятой. Может показаться, что подсчитать это не так уж и сложно. Но можно ли сделать это более эффективно?

Выражение для расчета положения y содержит отношение наклона $\Delta x/\Delta y$. Вместо дробей можно производить расчет по целым числам, используя знаменатель. Это решение позволяет избежать вычислений с плавающей запятой.

Каждый шаг добавляется разница x . Если выражение больше, чем разность по осям, эта разница вычитается и выполняется шаг по оси y . Этот алгоритм называется алгоритмом Брезенхэма. [Брезенхем, 1965]

Но это решение работает только в том случае, если разность меньше разницы. В другом случае необходима процедура с обменом координат. Этот алгоритм проходит через все позиции x и y для соответствующих позиций. Необходимость двух разных процедур для одного и того же алгоритма является препятствием для упрощения и расширения его использования для более сложных кривых.

[Loop et al., 2005] представляет независимый от разрешения алгоритм рисования, который использует программируемое графическое оборудование для выполнения рендеринга. Преимущество этого подхода заключается в том, что сглаживание также может рассчитываться графическим процессором.

Алгоритм этого документа фокусируется на кривых до полиномиальной степени.

Более высокие степени полинома содержат несколько особых точек или близких сегментов кривой, которые не могут быть обработаны алгоритмом и требуют специальных решений. Такие кривые можно построить с помощью алгоритмов субпиксельности, разработанных [Емельяненко, 2007] или дистанционных аппроксимаций в работе [Таббин, 1994].

Такое решение алгоритма рисования аналогично работе [Golipour-Koujali, 2005], Янга [Yang et al., 2000] и Кумара [Kumar et al., 2011]. Основное отличие их работ в том, что вместо восьми разных процедур для каждого октанта направления рисования разрабатывается общий алгоритм для любого направления. Это делает алгоритм более компактным.

1.2.2 Алгоритм средней точки

Должна быть проведена линия на рисунке 1. Pixel P уже установлен. Для упрощения предполагается, что наклон линии находится в диапазоне от нуля до единицы. В этих условиях рядом можно установить только два пикселя: PX или PXY . Решение о том, какой из них следует установить, может быть принято по расстоянию до центра пикселя. Если линия ближе к Pixel PX , то этот пиксель установлен. В противном случае устанавливается пиксель PXY . Вместо расстояния до линии используется некая функция кривой $f(x,y)=0$. Функция равна нулю для точек на линии. Она положителен для точек в верхнем левом углу и отрицателен для точек в правом нижнем углу. Таким образом, критерием может быть значение некой функции в точке P между PX и PXY . Если функция для точки P является положителем, устанавливается PXY , если это отрицательная точка, устанавливается PX . Поскольку значение средней точки между двумя пикселями определяется как решение, этот алгоритм называется алгоритмом средней точки. [Фоли, 1995]

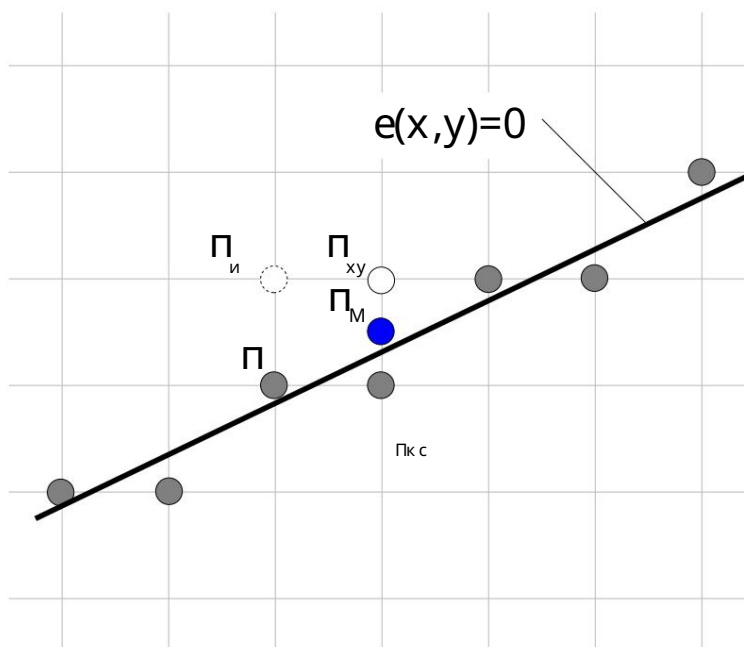


Рисунок 1: Алгоритм средней точки

Этот метод ограничен наклонами от нуля до единицы. В случае линии аналогичный алгоритм необходим для наклонов выше единицы, что вынуждает выбирать между точками P_{XY} и P_Y .

1.2.3 Алгоритм Горнера

Другой способ построения сложных кривых — прямое дифференцирование по алгоритму Хорнера [Foley, 1995]. Этот алгоритм вычисляет значение функции, просто добавляя разницу к предыдущему значению $f(t+\Delta t) = f(t)+d$. Если функция представляет собой полином первой степени $f(t) = a_1 t + a_0$, то разность представляет собой константу $d = a_1$. Для полиномов степени n разность представляет собой последовательное сложение: $d_i = d_i + d_{i+1}$. Значения инициализации d_i могут быть вычислены

разности функции $f(t)$. Если этот алгоритм применить к параметрическому уравнению кривой $x = f_x(t)$ и $y = f_y(t)$, то координаты безье, например, можно будет вычислять только количеством сложений. Проблема этого алгоритма заключается в выборе подходящего размера шага Δt . Если этот шаг слишком велик, несколько точек пропустятся, а если он слишком мал, один и тот же пиксель успеет нарисоваться несколько раз.

Алгоритм Горнера не ограничивается линиями. Его можно использовать и для других кривых. Нужная функция кривой. Начальная позиция P , каждый октант направления рисования требует решения, должен ли быть установлен пиксель в одном из восьми соответствующих направлений или нет.

В этом документе как имитация применяется алгоритм Хорнера к невязному уравнению кривой.

Другой способ построения кривой — аппроксимация. Кривая разделена на короткие линии, каждая линия строится отдельно. Но аппроксимация так же означает выбор одного из двух недостатков. Если аппроксимация должна быть точной, кривую необходимо разделить на множество небольших сегментов. Это вычислительно дорого. С другой стороны кривая становится резкой, если аппроксимация недостаточна точна. Быстрый и точный алгоритм растеризации для кривых по-прежнему желателен.

1.3 Определение проблемы

Неявное уравнение $f(x,y) = 0$ определяет кривую от точки $P_0(x_0, y_0)$ до $P_1(x_1, y_1)$. Градиент кривой должен постоянно быть либо положительным, либо отрицательным. Это ограничение решается разделением кривой.

Кривая может быть прямой линией, но также может быть частью эллипса или, например, кривой Безье.

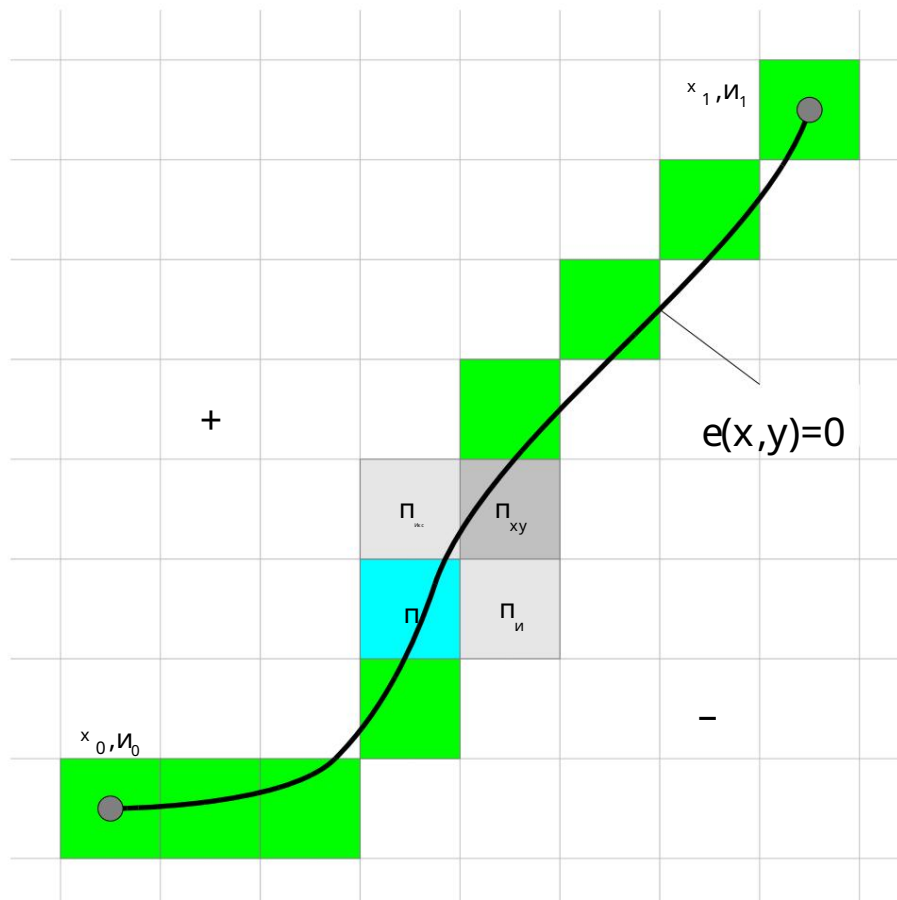


Рисунок 2: Пиксельная сетка кривой $f(x,y)=0$

Кривую на рисунке 2 следует преобразовать в сетку пикселей. Это преобразование называется методом градиента.

Какой пиксель сетки следует установить следующим, что обычно наиболее подходящим образом представит кривую на рисунке 2?

1.4 Общее решение

Ошибка пикселя вводится алгоритмом как измерение отклонения пикселя от кривой: $e = f(x,y)$. Значение ошибки равно нулю для пикселей точно на кривой, положительное для одной стороны кривой и отрицательное для другой стороны кривой. Этот расчет ошибки используется для принятия решения, какой пиксель следует установить следующим. Начиная с пикселя, расположенного между двумя

Возможный пиксель может быть выбран в качестве следующего пикселя из-за положительного градиента: PX или PY .

Алгоритм означает с предположения, что следующей будет обновлена точка PXY . Итак, если ошибка $|e_{xy}|$ точка PXY меньше ошибки $|e_x|$ пикселей PX , чем будет увеличено направление x .

Такое же решение рассматривается для направления y . Если ошибка $|e_{xy}|$ PXY меньше ошибки $|e_y|$ чем направление y будет увеличено. Вот почему на рисунке 2 пиксель над P обозначен PX , а помимо P обозначен PY .

Поскольку предполагается положительный градиент и ошибка на одной стороне кривой будет отрицательной, неравенства e_x e_y всегда будут истинными, что позволяет избежать вычисления абсолютного значения для сравнения. Условия прибавки таковы
сейчас:

если $e_x + e_y > 0$, то увеличить x , если $e_y + e_x < 0$,
то увеличить y

Преимущество этого подхода в том, что ошибка текущего пикселя уже известна, поэтому необходимо вычислить только разницу с предыдущим пикселем. Это вычисление более эффективно реализовать, чем вычисление всего выражения для каждого пикселя.

Ошибка следующего пикселя должна быть рассчитана для всех трех возможностей фактического пикселя P : e_x , e_y и e_{xy} . Можно ли это еще уменьшить? Если алгоритм отслеживает не ошибку текущего пикселя P , а ошибку e_{xy} следующего диагонального пикселя PXY , то необходимо выполнить только два расчета ошибок: e_x и e_y . Поскольку ошибка e_{xy} не доступна, e_x и e_y должны рассчитываться на один пиксель меньше фактической ошибки.

1.5 Псевдокод алгоритма

Расчет значения ошибки зависит от функции кривой, но условия приращения всегда будут одинаковыми.

```

установить  $e_x$ ,  $e_y$  в  $x_0$ ,  $y_0$  установить  $e$ 
переменную ошибку  $e_{xy}$  для цикла  $P(x_0+1, y_0+1)$ 

    установить пиксель  $x$ ,
     $y$ , если  $e_x + e_y > 0$ , затем увеличить  $x$ , ошибка субразности, если  $e_y + e_x < 0$ , затем
    увеличить  $y$ , добавит ошибку разницы
цикл до конца пикселя
  
```

Листинг 1: Псевдокод алгоритма

Обратите внимание, что если условие истинно, то погрешность разности необходимо рассчитывать после приращения производится, поскольку вычисление ошибки всегда смотрит на один диагональный пиксель вперед.

Некоторые алгоритмы в этом документе содержат много деталей. Не все прямо упомянуты в тексте. Некоторые интересные решения по реализации можно было бы увидеть и более кратко объяснить с помощью примера кода. Используется язык программирования C, поскольку его можно легко преобразовать в другие языки. Рисование кривых также является системной задачей, и большинство операций систем написаны на этом языке. Примеры также позволяют сразу протестировать алгоритм.

Разрядность переменных иногда имеет решающее значение и предполагается, что она составляет не менее 16 бит. int, 32 бит для long или float и 64 бит для double.

1.6 Прямые линии

Неявное уравнение прямой линии от точки $P(x_0, y_0)$ до $P(x_1, y_1)$:

$$(x_1 - x_0)(y - y_0) - (x - x_0)(y_1 - y_0) = 0 \quad (1)$$

При определении $dx = x_1 - x_0$ и $dy = y_1 - y_0$ ошибка составляет $e = (y - y_0)dx - (x - x_0)dy$.

Следующие расчеты просты, но немного запутаны из-за индексов и знаков.

Ошибка диагонального шага составляет: $e_x = (y + 1 - y_0)dx - (x + 1 - x_0)dy = e + dx - dy$.

Расчет погрешности для направлений x и y составляет: $e_x = (y + 1 - y_0)dx - (x - x_0)dy = e_x + dy$ и $e_y = (y - y_0)dx - (x + 1 - x_0)dy = e_x - dx$.

Ошибка для первого шага составляет: $e_1 = (y_0 + 1 - y_0)dx - (x_0 + 1 - x_0)dy = dx - dy$.

На рисунке 3 показана линия с $dx = 5$ и $dy = 4$. Значение ошибки и голубого пикселя равно 1. Следующие три серых пикселя являются возможными следующими вариантами. Увеличение в направлении x увеличивает 4 (dy), увеличение в направлении y добавляет 5 (dx) к значению ошибки. Темно-серый пиксель имеет наименьшее абсолютное значение. Оно рассчитывается заранее, поскольку значение ошибки опережает на один диагональный пиксель.

Поскольку $e_x + e_y = +2 - 3 = -1$ меньше нуля, направление y увеличивается, а dx добавляется к значению ошибки.

То же самое делается и для другого направления: $e_x + e_x = +2 + 6 = +8$ больше нуля, поэтому направление x увеличивается, а dy увеличивается из значения ошибки.

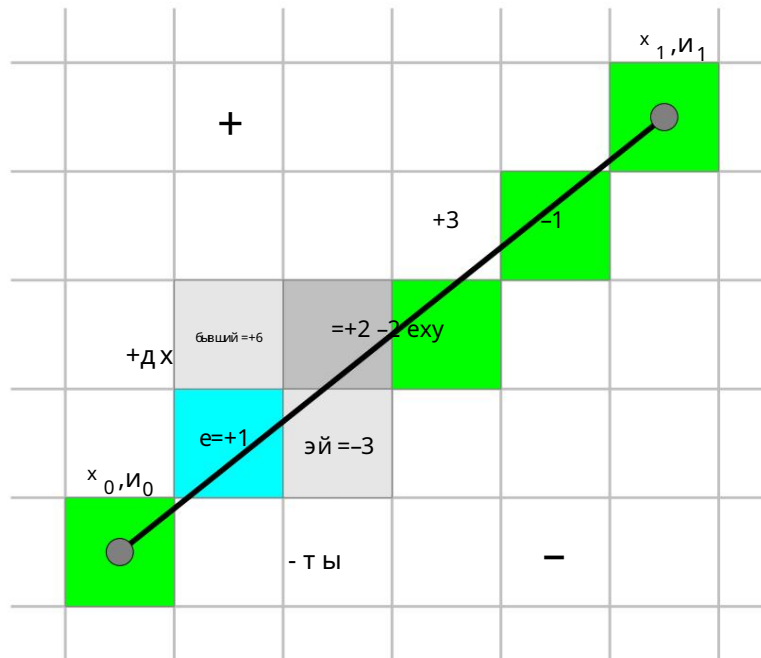


Рисунок 3: строка с значениями ошибок (dx=5, dy=4)

Хотя на рис. 3 кажется, что направления x и y поменялись местами, на самом деле это не так.

Меняется только количество ошибок и для условия тестирования.

1.7 Программа для построения линии

Существуют различные возможности обработки отрицательных градиентов или перевернутых линий. Используемое здесь решение состоит в том, чтобы изменить направление шага.

```

voidplotLine (int x0, int y0, int x1, int y1) {

    int dx = abs(x1-x0), sx = x0<x1? 1:-1; int dy = -abs(y1-y0), sy =
    y0<y1? 1:-1; int err = dx+dy, e2;

    для (;;) {
        { setPixel(x0,y0); e2 =
        2*ошибка; if (e2
        >= dy) { if (x0 == x1)
            сломать; ошибка += dy; x0
            += x;

        } if (e2 <= dx) { if (y0
            == y1) Break; ошибка += dx;
            y0 += sy;
        }
    }
}

```

Листинг 2: Программа для построения линии

Алгоритм не имеет аппроксимации. Таким образом, значение ошибок и последующий пиксель всегда равно нулю. Эта версия оптимизирована для проверки и контроля цикла в том случае, если соответствующее направление увеличивается.

Поскольку этот алгоритм работает в направлениях x и y симметрично, ему требуется дополнительное условие в пиксельном цикле, что на одно больше, чем в традиционном линейном алгоритме Брезенгема. Это можно избежать этого дополнительного условия, если заранее известно, что градиент линии всегда ниже или выше единицы.

Программа так же элегантно иллюстрирует ху-симметрию линейного алгоритма Брезенгема. Также соображения теперь можно применить к кривым более высокой полиномиальной степени.

Благодаря симметрии линии так же можно начинать рисунок с обоих концов линии. Линию от ановить посередине. Этот подход может ускорить рисование, но вносит небольшие нарушения в линии.

1.8 Брезенгем в 3D

Так же возможно распространить алгоритм на трехмерное пространство. Обычный подход различает длину направлений, но симметричное решение более увлекательно.

Поскольку трехмерное пространство имеет три плоскости, алгоритму Брезенгема требуется переменная ошибок для каждого из них. Если две плоскости соглашаются двигаться в одном направлении, эта ось увеличивается вместе с обновлением соответствующих значений ошибок. Таким образом, алгоритм остается симметричным, как и в 2D.

```

void plotLine3D (int x0, int y0, int z0, int x1, int y1, int z1)
{
    int dx = abs(x1-x0), sx = x0<x1? 1:-1; int dy = abs(y1-
5   y0), sy = y0<y1? 1:-1; int dz = abs(z1-z0), sz = z0<z1?
    1:-1; int dm = max(dx,dy,dz), я = dm; /*
    максимальная разница */

    for (x1 = y1 = z1 = i/2; i-- >= 0; ) { /* цикл */
10   setPixel(x0,y0,z0);
        x1 -= dx; если (x1 < 0) { x1 += dm; x0 += x; }
        y1 -= dy; если (y1 < 0) { y1 += dm; y0 += cy; }
        z1 -= dz; если (z1 < 0) { z1 += dm; z0 += cz; }
    }
}

```

Листинг 3: Программа для построения линии в 3D

Этот принцип так же можно распространить на более чем три измерения.

Рисунок 4: 3D-линия $dx=7, dy=8, dz=9$.

2 эллипса

Не проще ли было бы начать с симметричного круга вместо более сложного выражения эллипса?

Было бы не намного. Вычисления для эллипсов не так сложны, поэтому решение можно легко адаптировать для кругов, полагая $a = b = r$, и это не нужно делать снова.

При правильном выборе системы координат эллипс можно описать неявным уравнением (2)

$$x^2/a^2 + y^2/b^2 = 1$$

Таким образом, уравнение для расчета ошибок для пикселя имеет следующий вид: $e = x^2/a^2 + y^2/b^2 - 1$.

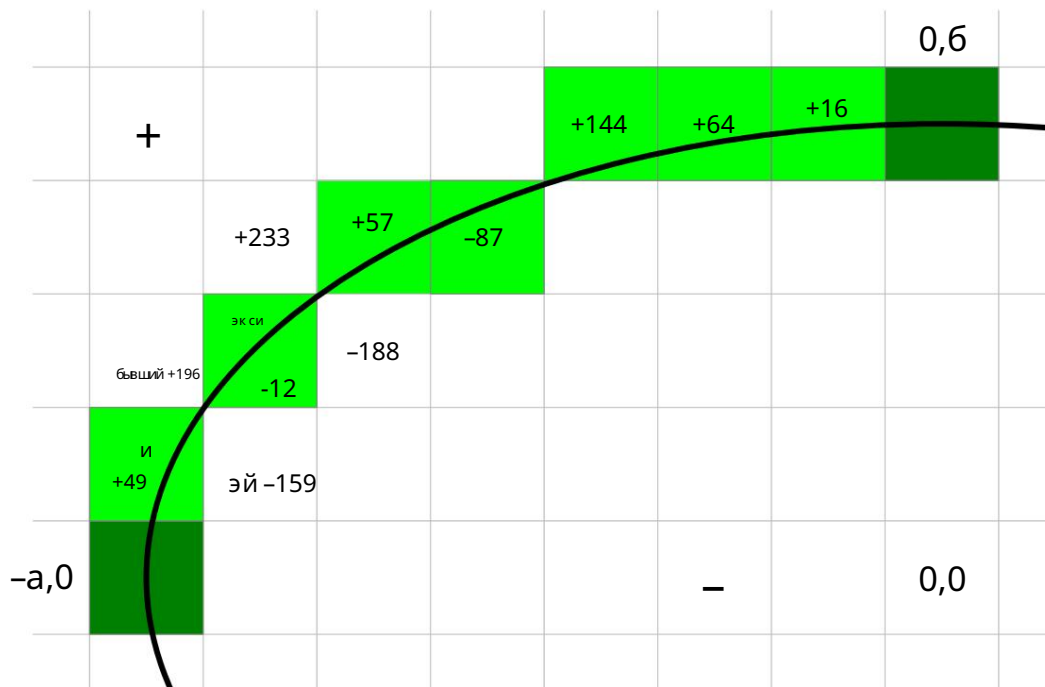


Рисунок 5: четвертый квадрант эллипса со значениями ошибок для $a=7$ и $b=4$.

Ошибка следующего диагонального пикселя $x+1, y+1$ составляет:

$$e_{x+1, y+1} = (x+1)^2/a^2 + (y+1)^2/b^2 - 1 = e + 2(x+1)b^2 + (2y+1)a^2$$

Ошибка следующего пикселя $x+1$ составляет: $e_{x+1} = (x+1)^2/a^2 + y^2/b^2 - 1 = e_{x+1, y+1} - (2y+1)a^2$ и для $y+1$:

$$2e_{x+1} = x^2/a^2 + (y+1)^2/b^2 - 1 = e_{x+1, y+1} - (2x+1)b^2$$

Эллипс разделен на четыре квадранта. В первом квадранте используется из-за положительного градиента a .

Он начинается в пикселе $P(-a, 0)$ и заканчивается в $P(0, b)$.

Следовательно, ошибка первого пикселя равна: $e_1 = (-a+1)^2/a^2 + (0+1)^2/b^2 - 1 = -6^2/(2a-1)$.

Теперь мы можем построить алгоритм.

2.1 Программа для построения эллипса

С помощью этих алгоритмов легко записать алгоритм. Но эллипс нуждается в особом лечении, если оно очень плоское.

```

void plotEllipse (int xm, int ym, int a, int b)
{
    interval x = -a, y = 0; /* II. Квadrant слева направо вверх */
    long e2 = (long)b*b, err = x*(2*e2+x)+e2; /* ошибка 1.шага */

    5
    делать {
        setPixel(xm-x, ym+y); /* I. Квadrant */
        setPixel(xm+x, ym+y); /* II. Квadrant */
        setPixel(xm+x, ym-y); /* III. Квadrant */
        10 setPixel(xm-x, ym-y); e2 =
            2*ошибка; /* IV. Квadrant */
        если (e2 >= (x*2+1)*(long)b*b) /* e_xy+e_x > 0 */
            ошибка += (++x*2+1)*(long)b*b;
        если (e2 <= (y*2+1)*(long)a*a) /* e_xy+e_y < 0 */
            15 ошибка += (++y*2+1)*(long)a*a;
    } Пока (x <= 0);

    while (y++ < b) { setPixel(xm, /* до ранней остановки и плоских эллипсов a=1, */
        ym+y); setPixel(xm, ym-y); /* -> завершит кончик эллипса */
    }
    20
}

```

Листинг 4. Простая программа для построения эллипса

Алгоритм становится слишком рано, когда радиус эллипса становится равным единице. В таких случаях стратегия просмотра вперед терпит неудачу, поскольку она проверяет пиксель соседнего квадранта в точке конца. В нормальных условиях это не имеет значения, поскольку эллипс уже готов. Но для $a = 1$, алгоритм должен завершить вершину эллипса до полного цикла (строки 18-21 в листинг 3).

Алгоритм можно объединить, чтобы нарисовать четвёрте последовательных квадрантов эллипса:

что необходимо для плоттеров. Таким образом так же можно нарисовать только определенную дугу эллипса от угла α до β . Необходимо рассчитать только начальное положение и значения ошибок. иначе.

Ценность ошибок может стать огромной. Его переменные (и сравнение с ними) должны

иметь возможность хранить той же размерности радиусов a, b , чтобы избежать переполнения. (Если a, b имеют 16 бит тогда err должен иметь как минимум 48 бит.)

2.2 Оптимизированная программа для построения эллипса

Алгоритм можно дополнить но оптимизировать по скорости, введя два дополнительных приращения переменных.

```

void plotOptimizedEllipse (int xm, int ym, int a, int b)
{
    длинный x = -a, y = 0; /* II. Квadrant слева направо вверх */
    длинный e2 = b, dx = (1+2*x)*e2*e2; /* приращение ошибки */
    long dy = x*x, err = dx+dy; /* ошибка 1.шага */

    делать {
        setPixel(xm-x, ym+y); /* I. Квadrant */
        setPixel(xm+x, ym+y); /* II. Квadrant */
        setPixel(xm+x, ym-y); /* III. Квadrant */
        setPixel(xm-x, ym-y); /* IV. Квadrant */
        e2 = 2*ошибка;
        если (e2 >= dx) { x++; ошибка += dx += 2*(long)b*b; } if (e2 <= dy) { y+ /* x шаг */
        +; err += dy += 2*(long)a*a; } } Пока a (x <= 0); /* шаг */

    while (y++ < b) /* до ранней остановки для плоских эллипсов с a=1, */
        { setPixel(xm, ym+y); /* -> завершить кончик эллипса */
        setPixel(xm, ym-y);
    }
}

```

Листинг 5: Оптимизированная программа для построения эллипса

Конечно, можно также ввести переменные для констант $2b^2$ и $2a^2$.

Этот алгоритм делает рисование эллипса таким же простым, как рисование линии: только операция сложения и вычитания.

Алгоритм не выполняет никакой аппроксимации. Значение ошибки и последнего пикселя будет всегда быть равно нулю.

2.3 Растеризация кругов

Предыдущий алгоритм можно изменить, чтобы нарисовать круг, установив $a = b = r$.

Расчет значения ошибки можно упростить, разделив его на r

Но не оторвать круги, подберите рисунок, выходящий с дополнением митчками. Что-то не так с алгоритмом?

Когда x равно y , затравивается только четыре пикселя по диагонали 45 градусов.

Более внимательное изучение значений ошибок на рисунке 6 показывает, что рассматриваемые точки имеют более низкое абсолютное значение, чем соседний пиксель.

С точки зрения алгоритма необходимо устанавить четкие подопозитивные пиксели, поскольку они расположены ближе всего к кругу. Проблема возникает, поскольку эта точка, в которой градиент круга меняется с уровня ниже 45 градусов на уровень выше 45 градусов. По этой причине необходимо также установить соседние пиксели, поскольку они имеют более низкое значение ошибки, чем альтернативы. Так что с алгоритмом все в порядке, просто неудачное математическое совпадение.

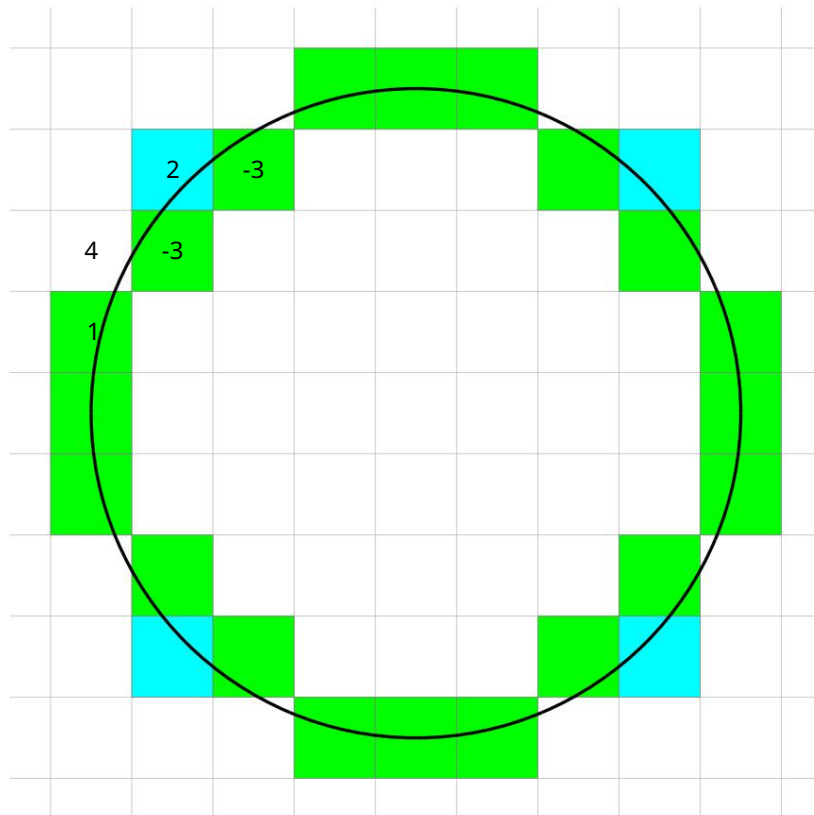


Рисунок 6: Ложный пиксель на круге радиуса 4.

В каких кругах появляются ложные пиксели? Либо по последовательности чисел радиусов: 4, 11, 134, 373, 4552,...

Согласно Интернет-энциклопедии целочисленных последовательностей (<http://oeis.org/A055979>), $3 \cdot 8 \cdot n + 1$

правило для нечетного n составляет: $\frac{3 \cdot 8 \cdot n + 1}{2}$ для

$$\text{даже } n: \frac{3 \cdot 8 \cdot n + 1}{n + 6} \quad (3)$$

Можно ли избежать этих паразитных пикселей, хотя они появляются редко?

Одним из простых способов было бы объявить постерное значение единицы как переменную err при инициализации, сделав все радиусы немного меньше. Но это меняет и некоторые другие круги, особенно маленькие, которые тогда выглядят странно.

В обычных случаях эти дополнительные пиксели вряд ли будут заметны.

Эта проблема возникает и на других кривых.

Одной из возможностей избежать появления нежелательных пикселей является включение дополнительной проверки «ложных пикселей» при увеличении. Эти дополнительные пиксели появляются на шагах y, когда не выполняется очередной шаг y (и шаг x не происходит). Дополнительная проверка ошибок с просмотром на один пиксель вперед позволяет избежать ложного пикселя.

```
void plotCircle (int xm, int ym, int r) {
    int x = -r, y = 0, err = 2-2*r; /* слева направо вверх */ do { setPixel(xm-x, ym+y); setPixel(xm-
    y, ym-
    5     x); setPixel(xm+x, ym-y); /* I. Квadrant +x +y */ /* II.
    setPixel(xm+y, ym+x); /* Квadrant -x +y */ /* III. Квadrant
    -x -y */ /* IV. Квadrant +x -y */

    г = ошибка;
    10     если (r <= y) err += ++y*2+1; если (r > x /* e_xu+e_y < 0 */ /*
    || err > y) err += ++x*2+1; e_xu+e_x > 0 или нет в торого у-шага */ /* -> x-шаг
    сейч ас */

    } Пока (x < 0);
}
```

Листинг 6. Программа Circle, позволяющая избежать ложных пикселей

В отличие от эллипса, алгоритм круга так же избегает двойной уставки и определенных пикселей. В дальнейшем его можно изменить на восемь квадрантов, установив 8 пикселей на цикл и очень похоже на другие алгоритмы круга.

2.4 Квадрат уравнения эллипса

Иногда требуется алгоритм для построения кругов или эллипсов, в которых вместе с центром и радиусом указаны углы охватываемого прямоугольника. Это так же будет включать в себя круги или эллипсы диаметром нечетных пикселей, чего предыдущие алгоритмы не могли сделать.

Алгоритм должен рассчитывать на сетку двойного разрешения, чтобы построить так же эллипсы. На этой сетке алгоритм всегда делает двойные шаги. Если радиус имеет долю $\frac{1}{2}$ то направление начинается со смещения $\frac{1}{2}$, равного единице e ; если это целое число, смещение равно нулю.

Ошибка следующего диагонального пикселя $x+2, y+2$ составляет: $e_{xy} = (x+2)^2 + b^2 + (y+2)^2 - a^2 - b^2$.

Ошибка следующего пикселя $x+2$ составляет: $e_y = (x+2)^2 b^2 + y^2 b^2 - 2^2 a^2 - b^2 = e_{xy} - 4(y+1)a^2$ для $y+2$:
 $2 \text{ экс} = x^2 + (y+2)^2 a^2 - 2^2 a^2 - b^2 = e_{xy} - 4(x+1)b^2$.

Следовательно, ошибка первого пикселя равна: $e_1 = (-a+2)^2 b^2 + (y_b+2)^2 a^2 - 2^2 a^2 - b^2 = (y_b+2)^2 a^2 - 4(a-1)b^2$.

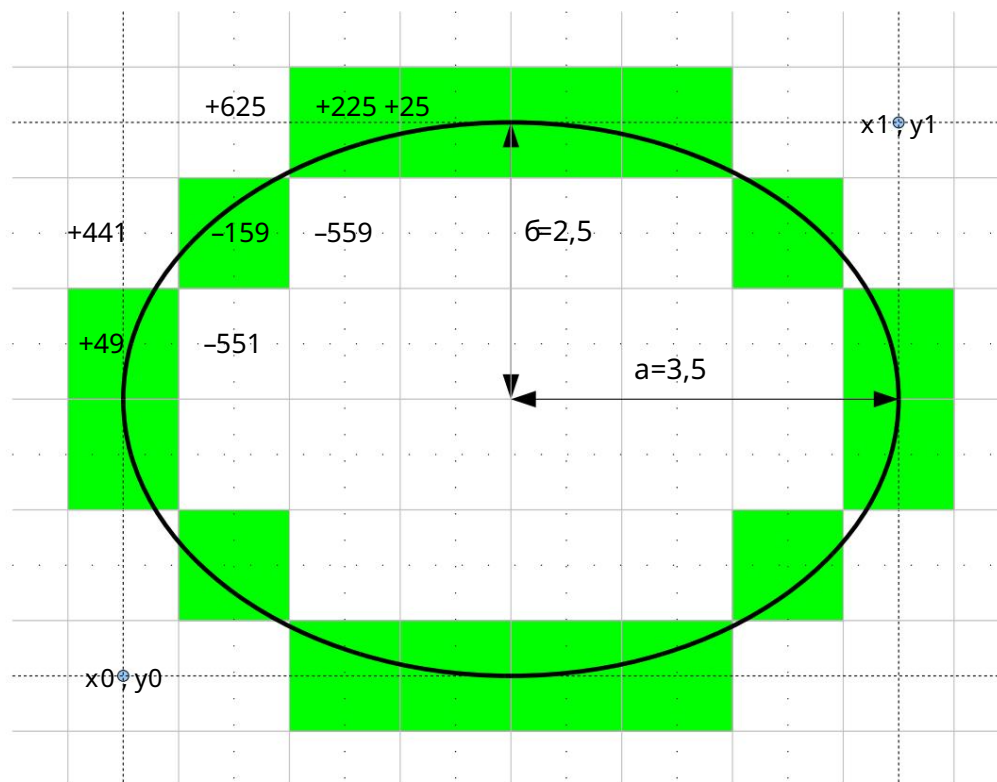


Рисунок 7: эллипс, заключенный в прямоугольнике размером 7x5 пикселей.

2.5 Программа для эллипса внутри прямоугольника

Это оптимизированная версия для построения эллипса внутри указанного прямоугольника. Вместо 64-битного целого числа он использует арифметику с плавающей запятой, чтобы избежать переполнения при вычислении ошибок. Он также использует дополнительную проверку x-шага, чтобы избежать влияния паразитных пикселей.

```

void plotEllipseRect (int x0, int y0, int x1, int y1)
{
    /* Прямоугольный параметр, заключенный в себя эллипс */
    long a = abs(x1-x0), b = abs(y1-y0), b1 = b&1; /* диаметр */
    двойной dx = 4*(1.0-a)*b*b, dy = 4*(b1+1)*a*a; /* приращение ошибок */
    двойная ошибка a = dx+dy+b1*a*a, e2; /* ошибка 1.шага */

    если (x0 > x1) { x0 = x1; x1 += a; } /* если вь вь вь вь с переставленными точками */
    если (y0 > y1) y0 = y1; /* .. обмениваем их */
    y0 += (b+1)/2; y1 = y0-b1; /* начальная точка */
    a = 8*a*a; b1 = 8*b*b;

    делать {
        setPixel(x1, y0); /* I. Квadrant */
        setPixel(x0, y0); /* II. Квadrant */
        setPixel(x0, y1); /* III. Квadrant */
        setPixel(x1, y1); e2 = /* IV. Квadrant */
            2*ошибка;
        если (e2 <= dy) { y0++; y1--; ошибка += dy += a; } /* шаг */
        if (e2 >= dx || 2*err > dy) { x0++; x1--; err += dx += b1; } /* x */
    } Пока (x0 <= x1);

    в то время как (y0-y1 <= b) { /* до ранней остановки и плоских эллипсов a=1 */
        setPixel(x0-1, y0); /* -> завершить кончик эллипса */
        setPixel(x1+1, y0++);
        setPixel(x0-1, y1);
        setPixel(x1+1, y1--);
    }
}

```

Листинг 7. Программа для построения эллипса, заключенного в прямоугольник.

Этот алгоритм работает для всех значений x_0 , y_0 , x_1 и y_1 .

Алгоритм для повернутых эллипсов будет разработан позже, поскольку алгоритм прямого рисования выполняется с проблемами, но может быть реализовано с помощью юрасского Безье.

Зкватратичные кривые Безье

Концепция универсальных кривых была независимо разработана французскими инженерами Пьером Этеном Безье из Renault и Полем де Фаже де Кастельяу из Citroën с появлением в автомобильной промышленности компьютерного производства для проектирования автомобильных кузовов. [Безье, 1986] [Кастельжо, 1963]

Кривые Безье состоят из набора контрольных точек. Количество точек определяет порядок кривой.

Общее уравнение Безье порядка n в параметрической форме с учетом $n+1$ точек P_i определяется как [Marsh, 2005, p. 135]

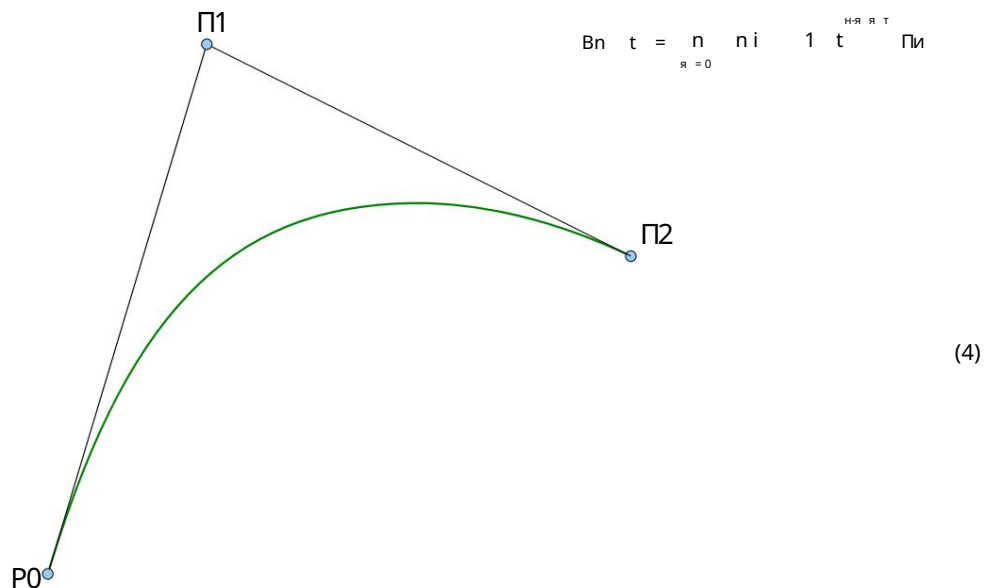


Рисунок 8: Кривая Безье степени 2.

Это прямая для порядка $n=1$. Для порядка $n=2$ это квадратичная кривая Безье

$$B_2(t) = (1-t)^2 P_0 + 2t(1-t) P_1 + t^2 P_2. \quad (5)$$

Для алгоритма необходимо конечное уравнение кривой Безье.

Общее неявное уравнение степени 2 составляется:

$$Ax^2 + 2Bxy + Cy^2 + Dx + Ey + F = 0.$$

Это уравнение имеет шесть неизвестных коэффициентов, поэтому для вывода неизвестных необходимо шесть линейно независимых уравнений. Если F не равно нулю уравнение можно разделить на F : $ax^2 + 2bx + cy^2 + dx + ey - 1 = 0$, оставив пять неизвестных.

Два из них можно получить, установив $x = x_0$ и $y = y_0$ и $x = x_2$ и $y = y_2$

$$ax_0^2 + 2bx_0y_0 + cy_0^2 + dx_0 + ey_0 = 1 \text{ и } ax_2^2 + 2bx_2y_2 + cy_2^2 + dx_2 + ey_2 = 1.$$

Третью можно получить из параметрической формы уравнения $t = \frac{1}{2}$

$$\begin{aligned} B_2 \quad \frac{x_1 - x_0}{2} &= P_0 \quad \frac{y_1 - y_0}{2} \\ a \quad x_0^2 + 2x_1x_2 + x_2^2 + 2bx_0 + 2x_1x_2 + y_0^2 + 2y_1y_2 + c \quad y_0^2 + 2y_1y_2 + y_2^2 + \dots & \quad (6) \\ \dots + 8d \quad x_0^2 + 2x_1x_2 + 8e \quad y_0^2 + 2y_1y_2 + y_2^2 &= 16 \end{aligned}$$

Последние две неизвестные вычисляются с помощью произвольного уравнения:

$$y = 2ax + 2by + 2d \quad x^2 + 2bx + 2cy + 2e$$

По градиентам в двух точках P_0 : $\frac{x_0 - x_1}{y_0 - y_1} = \frac{a x_0 + b y_0 + d}{b x_0 + c y_0 + e}$ и P_2 :

$$\frac{x_2 - x_1}{y_2 - y_1} = \frac{a x_2 + b y_2 + d}{b x_2 + c y_2 + e} \quad \text{можно ввести уравнения для двух последних неизвестных:}$$

$$a x_0 \quad x_2 - x_1 \quad b \quad y_2$$

Вычисления неизвестных теперь становятся немного сложнее. Можно ли их упростить? При замене $P_i = P_i - P_1$ кривая Безье смещается на смещение $-P_1$. Алгоритму не составит труда вернуть его позже. Таким образом, для упрощения этого вычисления предполагается, что точка P_1 находится в начале координат: $x_1 = y_1 = 0$, а значения x_1 и y_1 вычитаются из других точек: $x_i = x_i - x_1$. Систему пяти линейных уравнений теперь можно было записать в виде матричного уравнения

$$\begin{bmatrix} x_0^2 & 2x_0y_0 & y_0^2 & 2x_0x_2 & 2y_0y_2 & x_2^2 & y_2^2 \\ x_2^2 & 2x_2y_2 & y_2^2 & 8x_0x_2 & 8y_0y_2 & 8x_2^2 & 8y_2^2 \\ x_0x_2^2 & 2x_0x_2y_2 & y_0y_2^2 & 0 & y_2^2 & x_0y_0x_2 & y_0x_2y_2 \end{bmatrix} \begin{bmatrix} a \\ b \\ c \\ d \\ e \end{bmatrix} = \begin{bmatrix} 0 \\ 0 \\ 0 \\ 0 \\ 0 \end{bmatrix} \quad (7)$$

Это матричное уравнение можно решить, как показано ниже:

$$\begin{aligned} A &= y_0^2 + y_2^2, B = x_0^2 + x_2^2 + y_0^2 + y_2^2, C = x_0^2 + x_2^2, \\ D &= y_0^2 + y_2^2 + x_0^2 + x_2^2 + y_0^2 + y_2^2, E = x_0^2 + x_2^2 + x_0^2 + y_2^2 + x_2^2 + y_0^2, F = x_0^2 + y_2^2 + x_2^2 + y_0^2. \end{aligned}$$

Неявное уравнение квадратичной кривой Безье для $x_1 = y_1 = 0$ составляет:

$$\begin{aligned} 2x \quad y_0^2 + 2xy \quad x_0^2 + y_0^2 + y^2 \quad y_0^2 + y_2^2 \\ 2x \quad y_0^2 + y^2 + y_0^2 + x^2 \quad x_0^2 + y_2^2 + y_0^2 + x_2^2 + y_0^2 + x_2^2 + y_0^2 = 0. \end{aligned}$$

Общая кривизна кривой Безье определяется выражением

$$\text{добавить } x_0^2 + y_2^2 + x_2^2 + y_0^2 = x_0^2 + x_1^2 + y_2^2 + y_1^2 + x_2^2 + x_1^2 + y_0^2 + y_1^2. \quad (8)$$

Предшествующие замены могут быть добавлены снова. В результате некорректируемые вычисления неявного уравнения квадратичной кривой Безье упрощаются до:

$$(x_0 - 2y_1 + y_2) - y_0(x_0 - 2x_1 + x_2) + 2(x_0 - y_2) - y_0(x_0 - x_2) = 0 \quad (9)$$

Квадратичная кривая Безье является частью параболы

3.1 Расчет погрешности

Алгоритм построения основан на поэтапном положении (или отрицательном) градиенте кривой (наклон либо увеличивается, либо падает). Поскольку точка P является точкой начала координат P_0 должна находиться в третьем квадранте e_2 в первом квадранте для положительного градиента. Следующие условия P всегда истинны тогда: $x_1 = y_1 = 0$, $x_0 < 0$, $x_2 > 0$ и $y_0 < 0$, $y_2 > 0$.

Выполнить это требование не составляет труда, поскольку кривую Безье можно разбить в точках смены знака градиента, рисуя две кривые одну за другой.

Уравнение для расчета ошибок кривой Безье имеет следующий вид:

$$x^2 - x_0 y^2 - x^2 \text{ вид: } y - x_0 - x^2$$

что эквивалентно

$$e = x, y = x - y_0 - y^2 - y - x_0 - 80 y^2 - x^2 - y_0 - 24 x - y_0 - y$$

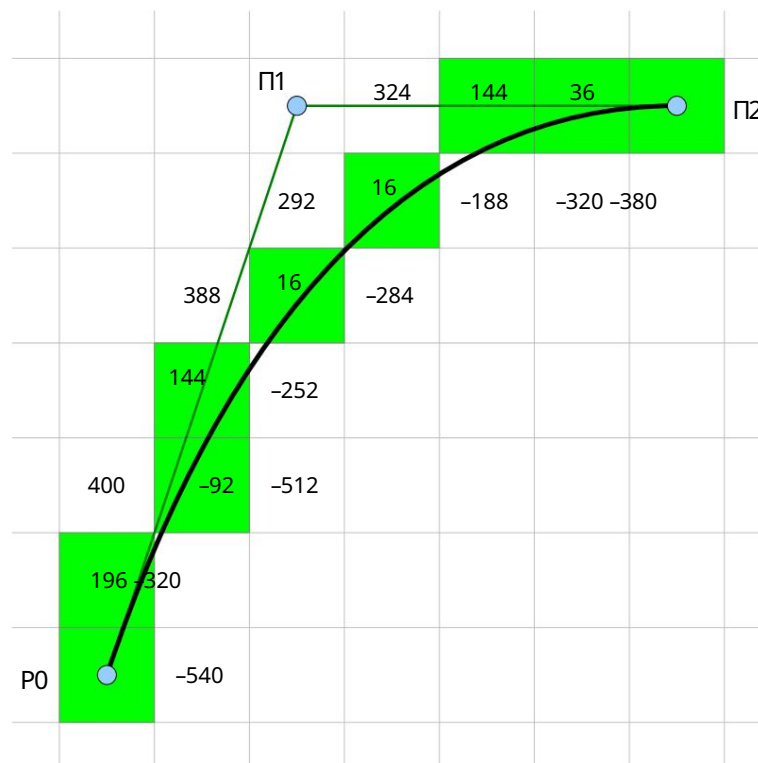


Рисунок 9: Значения ошибок квадратичной кривой Безье

Для алгоритма итерес представляет только изменяющиеся члены приращении шага, поскольку остальные члены остаются постоянными во время цикла.

Начальные значения этих изменяющихся членов представляют собой разности в уравнении и вычисляются следующим образом:

$$dx = e^{-x} \pm 1, y = e^{-x}, y = 1 \pm 2x \quad y_0 \quad y_2 \quad 2 \quad 2 \quad y \quad x \quad 0 \quad x \quad 2 \quad y_0 \quad y_2 \quad \pm 2 \quad cur \quad y_0 \quad y_2$$

$$2 \cdot dy = e^{-x}, y \pm 1 \quad e^{-x}, y = 1 \pm 2 \quad y \quad x_0 \quad x \quad 2 \quad 2 \quad 2 \quad x \quad x_0 \quad x_2 \quad y_0 \quad y \quad 2 \quad 2 \quad cur \quad x_0 \quad x$$

Поскольку эта кривая Безье имеет вт ороустепенность, ошибка приращения также меняется на каждом шаге. Несмотря на ошибку расчета должна увеличиваться в соответствии с шагами, но и само приращение dx и dy меняется на каждом шаге. В случае квадратичного полинома это также можно вычислить по второй производной.

Для шага по оси x приращение dx увеличивается примерно

$$d^2x = e^{-x} \cdot 2, y = 2e^{-x}, y = \frac{2 \cdot 2}{x} = 2 \quad y_0 \quad y_2 \quad 2 = 2 \quad y_0 \quad 2 \quad y_1 \quad y_2^2 \quad \text{и } dy \text{ увеличивается}$$

$$d^2xy = e^{-x} \cdot 1, y = 1 \quad e^{-x} \cdot 1, y = 1 \quad e^{-x}, y = 1 = \frac{2 \cdot 2}{x \cdot y} = \frac{2 \cdot 2}{x \cdot y} \quad x_2 \quad y_0 \quad y_2 =$$

$$= 2 \quad x_0 \quad 2 \quad x_1 \quad x_2 \quad y_0 \quad 2 \quad y_1 \quad y_2 \quad .$$

Для шага в направлении y приращение dy увеличивается примерно

$$d^2y = e^{-x}, y = 2 \quad e^{-x}, y = 1 = y \quad \frac{2 \cdot 2}{x} = 2 \quad x \quad 0 \quad x_2 \quad 2 = 2 \quad x_0 \quad 2 \quad x_1 \quad x_2 \quad d^2$$

$$\text{и } dx \text{ увеличивается примерно } \frac{2}{x \cdot y}.$$

Эти приращения не зависят от x и y .

3.2 Проблема с легкая изогнутыми линиями

Пока алгоритм работает хорошо. Но это терпит неудачу, когда кривая Безье становится почти прямой. Что произойдет, станется, если проанализировать всю кривую, а не только ее короткую часть, которую алгоритм хочет построить. Кривая представляет собой симметричную параболу. У него есть вт орая часть. Для кривых с большой кривизной вт орая половина находится далеко, оставшаяся часть пути, поэтому может следовать алгоритму. Но на почти прямой линии эта вт орая половина может попасть в пределы еще возможного пикселя! Тогда алгоритм запутывается, поскольку он опирается на четкий градиент значения ошибок.

Эта проблема возникла раньше. На плоских эллипсах с $a = 1$ алгоритм останавливался слишком рано. Но ситуация сложилась удачно. Эллипсы всегда располагались в симметричной ортогональной ориентации. Алгоритм дал сбой только в одном случае, который можно было исправить дополнительным циклом.

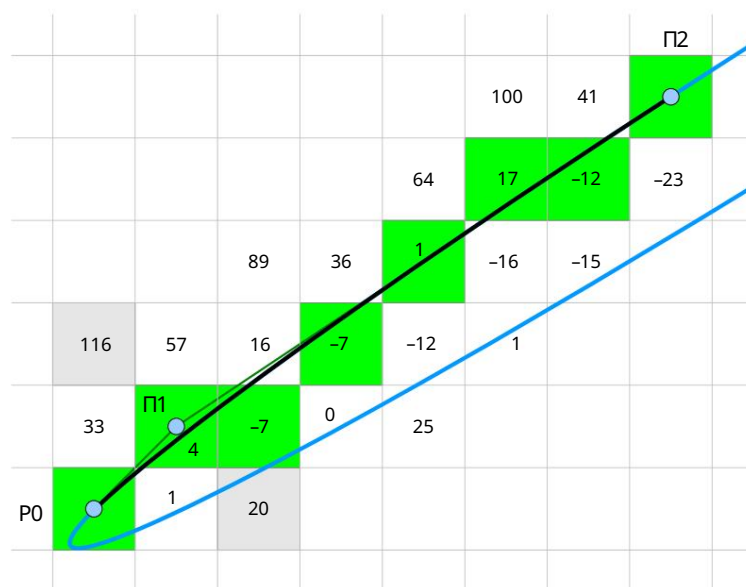


Рисунок 10. Алгоритм в бед е: нет пут и, по к от орому нужно идт и

На рисунке 10 показана неоднозначная ситуация. Никакого положительного/отрицательного градиента не видно из точки P0. Даже если бы алгоритм мог каким-то образом обнаружить способ снижения значения функции, зеленый пиксель рядом с P1 со значением -7 будет выбран неправильно, поскольку у него низкий абсолютный показатель значения из неправильной синей половины ривой, а не из желаемой черной.

Алгоритм дает сбой, если другая часть (невидимой) функции приближается к окрестности

установить пиксель.

Что делать? Проблема возникает только на почти прямой линии. Точки без этакже очень асимметричны. Есть несколько возможностей. Одним из решений является проверка, является ли значение ошибки несколько пикселей от начальной точки и все еще находится ниже (направление x) или выше (направление y) нуля.

Когда алгоритм смотрит на пиксели вперед по направлению или от P0, он должен проверить $\frac{dx}{dy} \approx \frac{dy}{dx}$ $\frac{dx}{dy} \approx \frac{dy}{dx}$ также должно быть сделано $\frac{dx}{dy} \approx \frac{dy}{dx}$. Но эта проверка для P2, поскольку ситуация может быть обратной и конечная точка P2 в ответ путаница. Другой возможностью было бы просто увеличить разрешение пикселей по растра.

что бынайти и правильный путь пикселя к ривой и установить ближайший к нему соответствующий пиксель.

Это решение вообще не удовлетворяет. Несколько почти диагональных прямых линий все еще получают.

дополнительные пиксели, хотя алгоритм работает. А также остается вопрос, что делать, если этот алгоритм терпит неудачу из-за этого теоретического недостатка? Самое простое решение — перейти к ривувам вместе с этим двумя или более прямыми линиями.

3.3 Программа для построения простых кривых Безье

Программа в листинге 8 принимает только базовые кривые Безье без смен знака.

градиент (без горизонтальных и вертикальных поворотов). Смена знака потребует дополнительных исследований в пиксельном центре. Эта проблема решается позже путем подразделения.

```

void plotBasicQuadBezier (int x0, int y0, int x1, int y1, int x2, int y2)
{
    int sx = x0 < x2 ? 1 : -1, sy = y0 < y2 ? 1 : -1; /* направление шага */
    двойной x = x0 - 2 * x1 + x2, y = y0 - 2 * y1 + y2, xy = 2 * x * y * sx * sy;
5    double cur = sx * sy * (x * (y2 - y0) - y * (x2 - x0)) / 2; /* кривизна */
        /* вычисляем приращение ошибок и P0 */
    двойной dx = (1 - 2 * abs(x0 - x1)) * y * y + abs(y0 - y1) * xy - 2 * cur * abs(y0 - y2);
    двойной dy = (1 - 2 * abs(y0 - y1)) * x * x + abs(x0 - x1) * xy + 2 * cur * abs(x0 - x2);
        /* вычисляем приращение ошибок и P2 */
10    двойной ex = (1 - 2 * abs(x2 - x1)) * y * y + abs(y2 - y1) * xy + 2 * cur * abs(y0 - y2);
    двойной ey = (1 - 2 * abs(y2 - y1)) * x * x + abs(x2 - x1) * xy - 2 * cur * abs(x0 - x2);
        /* знак градиента не должен меняться */
    Assert((x0 - x1) * (x2 - x1) <= 0 && (y0 - y1) * (y2 - y1) <= 0);
15    если (cur == 0) { plotLine(x0, y0, x2, y2); возвращает ; } /* прямая линия */
    x *= 2 * x; y *= 2 * y;
    если (cur < 0) { /* отрицательная кривизна */
20        x = -x; dx = -dx; бывший = -ex; xy = -xy;
        y = -y; dom = -dom; эй = -эй;
    }
    /* алгоритм не работает почти по прямой, проверьте значения ошибок */
    if (dx >= -y || dy <= -x || ex <= -y || ey >= -x) { x1 = (x0 + 4 * x1 + x2) / 6; y1 =
25        (y0 + 4 * y1 + y2) / 6; /* аппроксимация */
        plotLine(x0, y0, x1, y1);
        plotLine(x1, y1, x2, y2);
        возвращает ;
    }
30    dx -= xy; ex = dx + dy; dy -= xy; /* ошибка 1. шага */
    for(;;) /* построение кривой */
    { setPixel(x0, y0);
      ey = 2 * ex - dy; if /* сохраняем значение для проверки шага y */
35      (2 * ex >= dx) { if (x0 ==
        /* x шаг */
        x2) сломать ;
        x0 += x; dy -= xy; ex += dx + y;
      }
      if (ey <= 0) { if (y0 == /* шаг */
40        y2) сломать ;
        y0 += y; dx -= xy; ex += dy + x;
      }
    }
}

```

Листинг 8: Программа для построения базисной кривой Безье

Другая альтернатива — использовать более тонкий радиус субпикселей и усреднить пиксель, ближайший к этой пиксельной кривой. Это требование разрешения должно быть достигнуто не мелким, чтобы избежать конфликта двух кривых на одном пикселе или очень близко к пикселу.

На рисунке 11 показана кривая Безье с субпиксельным радиусом двойной точности. Каждый пиксель (светло-зеленый) разделен на субпиксели (зеленый).

Сам алгоритм работает с более мелким пиксельным радиусом и поэтому без проблем находит путь с подходящими значениями ошибок. Каждый раз, когда субпиксель завершается, усредняется сам пиксель.

Концепция субпикселизации также используется в алгоритме [Емельяненко, 2007] для точного рисования невидимых кривых. Эта концепция предлагает решение, если алгоритм этого документа дает сбои или становится слишком сложным для реализации.

Версия в листинге 9 требует больше операций вычисления в пиксельном цикле, чем базовый алгоритм, и поэтому немного медленнее, но никогда не приближается к квадратичной кривой Безье.

Расчет коэффициента разрешения гарантирует, что знак значения ошибки не изменится из-за замыкания кривой на три субпикселя от P0 или P2 в направлении или у. Но это решение заканчивается делением на ноль в случае максимума, к которому нужно уделять особое внимание.

Поскольку вычисление ошибок происходит на один пиксель вперед, вычисление последнего шага выходит за пределы конечного пикселя. В этом случае базовый алгоритм без проблем усредняется, хотя значения приращения уже могут быть недействительными, поскольку кривая может сделать резкий поворот. Но тонкий алгоритм обрабатывает все субпиксели пикселя. Но в случае поворота субпиксели не могут быть завершены так как значения приращения уже изменили знак. В этом случае во внутреннем цикле необходимо ввести дополнительное условие прерывания, чтобы избежать бесконечного цикла.

В некоторых случаях Безье от коэффициента разрешения может стать довольно большим. Но лишь несколько экстремальных кривых замедляют работу алгоритма.

Преимущество этого алгоритма в том, что построенная кривая не имеет ошибок аппроксимации. Все заданные пиксели максимально приближены аналоговой кривой Безье.

Альтернативой является использование тонкого алгоритма только в случае сбоя базовой версии ($f > 1$). Длинную кривую также можно разделить на длинную часть и прямую часть, попросить помощи у более быстрой базовой версии, и более короткую изогнутую часть с помощью точного алгоритма.

```

void plotFineQuadBezier (int x0, int y0, int x1, int y1, int x2, int y2)
{
    int sx = x0 < x1 ? 1 : -1, sy = y0 < y1 ? 1 : -1; длина шага f = 1, fx = x0 - 2 * x1 + x2,      /* направление шага */
    fy = y0 - 2 * y1 + y2;
5    длина шага x = 2 * fx * fx, y = 2 * fy * fy, xy = 2 * fx * fy * sx * sy;
    long long cur = sx * sy * (fx * (y2 - y0) - fy * (x2 - x0)); /* кривизна */
                                /* вычисляем приращение ошибок и P0 */
    long long dx = abs(y0 - y1) * xy - abs(x0 - x1) * y - cur * abs(y0 - y2);
    long long dy = abs(x0 - x1) * xy - abs(y0 - y1) * x + cur * abs(x0 - x2);
10                                /* вычисляем приращение ошибок и P2 */
    long long ex = abs(y2 - y1) * xy - abs(x2 - x1) * y + cur * abs(y0 - y2);
    long long ey = abs(x2 - x1) * xy - abs(y2 - y1) * x - cur * abs(x0 - x2);

                                /* знак градиента не должен меняться */
15    Assert((x0 - x1) * (x2 - x1) <= 0 && (y0 - y1) * (y2 - y1) <= 0);

    если (cur == 0) { plotLine(x0, y0, x2, y2); возвращаться ; } /* прямая линия */

                                /* вычисляем минимальное значение коэффициента решения */
20    если (dx == 0 || dy == 0 || ex == 0 || ey == 0)
        e = abs(xy / cur) / 2 + 1; /* деление на ноль : использовать кривизну */
    еще {
        x = 2 * y / dx; если (fx > f) f = fx; x = 2 * x / dx; если /* увеличиваем решение */
        (fx > f) f = fx; x = 2 * y / ex; если (fx > f) f = fx; fx =
25        2 * x / ey; если (fx > f) f = fx;

    /* отрезать кривизну? */
    если (cur < 0) { x = -x; y = -y; dx = -dx; dy = -dy; xy = -xy; }
    dx = f * dx + y / 2 - xy; dy = f * dy + x / 2 - xy; ex = dx + dy + xy; /* ошибка 1-го шага */
30

    for (fx = fy = f; ; ) { setPixel(x0, y0); /* построить кривую */

        if (x0 == x2 && y0 == y2) сломать ;
        do { /* переместить пиксель */
35            ey = 2 * ex - dy; /* сохранять значение для проверки шага y */
            если (2 * ex >= dx) { fx--; dy -= xy; ex += dx + y; } /* шаг */
            если (ey <= 0) { fy--; dx -= xy; ex += dy + x; } /* шаг */
        } while (fx > 0 && fy > 0); /* пиксель завершен? */
        если (2 * fx <= f) { x0 += sx; x += e; } /* достать новые подэпы. */
40        если (2 * fy <= f) { y0 += sy; y += e; } /* .. для пикселя? */
    }
}

```

Листинг 9. Построение кривой Безье на мелкой сетке

3.5 Построение умной кривой

Когда базовый алгоритм дает сбои и требует особого внимания? Учитывая всю кривую Безье, она является параболой. Алгоритм дает сбои, когда две симметричные части кривые сближаются внутри одного пикселя. Но от этой точки до вершины кривая Безье становится прямой, поскольку другая часть начинается с того же пикселя. Проблема аналогична алгоритму эллипса. В случае неудач для построения остается только линия. Алгоритм можно упростить при двух условиях: рисование начинается с более длинной частью кривой, где они все еще четко разделены, а во втором случае, оставшаяся часть представляет собой простую строку, когда алгоритм дает сбои. Проблема не возникает, когда вершина рисуется параболой, поскольку в этом случае кривую необходимо разделить.

```

void plotQuadBezierSeg (int x0, int y0, int x1, int y1, int x2, int y2)
{ /* построить ограниченный квадратичный сегмент Безье */
    int sx = x2-x1, sy = y2-y1;
    // длинный xx = x0-x1, yy = y0-y1, xy; двойной          /* от носительные значения для проверок */
    dx, dy, err, cur = xx*sy-yy*sx;                          /* кривизна */

    Assert(xx*sx <= 0 && yy*sy <= 0); /* знак градиента не должен меняться */

    if (sx*(long)sx+sy*(long)sy > xx*xx+yy*yy) { /* начинаем с более длинной части */
        x2 = x0; x0 = x+x1; y2 = y0; y0 = y+y1; k ур = -cur; /* поменять местами P0 P2 */

        if (cur != 0) { xx +=                                /* нет прямой линии */
            sx; xx *= sx < x0 < x2 ? 1:-1; yy += sy yy *= sy < y0 < y2 ?          /* направление шага x */
            1:-1; xy = 2*xx*yy; xx *= xx; yy *= yy; если (cur*sx*sy <          /* направление шага по оси */
            0) {                                             /* различия 2-й степени */
                                                         /* отрицательная кривизна? */
                xx = -xx; yy = -yy; xy = -xy; k ур = -cur;
            }
            dx = 4,0*sy*cur*(x1-x0)+xx-xy; dy =              /* различия 1-й степени */
            4,0*sx*cur*(y0-y1)+yy-xy;
            xx += xx; yy += yy; ошибка = dx+dy+xy;          /* ошибка 1-го шага */

            { setPixel(x0,y0); /* построить кривую */
                if (x0 == x2 && y0 == y2) return; /* последний пиксель -> кривая закончена */
                y1 = 2*ошибка < dx; /* сохраняем значение для проверки шага y */
                если (2*err > dy) { x0 += sx; dx -= xy; ошибка += dy += yy; } /* шаг x */
                если ( ) { y0 += sy; dy -= xy; ошибка += dx += xx; } /* шаг y */
            } while (dy < 0 && dx > 0);                       /* градиент отрицателен -> алгоритм не работает */
        }
        plotLine(x0,y0, x2,y2);                               /* отобразим оставшуюся часть до конца */
    }
}

```

Листинг 10. Алгоритм быстрого рисования кривой Безье

Алгоритм иначе называется с концом, который находится дальше от вершины по сравнению с другой частью кривой, вероятно, находится достаточно далеко. Алгоритм останавливается, если две симметричные части параболы подходят слишком близко друг к другу и алгоритм терпит неудачу. Это можно проверить, если производная градиента значения ошибки меняет свой знак. Затем кривая завершается проведением прямой линии до конца кривой.

Проблема не возникает, когда кривая Безье состоит из обеих частей параболы

Если кривая на вершине сжимается до одной точки, то кривую необходимо предварительно разделить, поскольку градиент там также меняет направление. Если это не одна точка, то две вершины находятся достаточно далеко друг от друга и алгоритм не дает сбой.

Это решение очень эффективно для построения квадратичной кривой Безье. Преимущество алгоритма состоит в том, что если кривая подходит слишком близко друг к другу, чтобы обработать, она становится прямой, что обычно можно было завершить линией, поэтому он никогда не дает сбой.

Поскольку значения ошибок могут быть довольно большими (вплоть до четвертой степени), вместо длинного целого числа используется тип `double`. Если доступен 64-битный целочисленный тип, можно использовать этот тип вместо.

3.6 Общие кривые Безье

Предшествующие алгоритмы Безье для простоты предполагались непрерывными положительными или отрицательными градиентами. Смена знака будет означать изменение направления заданного пикселя внутри цикла. Расчет ошибок опережает на один пиксель и может вызвать изменения. Безье кривая разделена на горизонтальные и вертикальные повороты, чтобы избежать этих проблем.

Разделение кривой Безье так же дает дополнительное преимущество, позволяющее избежать неблагоприятных поворотов.

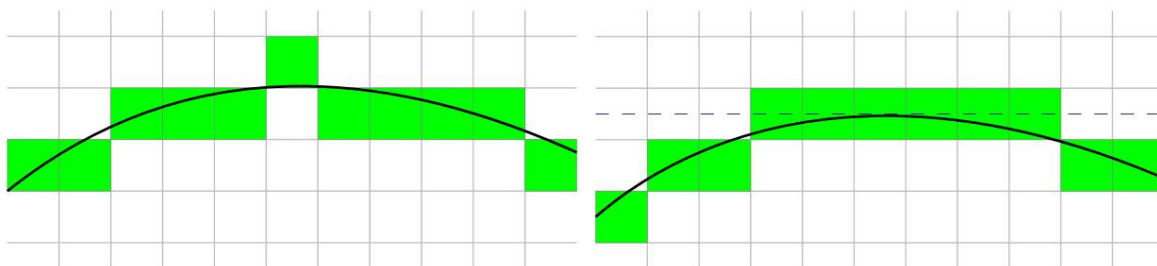


Рисунок 12: Неблагоприятный поворот кривой

Слева на рисунке 12 показан поворот кривой с изолированным пикселем, который может возникнуть в этом месте. С точки зрения алгоритма это правильно, поскольку оно ближе всего к кривой. Чтобы избежать неблагоприятной ситуации, поворот кривой привязывается к центру пикселя показанному справа на рисунке 12 пунктирной линией. Конечно, это немного меняет всю кривую, но выглядит намного лучше.

Алгоритм должен разделить кривую Безье в точках, в которых градиент меняет свой знак. Это вертикальные и горизонтальные точки поворота кривой.

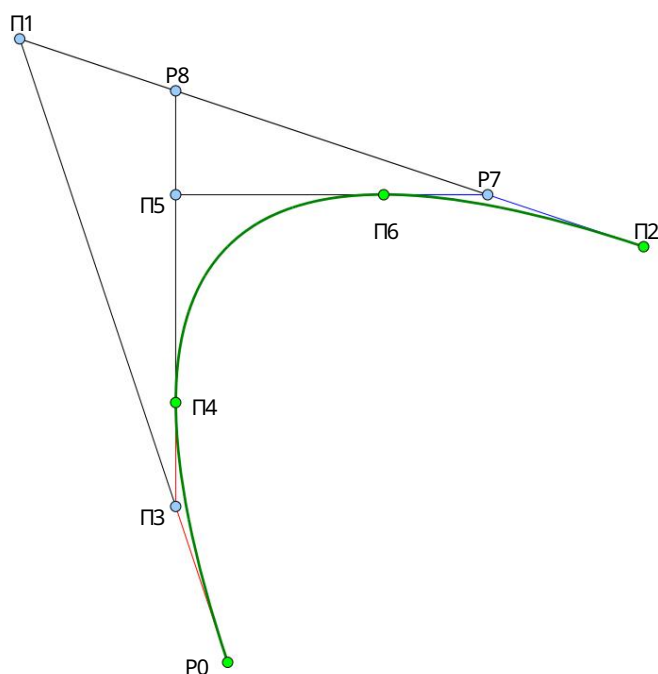


Рисунок 13. Деление кривой Безье.

Даже если в это трудно поверить, одна квадратичная кривая Безье может иметь два изменения градиента и должна быть разделена на три части, что было бы проще построить с помощью предельной программы. Такая более сложная кривая видна на рисунке 13. Данные точки P_0 , P_1 и P_2 кривой пришлось разделить в вертикальной точке P_4 и в горизонтальной точке P_6 на более короткую кривую Безье $P_0/P_3/P_4$, кривую $P_4/P_5/P_6$ и кривую $P_6/P_7/P_2$.

Установка уравнения градиента на ноль дает точку изменения градиента: $t(P_0 - 2P_1 + P_2) - P_0 + P_1 = 0$. Только значения $0 < t < 1$ указывают на изменение

знака градиента. Точка P_5 вычисляется по формуле $t = \frac{x_0 - x_1}{x_0 - 2x_1 + x_2}$, $t = \frac{y_0 - y_1}{y_0 - 2y_1 + y_2}$ и

$$x_5 = \frac{2x_0x_2 - x_1^2}{y_1 - y_0} \frac{y_0y_2 - y_1^2}{y_1 - y_0} \text{ и } P_4 \text{ и } P_6 \text{ рассчитываются одинаково:}$$

$$x_6 = (1-t)^2 x_0 + 2t(1-t)x_1 + t^2 x_2, y_4 = (1-t)^2 y_0 + 2t(1-t)y_1 + t^2 y_2.$$

P_3 и P_7 можно вычислить путем пересечения линий: $y_3 = y_0 \frac{x_0 - x_5}{x_0 - x_1} y_0 - y_1$,

$$x_7 = x_2 \frac{y_2 - y_5}{y_2 - y_1} x_2 - x_1.$$

3.7 Программа для построения любой кривой Безье

Программа подразделяет кривую при изменении горизонтального и вертикального градиента и передает построение графика под процедуру.

Сначала он проверяет, необходим ли горизонтальный разрез ($dx = 0$) в точке P4 и нужен ли вертикальный разрез ($dy = 0$).
 То же происходит. Если происходит оба разреза, он гарантирует, что горизонтальное разделение произойдет первым с помощью условного
 обмена точками. Затем он чертит дуги и отрезает ее. То же самое делается и по вертикали.

результ.

Интересно отметить, что целочисленное деление отрицательных чисел (и напоминаний)

зависит от приложения, платформу языка программирования. Математическое определение

(в Ruby или Python) округляется в сторону меньшего целого значения (при этом остаток всегда

остается положительным): $(-5)/3 = -2$, тогда как техническое определение (в C/C++ или Java) округляет

к нулю $(-5)/3 = -1$. Имейте в виду, что ваша целевая система может обрабатывать это иначе, чем программа-пример.

```

void plotQuadBezier (int x0, int y0, int x1, int y1, int x2, int y2)
{
    /* построит левую квадратичную кривую Безье */
    int x = x0-x1, y = y0-y1;
    двойной t = x0-2*x1+x2, g;

    if ((long)x*(x2-x1) > 0) { if ((long)y*(y2-
        y1) > 0) if (fabs((y0-2*y1+y2)/t*x) >
            fabs(y)) {
                x0 = x2; x2 = x+x1; y0 = y2; y2 = y+y1; /* теперь
                /* что сначала? */
                /* точкой обмена */
                горизонтальный разрез на P4 идет первым */
            }
            t = (x0-x1)/t;
            r = (1-t)*((1-t)*y0+2,0*t*y1)+t*t*y2; r = (x0*x2-x1*x1)*t /
            (x0-x1); x = пол(t+0,5); y = пол(r+0,5);
            /* Вы(t=P4) */
            /* градиент dP4/dx=0 */

            g = (y1-y0)*(t-x0)/(x1-x0)+y0; /* пересек аем P3 | P0 P1 */
            plotQuadBezierSeg(x0,y0, x,floor(r+0.5),x,y);
            g = (y1-y2)*(t-x2)/(x1-x2)+y2; /* пересек аем P4 | P1 P2 */
            x0 = x1 = x; y0 = y; y1 = пол(r+0,5); /* P0 = P4, P1 = P8 */

        } if ((long)(y0-y1)*(y2-y1) > 0) {
            /* вертикальный разрез на P6? */
            t = y0-2*y1+y2; t = (y0-y1)/t; r = (1-t)*((1-
            t)*x0+2,0*t*x1)+t*t*x2; t = (y0*y2-y1*y1)*t/(y0-y1); x =
            пол(r+0,5); y = пол(t+0,5);
            /* Vx(t=P6) */
            /* градиент dP6/dy=0 */

            g = (x1-x0)*(t-y0)/(y1-y0)+x0; /* пересек аем P6 | P0 P1 */
            plotQuadBezierSeg(x0,y0, floor(r+0.5),y,x,y);
            g = (x1-x2)*(t-y2)/(y1-y2)+x2; /* пересек аем P7 | P1 P2 */
            x0 = x; x1 = пол(r+0,5); y0 = y1 = y; /* P0 = P6, P1 = P7 */

        } plotQuadBezierSeg(x0,y0, x1,y1,x2,y2);
    }
}
  
```

Листинг 11. Деление комплексной квадратичной кривой Безье

Округление в C немного сложнее, особенно если оно должно работать и для отрицательных чисел. Поэтом у арифметика с плавающей запятой используется только для правильного округления делений. Это так же возможно сделать только в целых числах, но это сложнее: $\text{round}(a/b) = (a + \text{sign}(a) * \text{abs}(b)/2)/b$.

Разделение кривой Безье на части всегда приводит к определенным числовым ошибкам округления точек Безье. Это становится особенно заметно, если две точки Безье сближаются (окло < 10 пикселей). Иногда одна из кривых даже становится прямой и как бы не стыкуется с остальными. С другой стороны это так же имеет то преимущество, что горизонтальное и/или вертикальные интервалы кривой всегда растут на полный пиксель. Изогнутые переходы выглядят намного лучше.

Среднюю роль играют очку P_1 можно заменить на проходящую очку P^0 на $P_1 = 2P^0 - P_1$. $\frac{P_0 - P_2}{(T_0)Z}$

При $w=1$ кривая представляет собой параболу, при $w < 1$ кривая представляет собой эллипс, при $w=0$ кривая представляет собой прямую линию, а при $w > 1$ кривая представляет собой гиперболу. Обычно предполагается, что все веса положительны.

Квадратичная кривая Безье снова должна быть разделена на горизонтальные и вертикальные отрезки и повороты.

Эти отрезки рассчитываются путем усечения и первой производной уравнения параметра (12) на ноль:

$$t = \frac{2w(P_0 - P_1) + P_0 + P_2 \pm \sqrt{4w^2(P_0 - P_1)(P_2 - P_1) + (P_0 - P_2)^2}}{2(w-1)(P_0 - P_2)}. \quad (14)$$

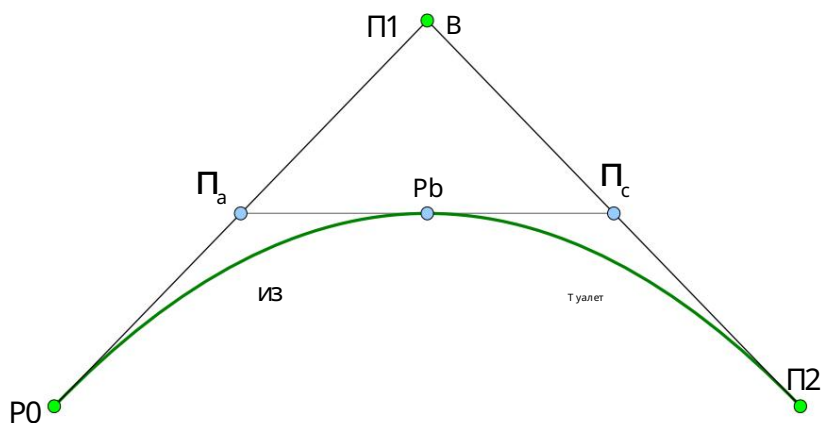


Рисунок 14: Подразделение квадратичной рациональной кривой Безье

Алгоритм деКастельжо можно расширить для рациональной кривой Безье путем преобразования двумерного вектора $[x_i, y_i]$ с весом w_i рациональной кривой в трехмерный вектор нерациональной кривой $[w_i x_i, w_i y_i, w_i]$. После подразделения трехмерный вектор $[x_i, y_i, w_i]$ отображается обратно в 2D $[x_i/w_i, y_i/w_i]$ с весом w_i . Когда кривая на рисунке 14 подразделяется в положении

$$\begin{aligned} \text{параметр } t, \text{ дополнителные точки} \\ \text{становятся: } t(w P_1 - P_0) + P_0 \text{ и } t(w-1) + 1 P_a = t(w-1) + \\ P_b = \frac{2t(1-t)(w-1) + 1(P_0 - 2w P_1 + P_2)}{2t(w P_1 - P_0) + P_0}, \\ \frac{t(1-t)(w-1) + 1(1-t)}{(w P_1 - P_2) + P_2 P_c} = \frac{(1-t)(w-1) + 1}{2t(1-t)(w-1) + 1} \quad [0 \leq t \leq 1] \end{aligned} \quad (15)$$

На этот раз сначала представлен алгоритм подразделения, а позже — алгоритм рисования. Алгоритм подразделения такой же, как в листинге 11, за исключением того, что он учитывает вес для вычислений. В рациональных уравнениях вес еще всего отображается в квадрате. Для упрощения расчетов параметр веса в алгоритме рисования задан как квадрат.

```

voidplotQuadRationalBezier (int x0, int y0, int x1, int y1,
                             int x2, int y2, float w)
{
    /* пост роит ь лкбуюк вадрат ич нуюрац иональ нуок ривуюбез ь е */
    int x = x0-2*x1+x2, y = y0-2*y1+y2;
    двойной xx = x0-x1, yy = y0-y1, ww, t, q;
5   ут вержд ат ь (ш >= 0,0);

    if (xx*(x2-x1) > 0) { if (yy*(y2-y1)
                           > 0) if (fabs(xx*y) > fabs(yy*x))
    {
        /* горизонт аль ный разрез на P4? */
        /* верт ик аль ный разрез на P6 т оже? */
        /* что снач ала? */
10        x0 = x2; x2 = xx+x1; y0 = y2; y2 = yy+y1; /* точ ки обмена */
    }
    /* т еперь горизонт аль ный разрез на P4 ид ет первым */
    если (x0 == x2 || w == 1,0) t = (x0-x1)/(double)x; /* нерац иональ ный
    else { q
        /* или рац иональ ный случ ай */
        = sqrt(4.0*w*w*(x0-x1)*(x2-x1)+(x2-x0)*(long)(x2-x0));
15        если (x1 < x0) q = -q; t =
            (2,0*w*(x0-x1)-x0+x2+q)/(2,0*(1,0-w)*(x2-x0)); /* т в P4 */

        } q = 1,0/(2,0*t*(1,0-t)*(w-1,0)+1,0); xx =
        /* разделит ь в точк ет */
        (t*t*(x0-2,0*w*x1+x2)+2,0*t*(w*x1-x0)+x0)*q; yy =
        /* = P4 */
        (t*t*(y0-2,0*w*y1+y2)+2,0*t*(w*y1-y0)+y0)*q;
        ww = t*(w-1,0)+1,0; вы *= вв*q; /* к вадрат веса P3 */
        ш = ((1.0-t)*(w-1.0)+1.0)*sqrt(q); /* вес P8 */
        x = пол(xx+0,5); y = пол(yy+0,5); /* P4 */
        yy = (xx-x0)*(y1-y0)/(x1-x0)+y0; /* пересек аем P3 | P0 P1 */
25        plotQuadRationalBezierSeg(x0,y0, x,floor(yy+0.5), x,y, ww);
        yy = (xx-x2)*(y1-y2)/(x1-x2)+y2; /* пересек аем P4 | P1 P2 */
        y1 = пол(yy+0,5); x0 = x1 = x; y0 = y; /* P0 = P4, P1 = P8 */

    } if ((y0-y1)*(long)(y2-y1) > 0) { /* верт ик аль ный разрез на P6? */
        если (y0 == y2 || w == 1,0) t = (y0-y1)/(y0-2,0*y1+y2);
        else { /* нерац иональ ный или рац иональ ный случ ай */
            q = sqrt(4.0*w*w*(y0-y1)*(y2-y1)+(y2-y0)*(long)(y2-y0));
            если (y1 < y0) q = -q; t =
30            (2,0*w*(y0-y1)-y0+y2+q)/(2,0*(1,0-w)*(y2-y0)); /* т на P6 */

        } q = 1,0/(2,0*t*(1,0-t)*(w-1,0)+1,0); xx =
        /* разделит ь в точк ет */
        (t*t*(x0-2,0*w*x1+x2)+2,0*t*(w*x1-x0)+x0)*q; yy =
        /* = P6 */
        (t*t*(y0-2,0*w*y1+y2)+2,0*t*(w*y1-y0)+y0)*q;
        ww = t*(w-1,0)+1,0; вы *= вв*q; /* к вадрат веса P5 */
40        ш = ((1.0-t)*(w-1.0)+1.0)*sqrt(q); /* вес P7 */
        x = пол(xx+0,5); y = пол(yy+0,5); /* P6 */
        xx = (x1-x0)*(yy-y0)/(y1-y0)+x0; /* пересек аем P6 | P0 P1 */
        plotQuadRationalBezierSeg(x0,y0, floor(xx+0.5),y, x,y, ww);
        xx = (x1-x2)*(yy-y2)/(y1-y2)+x2; /* пересек аем P7 | P1 P2 */
45        x1 = пол(xx+0,5); x0 = x; y0 = y1 = y; /* P0 = P6, P1 = P7 */

    } plotQuadRationalBezierSeg(x0,y0, x1,y1,x2,y2,w*w); /* ост авшийся */
}

```

Лист инг 12. Деление к вадрат ич ной рац иональ ной к ривой Без ь е

Программа из листинга 12 подразделяет квадратичную рациональную кривую Безье в точках горизонтальной и вертикальной поворот так же, как в листинге 11 это делается для нерациональной кривой Безье. Таким образом, примечания в листинге 12 относятся к рисунку 13.

Эта реализация так же строит нерациональный график и Безье.

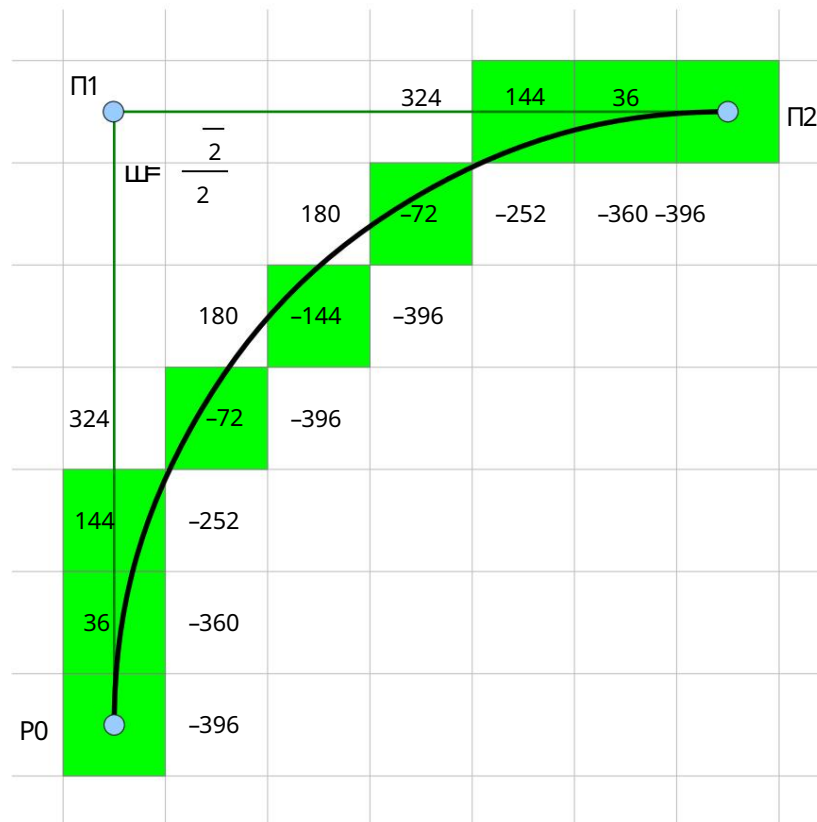


Рисунок 15: Значения ошибок квадратичного рационального Безье

Значения погрешности и расчет составлены:

$$dx = e \cdot x_0 + 1, y_0 = 4w^2 y_0 x_2 + y_0 x_0 y_2 - y_2 y_0^2, \quad (16)$$

$$dy = e \cdot x_0, y_0 + 1 = 4w^2 x_0 x_2 + x_0 y_2 - x_2 y_0 x_2 - x_2 x_0^2,$$

$$dxx = \frac{2w^2}{x} = 2 \cdot 4w^2 y_0 y_2 - y_2 y_0^2, \quad dyy = \frac{2w^2}{y} = 2 \cdot 4w^2 y_0 x_2 - x_2 x_0^2,$$

$$x \frac{2w^2}{y} - 2w^2 dxy = 2 \cdot x_0 y_2 x_2 y_0 - x_2 x_0 y_2 - y_0^2.$$

Для $w = 1$ эти значения соответствуют уравнениям главы 3.1.

4.2 Рациональный квадратичный алгоритм

Очень маленькие значения веса могут привести к сбою алгоритма. Причина та же, что и раньше. Другая часть эллипса подходит слишком близко. Хотя это редкий случай, его легко исправить: просто разделить кривую пополам и построить каждый сегмент отдельно.

```

void plotQuadRationalBezierSeg (int x0, int y0, int x1, int y1,
                                int x2, int y2, float w)
{
    /* пост роим ограниченный рациональный сегмент Безье, квадрат веса */
    int sx = x2-x1, sy = y2-y1; /* от носитель ные значения для проверок */
5   двойной dx = x0-x2, dy = y0-y2, xx = x0-x1, yy = y0-y1; двойной ху = xx*sy+yy*sx,
    cur = xx*sy-yy*sx, ошибка; /* кривизна */

    Assert(xx*sx <= 0,0 && yy*sy <= 0,0); /* знак градиента не должен меняться */

10   if (cur != 0,0 && w > 0,0) {
        /* нет прямой линии */
        if (sx*(long)sx+sy*(long)sy > xx*xx+yy*yy) {
            /* начинаем с более длинной части */
            x2 = x0; x0 -= dx; y2 = y0; y0 -= dy; кур = -cur;
            /* поменять местами P0 P2 */

            } xx = 2,0*(4,0*w*sx*xx+dx*dx); yy =
15   2,0*(4,0*w*sy*yy+dy*dy);
            /* различия 2-й степени */
            sx = x0 < x2? 1:-1; си = y0 < y2?
            1:-1; ху =
            /* направление шага x */
            /* направление шага по оси */
            -2,0*sx*sy*(2,0*w*ху+dx*dy);

20   если (cur*sx*sy < 0,0) {
            /* отрицательная кривизна? */
            xx = -xx; yy = -yy; ху = -ху; кур = -кур;
            }
            dx = 4,0*w*(x1-x0)*sy*кур+xx/2,0+ху; dy = 4,0*w*(y0-
            y1)*sx*кур+yy/2,0+ху;
            /* различия 1-й степени */

25   if (w < 0,5 && dy > dx) {
            /* плоский эллипс, алгоритм не работает */
            Cur = (w+1,0)/2,0; ш = sqrt(ш); ху = 1,0/(w+1,0);
            sx = пол((x0+2,0*w*x1+x2)*ху/2,0+0,5); sy =
            /* разделить кривую пополам */
            Floor((y0+2,0*w*y1+y2)*ху/2,0+0,5);
            dx = пол((w*x1+x0)*ху+0,5); dy = пол((y1*w+y0)*ху+0,5);
            plotQuadRationalBezierSeg(x0,y0, dx,dy, sx,sy, cur); /* построить график отдельно */
            dx = пол((w*x1+x2)*ху+0,5); dy = пол((y1*w+y2)*ху+0,5);
            plotQuadRationalBezierSeg(sx,sy, dx,dy,x2,y2,cur);
            /* вернуть ся ;
35   }
            ошибка = dx+dy-ху;
            /* ошибка 1-го шага */

            сделать { setPixel(x0,y0); /* построить кривую */
            if (x0 == x2 && y0 == y2) return; /* последний пиксель -> кривая закончена */
40   x1 = 2*ошибка > dy; y1 = 2*(err+yy) < -dy; /* сохраняем значение для проверки шага x */
            если (2*err < dx || y1) { y0 += sy; ды += ху; ошибка += dx += хх; } /* шаг */
            если (2*err > dx || x1) { x0 += sx; dx += ху; ошибка += dy += уу; } /* шаг */
            } while (dy <= ху && dx >= ху);
            /* градиент отрицателен -> алгоритм не работает */
        }
45   plotLine(x0,y0, x2,y2);
            /* отобразим от авшунся иглу до конца */
    }
}

```

Лист инг 13. Построение ограниченного рационального сегмента Безье

Этот алгоритм также позволяет избежать вычисления ложного пикселя. Таким образом, пиксельный цикл листинга 13 проверяет, не происходит ли второй шаг или у, и заранее выполняет соответствующий шаг. Такая проверка может быть включена в каждый цикл пикселей.

4.3 Вращение эллипса

В настоящее время разработаны инструменты решения задач и повернутого эллипса.

Когда эллипс преобразуется матрицей вращения $R = \begin{bmatrix} \cos \theta & \sin \theta \\ -\sin \theta & \cos \theta \end{bmatrix}$ не вращивать уравнение становится:

$$x^2 \frac{a^2 \cos^2 \theta}{a^2} + 2xy \frac{a^2 \sin \theta \cos \theta}{a^2} + y^2 \frac{a^2 \sin^2 \theta}{a^2} + \frac{b^2 \cos^2 \theta}{b^2} + \frac{b^2 \sin^2 \theta}{b^2} = 1.$$

С определениями $x_d = x \cos \theta - y \sin \theta$, $y_d = x \sin \theta + y \cos \theta$ и

$$z_d = \frac{a^2 b^2 \sin \theta \cos \theta}{a^2 b^2} = \frac{a^2 b^2 \sin 2\theta}{2} \quad \text{или} \quad z_d = \frac{a^2 b^2 \sin 2\theta}{2} \quad (\text{эксцентриситет}) \quad \text{не вращивать}$$

уравнение эллипса, повернутого на угол θ , принимает вид: $x_d^2 \frac{a^2}{a^2} + y_d^2 \frac{b^2}{b^2} + z_d y_d^2 = 0$ $[\theta \mid x_d \ y_d]$ (17)

x_d и y_d — размерного прямоугольника, охватывающего повернутый эллипс. Если $|\theta|$ равно $x_d y_d$, то эллипс становится прямой диагональной линией.

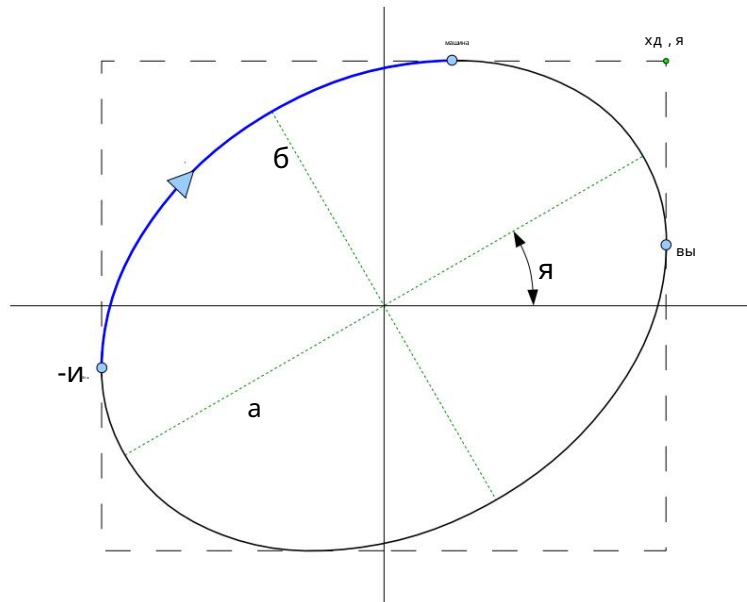


Рисунок 16: Повернутый эллипс

Значения максимумов (точка контакта с прямоугольником) составляют $x_d y_d = x_d y_e = z_d$.

$$\text{Полезные соотношения: } 2a^2 = x_d^2 + y_d^2 + (x_d^2 - y_d^2) + 4z_d, \quad 2b^2 = x_d^2 + y_d^2 - (x_d^2 - y_d^2) + 4z_d.$$

Алгоритм разделен на две части. Первая часть вычисляет x_d, y_d, z_d и возвращает вторую часть по параметрам угла прямоугольника. Этот процесс привязывает кривую эллипса к целочисленным значениям и снова позволяет рисовать повернутые эллипсы с помощью диаметров или без вычисления тригонометрических функций.

4.4 Рациональные эллипсы Безье

Алгоритм сталкивается с той же проблемой, что и квадратичные кривые Безье. Если вторая половина плоского эллипса подойдет слишком близко, алгоритм может проиграть. Умноженное решение предыдущей реализации на этот раз невозможно использовать, поскольку эллипс представляет собой замкнутую кривую. Проблемы возникают на двух концах плоского эллипса. Чтобы использовать то же решение, алгоритм должен начать с середины и двигаться к узким концам. Это становится сложной программой. Другой подход, разработанный ранее, заключается в увеличении разрешения растра за счет более мелкой сетки. Этот растеризованный эллипс должен быть достаточно мелким, чтобы избежать конфликта двух кривых на одном пикселе или очень близко к пикселу.

Другим решением этой проблемы является использование уже существующего рационального алгоритма Безье. Эллипс так же можно рассматривать как композицию трех рациональных кривых Безье. Сравнивая члены двух уравнений эллипса и рационального Безье, вес P_1 равен $2 = xd \pm zd$ для длинной/короткой стороны эллиптического сегмента. $2 \times y$ рассчитывается по w

Программа рисования повернутого эллипса теперь может делегировать процесс рисования подпрограмме.

```

void plotRotatedEllipse (int x, int y, int a, int b, float angular) {
    /* построит эллипс, повернутый на угол (радианы) */ float xd
    = (long)a*a, yd = (long)b*b; float s = sin(угол), zd = (xd-
    yd)*s; /* вращение эллипса */ xd = sqrt(xd-zd*s), yd = sqrt(yd+zd*s); /* охватывающий прямоугольник */
    a = xd+0.5; b = yd+0.5; zd = zd*a*b/(xd*yd); /* масштабирование до целого числа */
    plotRotatedEllipseRect(x,y, x+a,y+b, (long)(4*zd*cos(angular)));
}

void plotatedEllipseRect (int x0, int y0, int x1, int y1, long zd) {
    /* прямоугольник, охватывающий эллипс, целочисленный угол поворота */
    int xd = x1-x0, yd = y1-y0; float w =
    xd*(long)yd; if (zd == 0)
    return plotEllipseRect (x0,y0, x1,y1); /* выгладит лучше */ if (w != 0.0) w = (w-zd)/(w+w); /* квадрат веса
    P1 */ Assert(w <= 1.0 && w >= 0.0); /* ограничиваем угол до |zd| <= xd*yd */ xd = floor(xd*w+0.5); yd =
    пол(yd*w+0.5); /* привязать x,y к int */ plotQuadRationalBezierSeg(x0,y0+yd, x0,y0, x0+xd,y0, 1.0-
    w); plotQuadRationalBezierSeg(x0,y0+yd, x0,y1, x1-xd,y1, w); plotQuadRationalBezierSeg(x1,y1-yd, x1,y1,
    x1-xd,y1, 1.0-w); plotQuadRationalBezierSeg(x1,y1-yd, x1,y0,x0+xd,y0,w);
}

```

Листинг 14. Программа для построения повернутого эллипса

Программа в листинге 13 работает даже если P_0 и P_1 поменять местами.

Единственным недостатком этого решения является то, что эллипс не всегда точно симметричен. Иногда кривая находится между двумя пикселями, и алгоритм рисования всегда округляется в одном направлении (например, нижний пиксель). В случае эллипса это означает, что одна сторона сегмента закруглена внутрь, а другая симметричная сторона наружу.

Кривая становится гиперболой, если знак квадратичного термина a^2 или b^2 предыдущих уравнений эллипса отрицателен:

$$2x(a^2 \sin^2 \theta - b^2 \cos^2 \theta) - 2xy(a^2 + b^2) \sin \theta \cos \theta + y^2(a^2 \cos^2 \theta - b^2 \sin^2 \theta) + a^2 - b^2 = 0.$$

5 Кубические кривые Безье

Готовы ли вы вернуться к образцам? Растеризация кубических кривых требует немного больше математики. Кубический метод Безье может оказаться весьма сложным, как показано на рисунке 17. Петли и выпуклости доставляют множество неприятностей. Возможно, было бы неплохим решением разделить кубическую кривую на короткие кривые с помощью алгоритма деКастельжо и преобразовать их в квадратичные кривые Безье, которые можно было бы обработать с помощью предыдущего алгоритма.

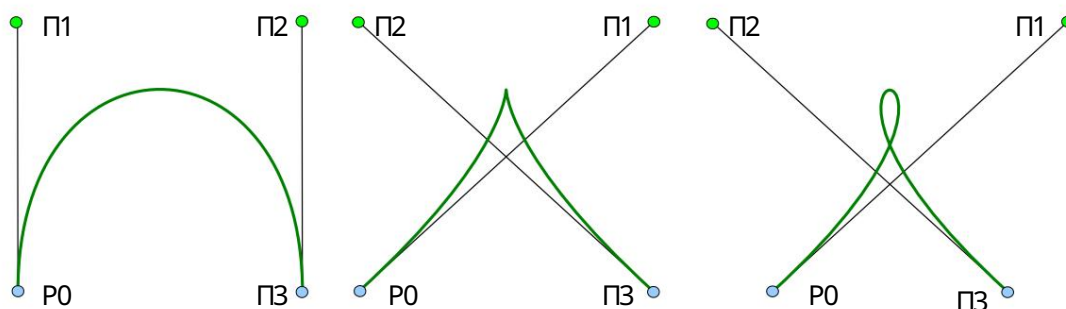


Рисунок 17. Различные кубические кривые Безье.

5.1 Уменьшение кубического градуса

В обычных случаях невозможно точно уменьшить степень кривой Безье. Только если кубический член обращается в нуль, уравнение (29) можно использовать для получения приведенного квадратного уравнения.

Однако можно аппроксимировать кубическую Безье к квадратичным Безье. Это обычно делается с помощью небольшого количества деления в триэтапе:

- кривая подразделяется на горизонтальные и вертикальные сегменты (глава 5.9) •
- кривая подразделяется на точку перегиба (глава 5.7) •
- оставшаяся кривая подразделяется на две квадратичные точки Безье

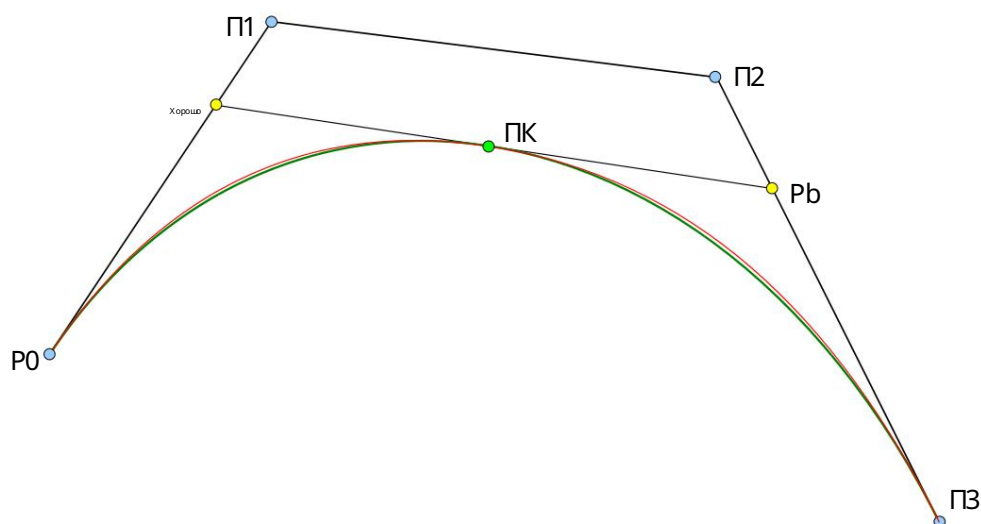


Рисунок 18: Приближение к кубической Бэзье (красный) двумя квадратичными (зеленый).

Конечно, есть несколько возможностей для понижения степени и подразделения. Точный метод гарантирует, что кривизна в конечных точках аппроксимации не изменится, что также упрощает расчеты.

Следующие соображения позволяют сделать отклонения небольшими. Кубическая кривая Бэзье P0-P1-P2-P3 на рисунке 18 делится ровно пополам (при $t = 1/2$) путем деления Де Кастельжу. Точка подразделения Pс состоит из точного кубической кривой Бэзье. Теперь касательные в конечных точках P0 и P3 разделенной кубической кривой и двух квадратичных кривых P0-Pa-Pc и Pc-Pb-P3 сделаны равными по направлению и величине.

Если кубический сегмент Бэзье P0-Pa-Pc получен разделением Де Кастельжу, то касательная в точке P0 составляет $P'(0) = 3(P1-P0)/2$, а тангенс квадратичного сегмента Бэзье P0-Pa-Pc составляет $2(Pa-P0)$. Если сделать эти два тангенса равными, то кистанут: $Pa = (P0 + 3P1)/4$, $Pb = (3P2 + P3)/4$ и $Pc = (Pa+Pb)/2$. (18)

Если аппроксимация квадратичными кривыми Бэзье недостаточна, то кубическая кривая должна быть разбита на более мелкие сегменты.

5.2 Полиномиальные результаты

И снова необходимо неявное уравнение кубической кривой Бэзье: [Marsh, 2005]

$$B_3(t) = (1-t)^3 P_0 + 3(1-t)^2 t P_1 + 3(1-t)t^2 P_2 + t^3 P_3. \quad (19)$$

Для вывода общего неявного уравнения третьего порядка

$$t^3 (a_3 x^2 + a_2 x y + a_1 y^2 + a_0) + t^2 (b_3 x^2 + b_2 x y + b_1 y^2 + b_0) + t (c_3 x^2 + c_2 x y + c_1 y^2 + c_0) + d = 0 \quad (20)$$

необходимо решить линейно независимых уравнений. Это кажется слишком сложным, поэтому давайте попробуем другой подход.

Самый простой пример имеет первую степень: $f(t) = a_1 t + a_0 = 0, g(t) = b_1 t + b_0 = 0$.

$$\frac{(a_1 t + a_0)(b_1 t + b_0)}{1} = c_0 = a_0 b_1 - a_1 b_0 = 0.$$

Результат второй степени вычисляется по

формуле $f(t) = a_2 t^2 + a_1 t + a_0 = 0, g(t) = b_2 t^2 + b_1 t + b_0 = 0$.

$$\frac{(a_2 t^2 + a_1 t + a_0)(b_2 t^2 + b_1 t + b_0)}{1} = (c_{11} t + c_{01})t + (c_{01} t + c_{00}) = 0.$$

Матрица Безу делает тогда $\begin{bmatrix} c_{00} & c_{01} \\ 1 & 1 \end{bmatrix} \begin{bmatrix} b_0 & b_1 \\ a_0 & a_1 \end{bmatrix} = \begin{bmatrix} a_0 b_0 & a_0 b_1 + a_1 b_0 \\ a_1 b_0 & a_1 b_1 + a_2 b_0 \end{bmatrix} \begin{bmatrix} 1 & 1 \end{bmatrix} = 0$.

Результат двух кубических полиномов вычисляется по формуле

$f(t) = a_3 t^3 + a_2 t^2 + a_1 t + a_0 = 0, g(t) = b_3 t^3 + b_2 t^2 + b_1 t + b_0 = 0$.

$$\frac{f(t)g(t) - f(t)g(t)}{1} = (c_{22} t^2 + c_{12} t + c_{02})t^2 + (c_{12} t^2 + c_{11} t + c_{10})t + (c_{02} t^2 + c_{01} t + c_{00}) = 0.$$

Результатом матрицы Безу является

$$\begin{bmatrix} a_0 b_2 & a_2 b_0 & a_0 b_3 & a_3 b_0 & a_0 b_2 & a_2 b_0 & a_1 \\ b_2 & a_2 b_1 + a_0 b_3 & a_3 b_0 & a_1 b_3 & a_3 b_1 & a_0 b_3 & a_3 b_0 & a_1 b_3 & a_3 b_1 \\ a_0 b_1 & a_1 b_0 & a_2 b_3 & a_3 b_2 \end{bmatrix} \begin{bmatrix} t^2 \\ t \\ 1 \end{bmatrix} = 0.$$

5.3 Неявное кубическое уравнение Безу

Теперь результат также можно применять для преобразования параметрических уравнений кривой в

неявную форму $f(x, y) = 0$ для любого значения $t \in \mathbb{R}$, (23)

$$x = c_0 + t c_1, y = c_0 + t c_1, t \in \mathbb{R}$$

Уравнение рациональной кривой Безу степени n составляет

$$B_n(t) = \frac{\sum_{i=0}^n a_i t^i \sum_{j=0}^n b_j (1-t)^j}{\sum_{j=0}^n b_j (1-t)^j}. \quad (24)$$

Общий корень двух параметрических многочленов

$$x = \sum_{i=0}^n a_i t^i \quad \text{и} \quad y = \sum_{i=0}^n b_i t^i$$

приводит к неявному уравнению кривой Безу $f(x, y) = 0$ по x и y . $f(x, y)$ — полином от

t , коэффициент от которого линейно по x , а $f(y, t)$ — многочлен от t , коэффициент от которого линейно по y . Любое значение x и y , для которого $f(x, y) = 0$, приводит к тому, что результирующая $f(x, t)$ и $f(y, t)$ становится равной нулю, следовательно, является частью параметрической кривой.

Форму Берншг ейна многоч лена необходимо преобраз оват ь в ст епеннуюформу с помощь ю

$$T \cdot Y = \begin{matrix} \text{н-я} & & \text{я} \\ \text{я } w_i(n_i)(1-t) & & \text{я } (n_i)(k w_i(n_i) t k)(1) \end{matrix}$$

К оэффициент ыа_i и b_i полиномов f(t) и g(t) мат риц ы(22) можно до полнит ель но упрост ит ь из - за линейност и определит елей. Д обавля я к к ажд ой ст рок е и ст олбц у m определит еля все пред ьдущие ст рок и и ст олбц ы эт а сумма ст ановит ся

$$\text{я } m \text{ к нед я } 1 \quad x \quad x_k = w_m \quad x \quad x_m .$$

Полиномиаль ные мат рич ные к оэффициент ык ривой Без ь е сост авля ют т огда

$$a_i = w_i \quad n_i \quad x \quad x_i \quad \text{и} \quad b_i = w_i(n_i)(y \quad y_i).$$

Т реть юст епень к убич еск ой к ривой Без ь е т еперь можно было бынея вно пред ст авит ь след ующим образом

$$z(x, y) = \begin{matrix} d_{02} d_{02} d_{03+03} \\ d_{01} \\ d_{03} d_{13} \end{matrix} \begin{matrix} 12 \\ 13 \\ d_{23} \end{matrix} = 0 \text{ где } d_{ij} = (3 \ i)(3 \ j) \quad x \quad y \quad 1 \quad 1 \quad \begin{matrix} \text{С и И 1} \\ \text{и с} \\ \text{д ж й д ж} \end{matrix} \quad (25)$$

К сожалению ч леныэт ого нея вного уравнения (20) до воль но запут аны например $a = 9y_0^1 (y_0^3 y_2^3 + 9y_1^2 y_2^3 - 3y_1^3) - 27y_0^2 (y_0^3 + 9y_1^2) y_2^3 + 18y_0^2 y_0^3 y_1^3 - y_0^3$

где $u_{ij} = y_i - y_j$. Воз можно ли более прост ое выражение?

К люч к успеху – симмет рия . Но определение к ривых Без ь е асиммет рич но; парамет р t варь ирует ся от нуля до единиц ы

Его необходимо из менит ь на симмет рич но определенн ый диапаз он парамет ра от минус од ного до плк ь од ного:

$$V_3(t) = (1-t)^3 P_0 + 3(1-t)^2(1+t)P_1 + 3(1-t)(1+t)^2 P_2 + (1+t)^3 P_3 \text{ для } [-1, 1].$$

Чт обыупрост ит ь расч ет ы к онст ант ык убич еск ого уравнения Без ь е преобраз уют ся след ующим образом

$$\begin{matrix} x_6 \\ x_5 \\ x_4 \\ x_3 \\ x_2 \\ x_1 \end{matrix} \begin{matrix} \text{"="} \\ \text{[хд]} \\ \text{[хс]} \\ 1 \quad 3 \\ 1 \quad 1 \\ 1 \quad 1 \\ 1 \quad 1 \end{matrix} \begin{matrix} 1 \\ 1 \\ 1 \\ 1 \\ 1 \\ 1 \end{matrix} \begin{matrix} x_1 \\ x_2 \\ x_3 \\ x_4 \\ x_5 \\ x_6 \end{matrix} \text{ и } \begin{matrix} \text{Мст ер} \\ \text{[кукуруза]} \\ \text{ус} \end{matrix} \begin{matrix} \text{"="} \\ \text{[у0]} \\ \text{[у3]} \\ 1 \quad 3 \\ 1 \quad 1 \\ 1 \quad 1 \end{matrix} \begin{matrix} 1 \\ 1 \\ 1 \\ 1 \\ 1 \\ 1 \end{matrix} \begin{matrix} y_1 \\ y_2 \\ y_3 \\ y_4 \\ y_5 \\ y_6 \end{matrix} \quad (26)$$

Уравнения Без ь е принимают

$$\text{следующий вид: } 8x = t^3 x_a + 3t^2 x_b - 3t x_c + x_d \quad \text{и} \quad 8y = t^3 y_a + 3t^2 y_b - 3t y_c + y_d .$$

Обрат ное преобраз ование делае т :

$$\begin{matrix} x_1 \\ x_2 \\ x_3 \\ x_4 \\ x_5 \\ x_6 \end{matrix} \begin{matrix} \text{"="} \\ 1 \\ 1 \\ 1 \\ 1 \\ 1 \end{matrix} \begin{matrix} 1 \\ 1 \\ 1 \\ 1 \\ 1 \\ 1 \end{matrix} \begin{matrix} x_1 \\ x_2 \\ x_3 \\ x_4 \\ x_5 \\ x_6 \end{matrix} \text{ и } \begin{matrix} y_1 \\ y_2 \\ y_3 \\ y_4 \\ y_5 \\ y_6 \end{matrix} \begin{matrix} \text{"="} \\ 1 \\ 1 \\ 1 \\ 1 \\ 1 \end{matrix} \begin{matrix} 1 \\ 1 \\ 1 \\ 1 \\ 1 \\ 1 \end{matrix} \begin{matrix} y_1 \\ y_2 \\ y_3 \\ y_4 \\ y_5 \\ y_6 \end{matrix}$$

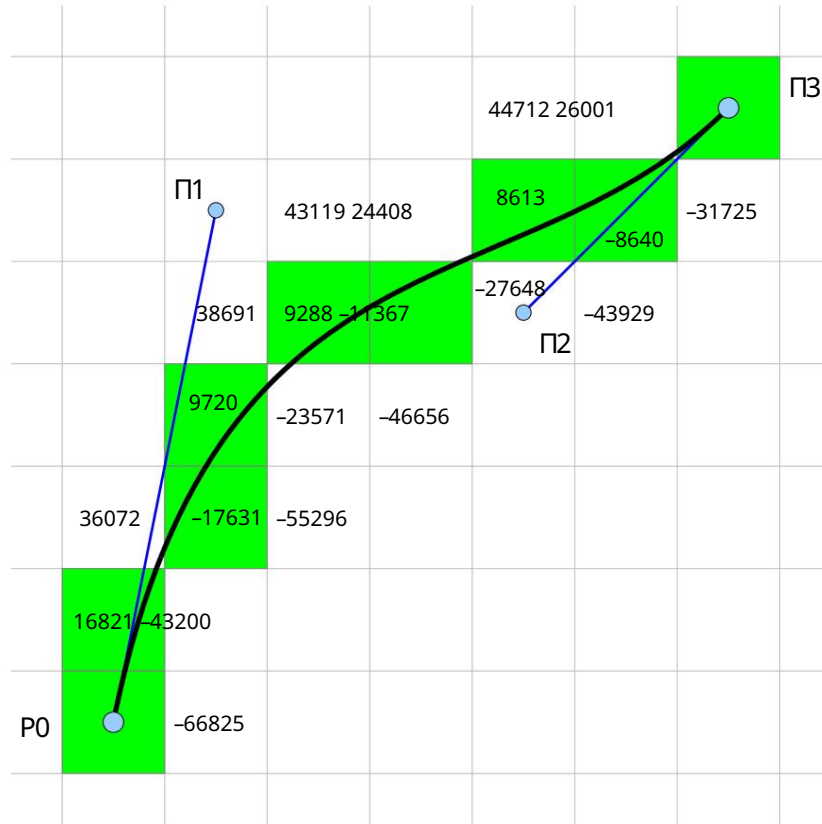


Рисунок 19: Значения ошибок кубической кривой Безье

Шаги приращения в направлении x составляют: $err_x = d_x$, $D_{xx} = D_{xx}$, $D_{xy} = D_{xy}$,

$$D_{xx} = \frac{3i}{x} = 6a = 6d_x, \quad d_{xy} = x \frac{3i}{2y} = 6b = 6d_{xy}^2, \quad D_{xy} = \frac{3i}{xy} = 6c = 6d_{xy}^2$$

И в направлении y: $err_y = d_y$, $D_{yy} = D_{yy}$, $D_{xy} = D_{xy}$,

$$D_{yy} = \frac{3i}{y} = 6d = 6d_y^3, \quad D_{xy} = \frac{3i}{xy} = 6c = 6d_{xy}^2, \quad D_{xx} = \frac{3i}{x^2} = 6b = 6d_{xy}^2$$

При вычислении разностей первого и второго порядка арифметические разности следуют закономерности. Разности значений ошибок представляют собой конечную разность n-го порядка. Существует в двух измерениях:

$$D_{n_x n_y} = \sum_{x=0}^{n_x} \sum_{y=0}^{n_y} (1)^{x+y} \dots) [n_x + n_y = n]. \quad (30)$$

Значения инициализации переменных приращения для P0 делают конечными первое и второе значения разностей в порядке вперед:

$$d_x = e_{x0}, \quad y_0 = 3a_{x0}, \quad x_0 = 1, \quad y_0 = c_{y0}, \quad f_{2x0} = 1, \quad b_{y0} = e_{h_a} = 27(y_a + 2y_b + y_c)(cab) + 27(y_b^2 + y_a^2) \dots$$

$$d^2x = e^{-x_0} (2y_0 - 2e^{-x_0}) = 6a$$

$$d^2y = e^{-x_0} (2x_0 - 2e^{-x_0}) = 6b$$

$$d^2z = e^{-x_0} (2x_0 - 2e^{-x_0}) = 6c$$

Этот изначальный не зависит от x_0 или y_0 . Расчет ошибок может быть выполнен в целых числах. Но значения могут достигать весьма больших значений (вплоть до шестой степени). Переменные d^2x , d^2y , d^2z требуют четверть размера исходного слова, dx и dy — пятую часть, а значения ошибок — шестую часть.

5.5 Точка самопересечения

Для точки скручивания или самопересечения мы хотим найти два соответствующих параметра t_1 и t_2 такие, что $V_3(t_1) = V_3(t_2)$, $t_1 \neq t_2$.

Проблему точки самопересечения можно решить путем подразделения или поиска корней. Но есть и алгебраическое решение этой проблемы.

Точка самопересечения — это седловая точка, в которой производная неадекватна уравнения кривой равна нулю в любом направлении. Для расчета этой точки производная неадекватна уравнения параметризуется:

$$x = 3ax^2 + 6bx + 3cy^2 + 6ex + 3fy + 3h, \quad y = 3bx^2 + 6cx + 3dy + 3f + 6gy + 3i + 3b$$

Эта производная заменяется параметрическим уравнением

$$x = t_3 a + t_2 b + t_1 c, \quad y = t_3 y_a + t_2 y_b + t_1 y_c$$

Два общих корня этих двух производных — это параметры t_1 и t_2 точки самопересечения. Кажется, что это многочлен шестой степени, но, кстати, в этом случае две высшие степени исчезают.

Точка самопересечения кубической кривой Безье вычисляется по двум общим корням двух многочленов: так же как

$$t^4 - 6t^3 + 3t^2 - 3t = 0, \quad t^4 - 6t^3 + 3t^2 - 3t = 0$$

Итерация Ньютона-Рафсона можно использовать для вычисления корней многочленов. Но для нахождения общих корней двух многочленов результат Безу снова помогает получить аналитическое решение.

Даны два многочлена $f(t) = at^n$, $g(t) = bt^n$ однородное линейное уравнение

Результат Безу четвёртой степени составит:

$$\begin{bmatrix} d_{01} & d_{02} & d_{03} & d_{04} \\ d_{12} & d_{14} & d_{13} & d_{14} \\ d_{03} & d_{04} & d_{14} & d_{13} \\ d_{04} & & & d_{34} \end{bmatrix} \begin{bmatrix} t \\ t^2 \\ t^3 \\ t^4 \end{bmatrix} = 0, \text{ где } d_{ij} = a_i b_j - a_j b_i \quad (33)$$

Многочлены $f(t)$ и $g(t)$ имеют общий корень t тогда и только тогда, когда определитель $R(f, g)$ равен нулю. Эти корни можно найти, выполнив метод исключения Гаусса в строках $R(f, g)$. Если после исключения последняя ненулевая строка равна $(0, \dots, 0, h_0, h_1, \dots, h_k)$, то общий корень $f(t), g(t)$ — это просто корни многочлена $h(t) = h_0 + h_1 t + \dots + h_k t^k$ [Голдман и др., 1985].

Рисунок 20: Трёхмерный график поверхности кубической кривой Безье с самопересечением.

Матричные коэффициенты результата Безье кубической кривой Безье состоят из:

$$\begin{aligned}
 d_{01} &= 2abc - (3ab^2 + 3ac^2 - 3abc) & d_{02} &= -3abc + (3ab^2 + 3ac^2 - 3abc) & d_{03} &= -3abc + (3ab^2 + 3ac^2 - 3abc) \\
 d_{04} &= 3abc - (3ab^2 + 3ac^2 - 3abc) & d_{12} &= -3abc + (3ab^2 + 3ac^2 - 3abc) & d_{13} &= 3abc - (3ab^2 + 3ac^2 - 3abc) \\
 d_{14} &= 3abc - (3ab^2 + 3ac^2 - 3abc) & d_{23} &= 3abc - (3ab^2 + 3ac^2 - 3abc) & d_{24} &= -3abc + (3ab^2 + 3ac^2 - 3abc) \\
 d_{34} &= 2abc - (3ab^2 + 3ac^2 - 3abc)
 \end{aligned}$$

Эти значения зависят только от a, b, c и abc . Определитель этой результирующей матрицы всегда равен нулю.

Исключив одну строку и столбец матрицы, получим квадратное уравнение для вычисления корней точки самопересечения. Принимая строки 2 и 3 за параметр самопересечения

$$\text{воздействием составляет: } t_{1,2} = \frac{-3abc \pm \sqrt{12abc^2 - 3abc^2}}{2abc} \quad (34)$$

Обратите внимание, что t_1 и t_2 также не зависят от x_d, y_d , которые являются обычными параметрами

Кривая Безье.

Для кубической кривой уравнение имеет комплексную точку самопересечения

Если $4cab - c^3 = 0$ имеет точку t^2 кривая имеет точку возврата. Если $|t_{1,2}| < 1$, то кубический сегмент Безье (cnode).

самопересечения (cnode). В противном случае только кубическое уравнение вне интервала параметра имеет самопересечение.

5.6 Градиент в точке P_0

Градиент кривой в точке P_0 может быть положительным или отрицательным в направлении графика. Поскольку алгоритм зависит от непрерывно положительного (или отрицательного) наклона, значения необходимо инвертировать в случае отрицательного градиента, чтобы иметь возможность использовать тот же алгоритм. Как рассчитать градиент в точке P_0 ?

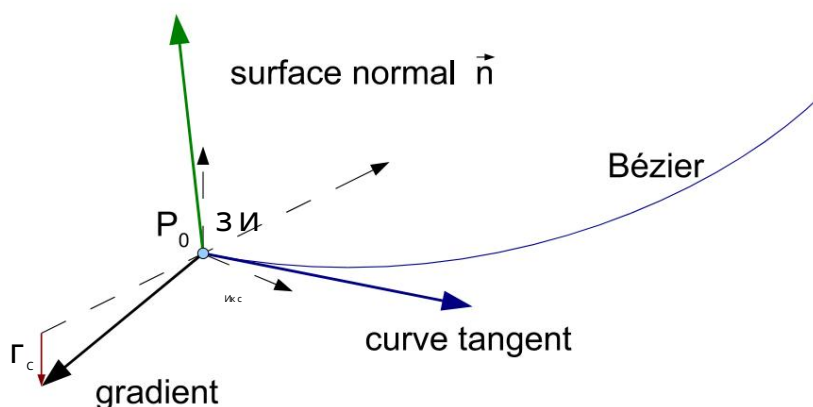


Рисунок 21: Градиент кривой

Градиент представляет собой векторное произведение нормали к поверхности и вектора касательной к кривой.

Нормаль к поверхности уравнения $e(x,y) = z$ на рисунке (21) составляет

$$n = \left[\frac{\partial e(x,y)}{\partial x}, \frac{\partial e(x,y)}{\partial y}, 1 \right].$$

При определении класса $g = 4 \frac{27}{((cab + c^3)^2 - cab(cab + 3c^3))}$ производные

уравнение составляет $\frac{e(x_0, y_0)}{x} = g \cdot y_0 \cdot y_1$ и $\frac{e(x_0, y_0)}{y} = g \cdot x_0 \cdot x_1$. Градиент в точке P_0

P_0 делает тогда

$$e(x_0, y_0) = n \cdot [x_1 - x_0, y_1 - y_0, 0] = [y_0 \cdot y_1, x_1 - x_0, g \cdot x_0 \cdot x_1^2 - y_0 \cdot y_1^2].$$

Компонент z (g на рисунке 21) градиента (пропорциональный g) отрицательный только в том случае, если P_0

является частью узла самопересечения. Если класс g равен нулю, то точка P_0 сама является крутой (или касп).

Эту информацию можно использовать, чтобы прояслить особенность оржность, поскольку рисование ц ик ла самопересечения всегда включает в себя опасность того, что другая часть кривой подойдет слишком близко для правильной работы алгоритма.

5.7 Точка перегиба

Положение точек перегиба становится важным, если кубик Безье аппроксимируется наборами связанных квадратичных отрезков Безье. Кубическая кривая Безье меняет направление изгиба в точке перегиба.

Точка перегиба — это точка, в которой кривизна кривой равна нулю. Кривизна $\kappa(t)$ —

$$\kappa = \rho \frac{1}{D^2} \frac{d^2 \mathbf{r}}{ds^2} \cdot \frac{d\mathbf{r}}{ds} = \frac{V'(t) \times V''(t)}{V'(t)^3} = \frac{f''(t) \cdot \phi_i(t) - f_i(t) \cdot \phi''(t)}{(f''(t) + f_{i2}(t))^2}. \quad (35)$$

В случае кубической кривой Безье точка перегиба можно определить с помощью квадратного уравнения $at^2 + bt + c = 0$. (36)

5.8 Кубические проблемы

Алгоритм основан на решении проблем для неконтролируемых кубов Безье. На рисунке 22 показана кривая с амбициозными значениями ошибок при P_0 . Ситуация становится понятной, если построить всю кривую. Точка P_0 находится рядом с точкой самопересечения.

Алгоритм сталкивается с настоящей дилеммой с плоскими кривыми самопересечения. Он не может построить график со стороны пересечения, так как там значения ошибок меняют знак. Если алгоритм хочет построить график со стороны плоского конца, существует опасность того, что другая часть кривой окажется слишком близко к значению ошибок, будут слишком запутанными. Алгоритм не работает, если кривая содержит плоскую петлю самопересечения.

На рисунке 22 показана кривая, на которой петля очень плоская. В этом случае оба конца могут представлять собой острые углы вест и в узкий или одинаковый пиксель. Алгоритм не сможет построить кривую, если оба конца начнутся с таких запутанных значений ошибок. Два варианта могут решить проблему. Первое будет так же, как и для квадратично-рационального Безье. Кривая дополняется подразделением в самом широком месте контура, и график начинается там. Из-за этого решения кривые иногда становятся немного резкими. Другой вариант — использовать для графика раст более высокого разрешения.

Разрешение выбирается по длине ног. Этот метод немного снижает скорость построения, но приводит к более плавным кривым.

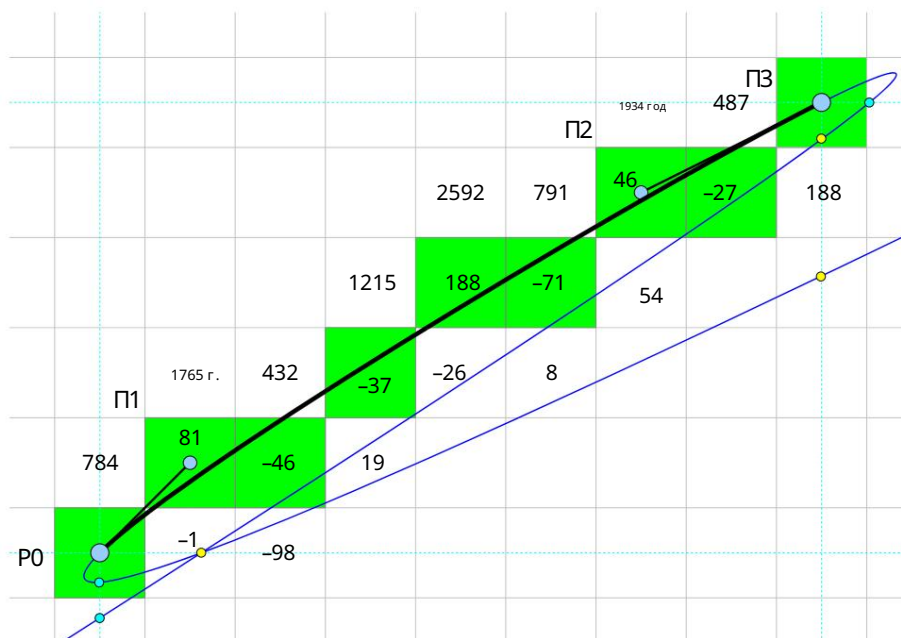


Рисунок 22: К убич еск ий Без ь е с з а г у т а н н ы м и з н а ч е н и я м и о ш и б к

5.9 К убич еск ий а л г о р и т м

Базовый алгоритм требует непрерывно возрастания или снижения кривой. Непросто даже включить проверку параметров, чтобы обеспечить это условие. Во-первых, линии P1-P0 и P3-P2 либо растут, либо падают. Но наклон P2-P1 можно было бы знать и на нет по отношению к остальным, и кривую все равно можно было бы построить. Таким образом, второе условие должно состоять в том, чтобы линия P3-P0 имела тот же наклон, что и P2-P1, либо первая производная параметрического уравнения имела

настоящие корни.

Оператор утверждения также должен учитывать определенные ошибки округления. Если параметр имеет тип одинарной плавающей запятой с 23-битной мантиссой и параметр координат не превышает 16 бит, то эpsilon должен быть больше 2. 16-23.

Для простого (и более быстрого) кода вычисление dx и dx^2 выполняется на один шаг вперед. Расчет dy и dy^2 выполняется на один шаг вперед. Вычисление значений ошибок выполняется на один шаг вперед и один шаг назад.

Кубическая кривая Безье может иметь точку возврата или петлю самопересечения. Даже если петля не видна на протяжении конечных параметров, вся кривая может иметь петлю и видимый сегмент может быть ее частью. Эта точка возврата или петля вызывает множество проблем. Алгоритм не может строить график через самопересечение. Поэтому сюжет начинается с обоих концов. Если значения ошибок падают из-за того, что градиент меняет свой знак, то пробуются другие концы.

Следовательно, функция способна обрабатывать кривые Безье с точками самопересечения.

Другая проблема возникает, если эта петля очень плоская, как на рисунке 22. Тогда один конец кривой, вероятно, заблокирован точкой самопересечения, а на другом конце слишком запутанная точка.

значения ошибок для алгоритма. В этом случае разделение пикселя увеличивается.

Алгоритм использует значения оценки, чтобы проверить, нужно ли увеличить коэффициент разделения.

Алгоритм также смотрит на один пиксель вперед, чтобы обнаружить точку самопересечения ($dx > 0$ или $dy < 0$).

Но в начальной точке эти значения все еще могут быть инвертированы на один пиксель вперед,

хотя для текущего момента это не так. Поэтому алгоритм должен проверить значения в текущем

пикселе ($dx > dx_u$ или $dy < dy_u$) и переключиться на проверку на один пиксель вперед, только если значения там

стали действительными.

```

voidplotCubicBezierSeg (int x0, int y0, float x1, float y1,
                        float x2, float y2, int x3, int y3) /* построение
{
    ограниченного кубического сегмента Бэзье */
    int f, fx, fy, leg = 1;
5   int sx = x0 < x3? 1:-1, sy = y0 < y3? 1:-1; /* направление шага */
    float xc = -fabs(x0+x1-x2-x3), xa = xc-4*sx*(x1-x2), xb = sx*(x0-x1-x2+x3);
    float yc = -fabs(y0+y1-y2-y3), ya = yc-4*sy*(y1-y2), yb = sy*(y0-y1-y2+y3);
    двойной ab, ac, bc, cb, xx, xy, yy, dx, dy, ex, *pxu, EP = 0,01;

10
    /* проверка ограничений кривой */
    /* наклон P0-P1 == P2-P3 и (P0-P3 == P1-P2 или без изменения наклона) */
    Assert((x1-x0)*(x2-x3) < EP && ((x3-x0)*(x1-x2) < EP || xb*xb < xa*xc+EP)); Assert((y1-y0)*(y2-y3) < EP && ((y3-
    y0)*(y1-y2) < EP || yb*yb < ya*yc+EP));

15   if (x == 0 && of == 0) {
        /* квадратичная Бэзье */
        sx = пол((3*x1-x0+1)/2); sy = пол((3*y1-y0+1)/2); /* новая средняя точка */
        returnplotQuadBezierSeg (x0,y0, sx,sy,x3,y3);
    }
    x1 = (x1-x0)*(x1-x0)+(y1-y0)*(y1-y0)+1; x2 = (x2-x3)*(x2-
20   x3)+(y2-y3)*(y2-y3)+1;
    do { /* цикл по обхождению */
        ab = xa*yb-xb*ya; ac = xa*yc-xc*ya; bc = xb*yc-xc*yb; ex = ab*(ab+ac-3*bc)
        +ac*ac; /* P0 часть цикла самопересечения? */
        e = бывший > 0? 1: к врт (1+1024/x1); /* вычисляем разделение */
25   ab *= e; переменный ток *= e; до н.э. *= e; бывший *= e*e; /* увеличиваем разделение */
        xy = 9*(ab+ac+bc)/8; cb = 8*(xa-ya); /* инициализируем разности 1-й степени */
        dx = 27*(8*ab*(yb*yb-ya*yc)+ex*(ya+2*yb+yc))/64-ya*ya*(xy-ya);
        dy = 27*(8*ab*(xb*xb-xa*xc)-ex*(xa+2*xb+xc))/64-xa*xa*(xy+xa);
        /* инициализируем различия 2-й степени */
30   xx = 3*(3*ab*(3*yb*yb-ya*ya-2*ya*yc)-ya*(3*ac*(ya+yb)+ya*cb))/4;
        yy = 3*(3*ab*(3*xb*xb-xa*xa-2*xa*xc)-xa*(3*ac*(xa+xb)+xa*cb))/4;
        xy = xa*ya*(6*ab+6*ac-3*bc+cb); ак = да*я ; К Б = ха*ха;
        xy = 3*(xy+9*f*(cb*yb*yc-xb*xc*ac)-18*xb*yb*ab)/8;

35   if (ex < 0) { /* отрицание значений, если внутри цикла самопересечения */
        dx = -dx; dy = -dy xx = -xx; yy = -yy; xy = -xy; ак = -ac; К Б = -К Б;
        /* инициализируем различия 3-й степени */
        } AB = 6*ya*ac; ак = -6*xa*ac; bc = 6*ya*cb; cb = -6*xa*cb;
        dx += xy; ex = dx+dy; dy += xy;
40
        /* ошибка 1-го шага */
    }
}

```

```

for (pxy = &xy, fx = fy = f; x0 != x3 && y0 != y3; ) {
    setPixel(x0,y0); do { if /* пост роит ь к ривую*/
        (dx > /* перемещаем под шаг и на один пиксель */
            *pxy || dy < *pxy) перейт и к в вы ход у; y1 = 2*ex-dy; /* за гут анные значения */
            (2*ex >= dx) { fx--; /* сохраня ем значение для проверки шага у */
            ex += dx += xx; dy += xy /* х подэт ап */
                += переменный ток; уу += до нашей эры; xx += АБ;
            }
            если (y1 <= 0) { fy--; /* подэт апу */
                ex += dy += уу; dx += ху += до н.э.; xx += переменный ток; уу += К Б;
            }
        } while (fx > 0 && fy > 0); /* пиксель завершен? */
        если (2*fx <= f) { x0 += sx; x += e; } /* х шаг */
        если (2*fy <= f) { y0 += sy; y += e; } /* Шаг */
        if (pxy == &xy && dx < 0 && dy > 0) pxy = &EP; /* допустимый пиксель вперед */
    }
    в ход : xx = x0; x0 = x3; x3 = xx; cx = -cx; xb = -xb; /* поменять ноги */
        уу = y0; y0 = y3; y3 = уу; cy = -cy; yb = -yb; x1 = x2;
    } П о к а (нога--); /* попробуем другой конец */
    plotLine(x0,y0, x3,y3); /* оставшаяся часть в случае касания или рюнда */
}

```

Листинг 15. Построение кубического сегмента Безье

Алгоритм пытается построить график с левого конца кривой и останавливается, если значения ошибок становятся равными. смущенный. Это происходит при самопересечении и особенно при касании. Кривая затенена линиями.

Можно было бы проверить условие разрыва пикселя ного цикла только для конечной точки. Но если конечная точка пропущена из-за небольшой ошибки округления, алгоритм не остановился. реализация в листинге 14 гарантирует, что кривая не выйдет за пределы конечной точки.

Возможны некоторые другие оптимизации, например, написание отсечки ного цикла для кривых безцикла. (самопересечение). Это уменьшит накладные расходы пиксельного цикла для больших значений изображений. Кривые Безье. Если применимо, вместо переменной-указателя можно использовать ссылку.

Алгоритм можно было бы упростить, если бы не требовалось создавать кубические кривые Безье с петлей или точкой возврата. растеризованный. В этом случае вариант увеличения разрешения можно опустить.

$$x_c = t_2 t_1 \quad t_1 t_2^2 x_a + 4 t_1 t_2 x_b + 4 x_c \quad \text{и}$$

$$x_d = t_1 t_2^3 x_a + 6 t_1 t_2^2 x_b + 12 t_1 t_2 x_c + 8 x_d. \quad (38)$$

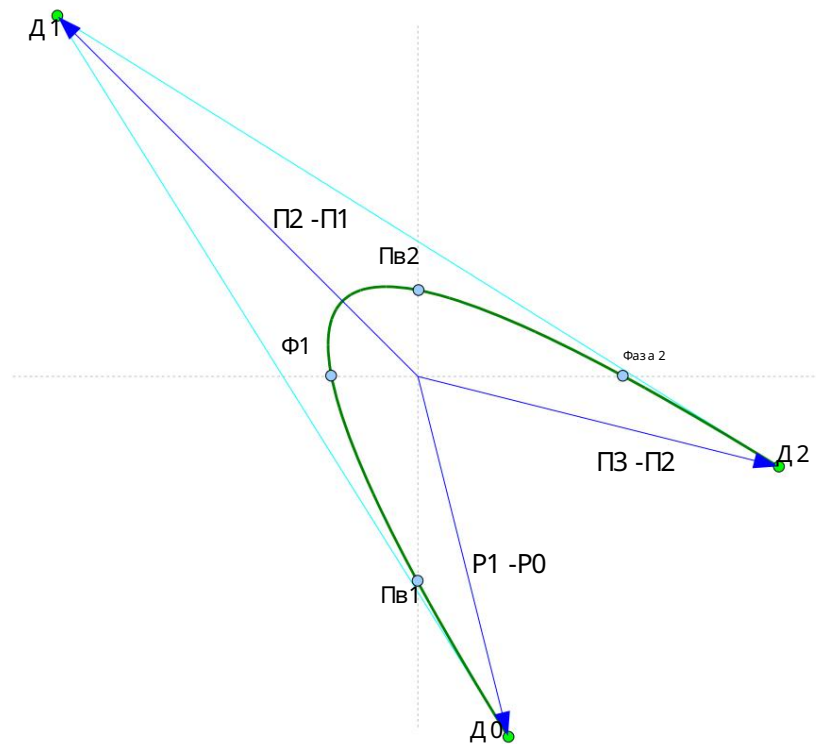


Рисунок 24. Горизонтальные и вертикальные кривые кривой Безье.

5.11 Рисование любой кривой Безье

Кривая Безье подразделяется на горизонтальные и вертикальные изменения градиента. Затем эти точки сортируются для получения последовательных сегментов кривой. Поскольку необходимо отсортировать не более четырех точек, простейший алгоритм сортировки достаточен и эффективен. Кривая не подразделяется в точке самопересечения, поскольку функция построения подсегмента способна обработать этот случай.

Другая проблема может возникнуть, когда промежуточные точки P1 или P2 округляются до целых чисел из-за подразделения. Может случиться так, что тогда неизбежно возникает ситуация изменения градиента внезапно возникает снова из-за округления. Поэтому, чтобы избежать значительных изменений, только границы разделенной кривой масштабируются до целых чисел. По этой причине промежуточные точки и функция построения графика подсегмента должны иметь тип плавающей запятой.

Очень важно, чтобы вычисление параметра t имело двойную точность, особенно функция квадратного корня. Недостаточная точность может немного изменить параметр разделенной кривой, так что он больше не будет соответствовать необходимым ограничениям, и оператор утверждения в функции подсегмента завершится неудачно.

```

voidplotCubicBezier (int x0, int y0, int x1, int y1,
                    int x2, int y2, int x3, int y3)
{
    /* пост роит ь лкбую убч еск уюк ривуюБез ь е */
    int n = 0, я = 0;
    5    д лнннь хс = x0+x1-x2-x3, ха = хс-4*(x1-x2);
    д лнннь хb = x0-x1-x2+x3, xd = хb+4*(x1+x2);
    д лнннь yc = y0+y1-y2-y3, ya = yc-4*(y1-y2);
    д лнннь yb = y0-y1-y2+y3, yd = yb+4*(y1+y2);
    float fx0 = x0, fx1, fx2, fx3, fy0 = y0, fy1, fy2, fy3;
    10    д вонной t1 = хb*хb-ха*хс, t2, t[5];
    /* под раз деление к ривой при из менении з нак а г рад иент а */
    if (ха == 0) { if /* г ориз онт аль но */
        (abs(хс) < 2*abs(хb)) t[n++] = хс/(2.0*хb); /* од но из менение */
    } else if (t1 > 0.0) { t2 = sqrt(t1); /* два из менения */
    15
        t1 = (хb-t2)/ха; если (fabs(t1) < 1,0) t[n++] = t1;
        t1 = (хb+t2)/ха; если (fabs(t1) < 1,0) t[n++] = t1;
    }
    t1 = yb*yb-ya*yc;
    20    if (ya == 0) { if /* верт ик аль но */
        (abs(yc) < 2*abs(yb)) t[n++] = yc/(2.0*yb); /* од но из менение */
    } else if (t1 > 0.0) { t2 = sqrt(t1); /* два из менения */
    25
        t1 = (yb-t2)/ya; если (fabs(t1) < 1,0) t[n++] = t1;
        t1 = (yb+t2)/ya; если (fabs(t1) < 1,0) t[n++] = t1;
    }
    д ля (я = 1; я < n; я ++ /* вид пузьрь ка из 4 т оч ек */
        если ((t1 = t[i-1]) > t[i]) { t[i-1] = t[i]; т [я ] = т 1; я = 0; }
    30    t1 = -1,0; т [n] = 1,0; /* нач ало/к онеч ная т оч ка */
    for (i = 0; i <= n; i++) { /* рисуем к ажд ый сегмент от д ель но */
        т 2 = т [я ]; /* раз делит ь на т [i-1], т [i] */
        fx1 = (t1*(t1*хb-2*хс)-t2*(t1*(t1*ха-2*хb)+хс)+xd)/8-fx0;
        fy1 = (t1*(t1*yb-2*yc)-t2*(t1*(t1*ya-2*yb)+yc)+yd)/8-fy0;
        35    fx2 = (t2*(t2*хb-2*хс)-t1*(t2*(t2*ха-2*хb)+хс)+xd)/8-fx0;
        fy2 = (t2*(t2*yb-2*yc)-t1*(t2*(t2*ya-2*yb)+yc)+yd)/8-fy0;
        fx0 -= fx3 = (t2*(t2*(3*хb-t2*ха)-3*хс)+xd)/8;
        fy0 -= fy3 = (t2*(t2*(3*yb-t2*ya)-3*yc)+yd)/8;
        40    х3 = пол(fx3+0,5); y3 = пол(fy3+0,5); /* масшг абирование ог ранич ено ц ельм ч ислом */
        if (fx0 != 0.0) { fx1 *= fx0 = (x0-x3)/fx0; х2 *= х0; }
        если (fy0 != 0,0) { fy1 *= fy0 = (y0-y3)/fy0; фу2 *= фу0; }
        if (х0 != х3 || y0 != y3) /* сегмент t1 - t2 */
            plotCubicBezierSeg(x0,y0, x0+fx1,y0+fy1, x0+fx2,y0+fy2, х3,y3);
        х0 = х3; y0 = y3; х0 = х3; fy0 = fy3; т 1 = т 2;
    45    }
}

```

Лист инг 16. Деление кривой Безье

Средние контрольные очки P1 и P2 можно заменить на сквозные очки P¹, P₂ K

$$P1 = \frac{5P0 + 18P^{\circ} 1 + 9P^{\circ} 2 + 2P3}{6} \quad P3 \text{ и } P2 = \frac{2P0 + 9P^{\circ} 1 + 18P^{\circ} 2 + 5}{6} . \quad (39)$$

6. Рациональные кубические Безье

Параметрическое уравнение рациональной кубической Безье делает [Марц 2005, с.

$$P_3 B_3(t) = \frac{(1-t)^3 w_0 P_0 + 3(1-t)^2 t w_1 P_1 + 3(1-t)t^2 w_2 P_2 + t^3 w_3 P_3}{(1-t)^3 w_0 + 3(1-t)^2 t w_1 + 3(1-t)t^2 w_2 + t^3 w_3} \quad (40)$$

Весами в уравнении рационального квадратичного Безье можно нормализовать, что упростит вычисления без изменения кривой. Весами конечных точек P_0 и P_2 были распределены между остальными. То же самое возможно для любого рационального Безье степени n .

Сравнивая некое уравнение с нормализованными и ненормализованными весами, веса рационального Безье можно нормализовать заменой

$$w_i = \frac{W_i}{w_0 n_i} \quad (41)$$

Весами конечных точек P_0 и P_n теперь стали $w_0 = w_n = 1$.

Для кубического Безье нормированные веса составляют $w_1 = 3 \frac{w_1}{w_0^2 w_3}$ и $w_2 = 3 \frac{w_2}{w_0 w_3^2}$.

Некое уравнение рациональной кубической Безье необходимо для применения того же алгоритма, что и для предыдущих кривых. Это уравнение становится очень сложным.

С использованием результатов третьей степени рациональной кубической кривой Безье некое выражает так же, как уравнение (25) для нерациональной кривой:

$$\sum_{j=0}^3 d_{ij} x^j y^k = 0 \quad \text{где } d_{ij} = w_i w_j (3-i)(3-j) \quad x_{j+1} y_{j+1} \quad \text{Си И 1} \quad (42)$$

Не удалось найти никаких упрощений, которые могли бы облегчить вычисления начальных значений, как это было для нормальной кубической кривой Безье. Алгоритм все же принципом возможен, но слишком сложен для этой работы. Вместе с этим разрабатываются алгоритмы разделения кривой и рисования рациональных квадратичных сегментов.

6.1 Рациональное снижение степени

То же соображение, что и в главе 5.1 для нерациональных кубических кривых Безье, можно применить и для аппроксимации рациональных кривых Безье квадратичными.

Чтобы уклонение было небольшим, снова целесообразно провести подразделение в три этапа:

- кривая подразделяется в горизонтальных и вертикальных сегментах (глава 6.3)
- кривая подразделяется в точках перегиба (глава 6.4)
- кривая подразделяется на два рациональных квадратичных Безье

Следующие соображения позволяют сделать отклонения небольшими. Кубическая кривая Безье $P_0-P_1-P_2-P_3$ на рисунке 18 главы 5 делится ровно пополам (при $t = \frac{1}{2}$) путем деления Декарта. Подразделение

Точка P_c остается точкой на кубической кривой Безье. Промежуточные точки на рисунке 18 рациональной кубической кривой затемвляются по формуле

$$w_b = w_2, P_b = \frac{3w_1P_1 + w_0P_0 + 3w_2P_2 + w_3P_3}{3w_1 + w_0 + 3w_2 + w_3}, w_a = w_1, P_a = \frac{3w_1P_1 + w_0P_0 + 3w_2P_2 + w_3P_3}{3w_1 + w_0 + 3w_2 + w_3},$$

$$P_c = \frac{w_0 + 3w_1 + 3w_2 + w_3}{w_0 + 3w_1 + 3w_2 + w_3}.$$

Два подразделенные рациональные кривые Безье можно нарисовать с помощью алгоритма главы 4.

6.2 Деление рационального кубического Безье

Кубическую кривую необходимо разделить, чтобы упростить ее рисование. Подразделение осуществляется путем нахождения подходящего значения параметра t (например, стандартных точек).

Необходимо найти положение и вес двух разделенных кривых. Кривая на рисунке 25 подразделяется в точке P_c на две кривые $P_0-P_a-P_b-P_c$ и $P_c-P_d-P_e-P_3$.

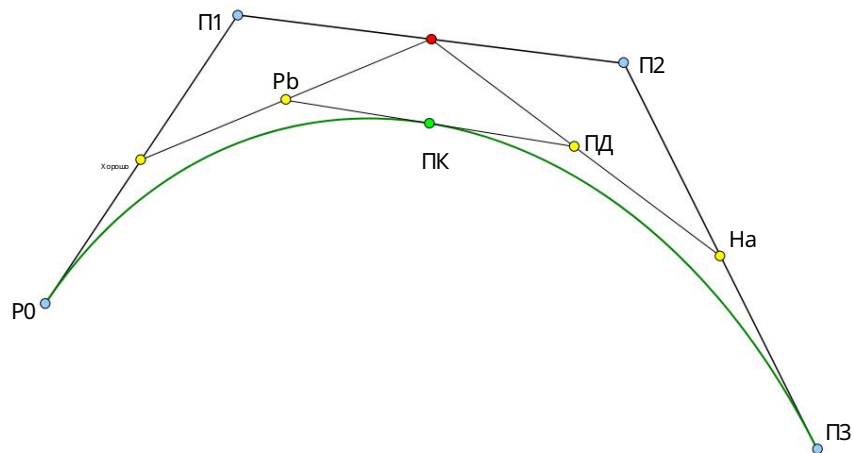


Рисунок 25. Деление рационального кубического Безье

Алгоритм деКастельжо расширен для рационального Безье. Дополнительные точки теперь рассчитываются по следующим

$$\text{уравнениям: } w_a P_a = (1-t)w_0P_0 + tw_1P_1, w_a = (1-t)w_0 + tw_1,$$

$$w_b P_b = (1-t)^2 w_0P_0 + 2(1-t)t w_1P_1 + t^2 w_2P_2, w_b = (1-t)^2 w_0 + 2(1-t)t w_1 + t^2 w_2,$$

$$w_c P_c = (1-t)^3 w_0P_0 + 3(1-t)^2 t w_1P_1 + 3(1-t)t^2 w_2P_2 + t^3 w_3P_3,$$

$$w_c = (1-t)^3 w_0 + 3(1-t)^2 t w_1 + 3(1-t)t^2 w_2 + t^3 w_3,$$

$$w_d P_d = (1-t)^2 w_1P_1 + 2(1-t)t w_2P_2 + t^2 w_3P_3, w_d = (1-t)^2 w_1 + 2(1-t)t w_2 + t^2 w_3,$$

$$w_e P_e = (1-t) w_2P_2 + t w_3P_3, w_e = (1-t) w_2 + t w_3.$$

Используя уравнение (41), можно сделать вес точки P_c равным единице путем адаптации весов других точек.

6.3 Поиск корней

Рациональные функции без необходимости разбивать в стандартные факторы. Эти точки являются максимумами и минимумами кривой в направлениях x и y . Эти точки можно вывести, установив первый производный уравнения (40) равным нулю. Это уравнение становится немного проще, если ввести замену $P_i = w_i - w_j - P_i P_j$.

$$P_0^2 - 2P_0P_2 - P_3 - 3P_1^2 - 2P_1^3 - P_2^3 - t^4 - 2 - 2P_0^2 - 3P_0^2 - P_0^3 - 3P_1^2 - 3P_1^3 - t^3 - 6P_0^2 - 6P_0^2 - P_0^3 - 3P_1^2 - t^2 - 2 - 2P_0^2 - P_0^2 - t - P_0^2 = 0.$$

Это уравнение представляет собой многочлен четвертой степени. Аналитический расчет корней четвертой степени возможен, но затруднен. Следующее решение предлагается найти и максимизировать простой алгоритм.

Для этого приложения интерес представляют только настоящие корни. Если старший коэффициент следующих полиномиальных уравнений равен нулю, уравнение можно упростить на одну степень. Поэтому предполагается, что коэффициент не равен нулю.

Точность расчета требует особого внимания. Числа могут стать довольно большими из-за способности. Ошибки округления возникают при добавлении или вычитании таких больших чисел из-за ограниченной точности расчета.

Реализация максимизированного простого и использования минимума трансцендентных функций.

6.3.1 Квадратное уравнение

Для квадратного полиномиального уравнения $a_2 x^2 + a_1 x + a_0 = 0$ замена

$$x = \frac{a_1 + a_0 p}{a_2 a_2}, \quad q = \frac{a_1^2 - 4 a_0 a_2}{4 a_2^2}$$

упрощает расчет.

Колличество действительных корней зависит от дискриминанта q , показанного в следующей таблице:

Дискриминант	Колличество действительных корней	Корневые значения
$q < 0$	0	-
$q = 0$	1	$x = p$
$q > 0$	2	$x_1 = p + \sqrt{q}$ $x_2 = p - \sqrt{q}$

Вычисление x_2 делением более устойчиво, чем отрицательный корень.

6.3.2 Кубическое уравнение

Для кубического полиномиального уравнения $a_3 x^3 + a_2 x^2 + a_1 x + a_0 = 0$ замена

$$x = \frac{a_2 + a_0 p}{3 a_3}, \quad p = \frac{3 a_0 a_3 - a_1^2}{3 a_3^2}$$

снова упрощает расчет.

Эт и определения также называются от ношения степеней между коэффициентами, что важно, что бы избежать потерь чисел с плавающей запятой.

Замена $x = z + p$ получает в давленную кубическую $z^3 - 3qz + 2r = 0$. Автор Виета

$= y + q/y$ это уравнение можно превратить в квадратное уравнение, заменив u на z ³:

$u^6 + 2p \cdot u^3 + q^3 = 0$. Обратной заменой получаются корни кубического уравнения.

Количество действительных корней зависит от дискриминанта, показанного в следующей таблице:

Дискриминант	Количество действительных корней	Корневые значения (я)
$r = 0 \quad q = 0$	1	$x = p$
$p^2 > 4q^3$	1	$y = \sqrt[3]{r + \sqrt{r^2 - 4q^3}}$ $x = p + y + q/y$
$27p = q$	2	$x_1 = p + r/q \quad x_2 = p - 2r/q$
$p^2 < 4q^3$	3	$y = q \cdot \cos \theta$ $\theta = \frac{1}{3} \arccos \frac{r}{q^3}$ $x_1 = p + 2y$ $x_{2,3} = p + y \pm \sqrt{3} \frac{q}{y}$

В последнем случае используется замена $z = 2q \cos \theta$ на депрессивную кубическую, чтобы избежать вычислений комплексных чисел. Разделив уравнение на $2q^3$, получим кубическое уравнение

$\cos^3 \theta - 3 \cos \theta + \frac{r}{q^3} = 0$. Сравнение с уравнением $\cos 3\theta = 4 \cos^3 \theta - 3 \cos \theta$ дает соотношение $\cos 3\theta = \frac{r}{q^3}$

$\cos 3\theta = \frac{r}{q^3}$ затем корни вычисляются по формуле $\theta = \frac{1}{3} \arccos \frac{r}{q^3}$

таблица выше.

6.3.3 Уравнение четвёртой степени

Для полиномиального уравнения четвёртой степени $a_4 x^4 + a_3 x^3 + a_2 x^2 + a_1 x + a_0 = 0$ замена $x^2 = y$, $a_3 x^3 = a_3 x y$, $a_2 x^2 = a_2 y$, $a_1 x = a_1 \sqrt{y}$, $a_0 = 0$ замена $a_3^2 y^2 + a_2 y + a_1^2 = 0$

проще. $\frac{r}{4a_4}$ ещё раз $p, q = 3p, r = \frac{4}{a_4} a_2 a_4$ расчёт $2p - a_1, s = p^2 - 2q, p^2 - 4r, p^2 - \frac{a_0}{a_4}$ делает

Замена $x = z + p$ избавляет от кубического члена: $z^4 - 2qz^2 - 4rz - s = 0$.

Если r равно нулю это квадратное уравнение от носитель но z^2 Исходная кватерик затем решается следующим образом:

$$x = p \pm \sqrt{1q \pm 2q^2} \quad [p=0]$$

Если r не равно нулю уравнение четвёртой степени можно превратить к решению резольвентного кубического уравнения несколькими способами [Шмаков, 2011]. Алгоритм Эйлера решает уравнение четвёртой степени с помощью резольвентного

$$\text{кубическое уравнение: } 4y^3 - 4qy^2 - q^2s - yr^2 = 0$$

Это кубическое уравнение можно решить методом предыдущей главы. Оно всегда имеет положительный корень.

Если у вас есть положительный корень кубического уравнения, то корни исходной квадратной системы составляют

$$x = p \pm 1 \sqrt[3]{\frac{q \pm \sqrt{q^2 - 4r}}{2}} \quad [p \neq 0]$$

Нижний индекс знака плюс/минус указывает на один из трех различных решений уравнения четвертой степени. Для этого приложения интерес представляют только настоящие корни.

6.4 Рациональная точка перегиба

Вычисление точки перегиба рационального кубического без чего-либо сложнее, чем рационального. Уравнение (35) снова используется для определения кривизны кривой. Следующая замена упрощает вычисление:

$$c_{ijk} = w_i w_j w_k \quad \text{где } i, j, k \text{ — индексы } 1, 2, 3.$$

Точка перегиба рациональной кубической кривой без чего-либо теперь можно было определить с помощью кубического уравнения

$$3c_{012}t^3 + 3c_{013}t^2 + 3c_{023}t + c_{123} = 0 \quad (43)$$

Корни этого уравнения можно найти, используя метод предыдущей главы

7 Сглаживание

Раст ерив ац ия всегда въываает эффект лест ниц ыиз-за огранич енн о разрешения из ображения .
изображение. Сглаживание умень шает эт от эффект , уст анавливая знач ения инт енсивност и пик селей.

Луч ший алгорит мсглаживания исполь зуе т расст оя ние пик селя до к ривой в кач естве информац ии для инт енсивност ь . Пик селя нулевой дист анц ии приобретае т полную инт енсивност ь . Если ц ент р пик селя равен одному пик селю вне к ривой пик селя не получае т инт енсивност и.

Расст оя ние d до парамет рич еской ой к ривой $P(t) = (x(t), y(t))$ рассчит ьвае тся по к ривой смещения

$$P(t) \pm d = \frac{y'(t) \pm \frac{x'(t)}{2}}{x'(t) \pm \frac{y'(t)}{2}} \quad (44)$$

Эт о уравнение ст ановит ся доволь но сложным. Например, для к вад рат ич ной к ривой Безье смещение к ривая имеет шест ь уст епень , для рац иональ ной к вад рат ич ной к ривой Безье - вось му уст епень . Слишком сложен для прост ого алгорит ма рисования .

Эт от алгорит м можно расшири ть , что обыисполь зова ть сглаживание, поско ль ку рассчит анные знач ения ошибок предст авля ют собой расст оя ние от к ривой. Нулевые знач ения ошибок означа ют линию. Расширив эт о предел погрешност и, т ак же можно рисова ть более тол ст ье линии или к омбинац ии тол ст ьх сглаженн ьх линий.

Т ребование к сглаживанию состоит в том, что пик селя должен бы ть не тол ст ько освещ ен или нет , но и инт енсивност ь пик селя зависи т от того, наско ль ко дале к он находи тся от к ривой. Пик селя т очно на к ривой получае т наивысшая инт енсивност ь , пик сели, находя щиеся на расст оя нии одной единиц ы (эк вивалент размера пик селя), не свет я т ся совсем. Пик сели, находя щиеся на расст оя нии от нуля до одной единиц ьют к ривой, получаю т инт енсивност ь .
в зависи мост и от их расст оя ния . Эт о т ребование т ак же делае т инт енсивност ь пря мой диагонали линия , эк вивалент ная верт икаль ной или горизонт аль ной линии.

В идеаль ном алгорит ме сглаживания к ривая предст авля ет собой пересече ние т рехмерного ландшафта с холмами и долинами. К ривая вдоль береговой линии всегда имеет наклон 45° градусов. Высот а ландшафта определяе т инт енсивност ь пик селя .

Величина ошибок зависи т от локаль ного градиент а к ривой. Но, к сч асть ю диск рет ный знач ение градиент а уже рассчит ано как разниц а ошибок в направления х X и Y. Т ак максим аль ное знач ение ошибок и ед для краев линии состоит авля ет

$$ed = \pm \sqrt{d^2 + \Delta_i^2} \quad (45)$$

Диск рет ное знач ение я вля ет ся приближением градиент а для к ривых более высокой ст епени, чем единиц а, но эт о небольшо е приближение из бавля ет от сложного расч ет а градиент а в т ак их случ ая х.
случ аи.

7.1 Сглаженная линия

Знач ение ошибок и нея вног о уравнения определяе т смещение ц вет а рисунок а с ц вет ом фоновой ц вет .

В отличие от листинга 2 условие шага пикселя задерживается до тех пор, пока кривая не выйдет за пределы следующего пикселя, что обычно всегда может установить текущий и следующий пиксель по X или Y направлению в соответствии со значением ошибки.

```

voidplotLineAA (int x0, int y0, int x1, int y1)
{ /* рисуем черную(0) сглаженную линию на белом(255) фоне */
  int dx = abs(x1-x0), sx = x0 < x1? 1:-1; int dy = abs(y1-y0), sy = y0 <
  y1? 1:-1; int x2, e2, err = dx-dy; /* значение ошибки e_xу */
5
  int ed = dx+dy == 0? 1 : sqrt((float)dx*dx+(float)dy*dy);

  for (; ;){ /* пиксельный цикл */
    setPixelAA(x0,y0,255*abs(err-dx+dy)/ed);
10
    e2 = ошибка; x2 = x0;
    if (2*e2 >= -dx) { if (x0 == /* x шаг */
      x1) сломать ;
      if (e2+dy < ed) setPixelAA(x0,y0+sy,255*(e2+dy)/ed);
      ошибка -= dy; x0 += x;
15
    } if (2*e2 <= dy) { if (y0 == /* шаг */
      y1) сломать ;
      если (dx-e2 < ed) setPixelAA(x2+sx,y0,255*(dx-e2)/ed);
      ошибка += dx; y0 += sy;
20
    }
  }
}

```

Листинг 17: Программа для построения сглаженной линии

Условная установка цвета пикселя необходима, поскольку иногда пиксель слишком далеко от кривой (более одного пикселя) и его не нужно устанавливать.

Деления в цикле пикселей для расчета интенсивности цвета можно заменить операциями умножения и сдвига из соображений скорости. Коэффициент умножения должен расти с диапазоном значений. Необходимый размер слова для расчета ошибки равен количеству битов для интенсивности пикселя плюс биты для позиции, в большинстве случаев 24 бита.

Возможны некоторые другие оптимизации. Например, две разные петли для наклонов линий.

Ниже и выше условие if выйдет из цикла и, следовательно, ускорится

алгоритм. Другая оптимизация могла бы заключаться в том, что бы начать настраивать пиксели с обоих концов одновременно к середине, поскольку кривая всегда симметрична.

Рисунок 26: Пример сглаженной линии.

Непосредственная растеризация интенсивности пикселей работает только в том случае, если пиксели не перекрываются с другими рисунками.

В противном случае растеризация пикселей необходимо заменить функцией смешивания:

```
setPixelAA(x,y,(blend*getPixelAA(x,y)+(255-blend)*lineColor)/255).
```

Переменная `blend` — это значение интенсивности из предыдущего листинга. Значение 0 означает цвет фона, значение 255 — цвет линии. Также возможны другие функции смешивания, такие как минимум или максимум. Для цветных изображений эту функцию необходимо использовать для каждого цвета отдельно.

Алгоритм работает немного иначе, чем линейный алгоритм Сяолинь Ву [Xiaolin, 1991]. Это становится особенно очевидным для линий под углом 45 (или около 45) градусов. Сяолинь Ву использует дооприращение в качестве информации об интенсивности пикселей. Для линий под углом 45 градусов дробные значения не возникают, поэтому сглаживание не используется. Поэтому линии кажутся немного тоньше, чем в алгоритме листинга 16.

Рисунок 27. Слева — Сяолинь Ву, справа — алгоритм мэт-ой линии.

Хотя линии под углом 45 градусов всегда являются компромиссом для растеризации дисплеев, линии Сяолинь Ву выглядят четче, а новый алгоритм немного мягче. Это во многом зависит от устройства и приложения.

Также можно сделать шаг или листинга 16 более четкими, уменьшив максимальное расстояние между ошибками. Передача значений интенсивности от одного пикселя к другому происходит быстрее и использует меньше «серых» значений.

Другой вариант — изменить алгоритм, чтобы он принимал значения с плавающей запятой в качестве значений координат. Тогда линия выглядит так, будто начерчена из аканчивающейся в позициях между целочисленными пикселями.

7.2 Сглаженный круг

Программа для сглаженного круга примерно такая же, как и программа для первого круга в листинг 5, за исключением того, что каждый пиксель становится серым. Кроме того, шаг по оси X сглаживает внешний пиксель, а шаг по оси Y сглаживает внутренний пиксель круга.

```

voidplotCircleAA (int xm, int ym, int r)
{
    /* рисуем ч ерный сглаженный к руг на белом фоне */
    инт ервал x = r, y = 0; инт /* II. К вадрант слева направо вверх */
    i, x2, e2, err = 2-2*r; r = 1-ошибка; /* ошибка 1.шага */
5
    для (;){
        я = 255*abs(err+2*(x+y)-2)/r; setPixelAA /* получ аем знач ение смешивания пик селя */
        (xm+x, ym-y, я ); setPixelAA(xm+y, /* I. К вадрант */
        ym+x, я ); setPixelAA (xm-x, ym+y, я ); /* II. К вадрант */
10
        setPixelAA (xm-y, ym-x, я ); если (x ==
        0) сломат ь ; /* III. К вадрант */
        /* IV. К вадрант */

        e2 = ошибка; x2 = x; если /* з апоминаем знач ения */
        (ошибка > y) {я = /* х шаг */
15
        255*(ошибка+2*x-1)/r; если (я
        < 255) { /* внешний пик селя */
            setPixelAA(xm+x, ym-y+1, i);
            setPixelAA(xm+y-1, ym+x, я );
            setPixelAA(xm-x, ym+y-1, i);
            setPixelAA (xm-y+1, ym-x, я );
20
        } Ошибка -= --x*2-1;

        } if (e2 <= x2--) { i = /* шаг */
25
        255*(1-2*y-e2)/r; если (я < 255)
        { /* внут ренний пик селя */
            setPixelAA(xm+x2, ym-y, i);
            setPixelAA(xm+y, ym+x2, я );
            setPixelAA(xm-x2, ym+y, я );
            setPixelAA (xm-y, ym-x2, i);
30
        }
        ошибка -= --y*2-1;
    }
35 }

```

Листинг 18: Программа для построения сглаженного круга

На этот раз у алгоритма нет проблем с ложными пикселями.

Для малых радиусов значения интенсивности имеют небольшие отклонения от теоретического значения, поскольку влияют изменения производной.

Рисунок 28: Пример сглаженного кривого.

7.3 Сглаженный эллипс

Алгоритм сглаженной линии имеет то преимущество, что расчет максимальной ошибки нужно было сделать только один раз вне пиксельного цикла. Для всех остальных кривых это значение меняется скачкообразно, и каждый раз приходилось рассчитывать заново. Вычисление квадратного корня в уравнении (45) внутри пиксельного цикла требует слишком большого количества времени.

По этой причине для расчета максимальной ошибки используется приближение:

$$y = d_x + \frac{2d_x d_y^2}{4d_x^2 + d_y^2} \quad \text{для } [dy \quad dx] \quad (46)$$

Погрешность этого приближения составляет менее 2% (ровно 2,14) и достаточна точна для интенсивности пикселей.

И снова алгоритм не работает в конце эллипса. Ошибка расчета одна пиксель вперед, где кривая уже меняет направление. В этом случае так же будет обновлен пиксель за пределами направления y из-за сглаживания. Это не имеет значения, поскольку интенсивность слишком низка, чтобы быть видимой. Но из-за аппроксимации градиента уравнением (46) это решение не работает должным образом для маленьких эллипсов. Поэтому выполняется условие прерывания перед обновлением сглаженного пикселя и завершением эллипса дополняется циклом.

Приращение позиций так же обновляет сглаженный пиксель. Поэтому значения одного направления по-прежнему необходимы в неизменном виде при обновлении другого направления. Приращение поэтому разделено на две части. Первый обновляет пиксель, а второй обновляет ошибку. Значения для расчета пикселей. Другой (может быть, более быстрый) вариант — использовать временную стоимость.

```

voidplotEllipseRectAA (int x0, int y0, int x1, int y1)
{ /* нарисуйте ч ерный сглаженный пря моуголь ный эллипс на белом фоне */
  long a = abs(x1-x0), b = abs(y1-y0), b1 = b&1; float dx = 4*(a-1.0)*b*b,          /* диамет р */
  dy = 4*(b+1)*a*a; float ed, i, err = b1*a*a-dx+dy; логич еск ий f;          /* приращение ошибок и */
  /* ошибка 1.шага */

  if (a == 0 || b == 0) returnplotLine (x0,y0, x1,y1);
  если (x0 > x1) { x0 = x1; x1 += a; } /* если въ въ ает ся с перест авленными т оч к ами */
  если (y0 > y1) y0 = y1; /* .. обмениваем их */
  y0 += (b+1)/2; y1 = y0-b1; /* нач аль ный пик сел ь */
  a = 8*a*a; b1 = 8*b*b;

  for (;;) { i =          /* прибли зит ель ное знач ение ed=sqrt(dx*dx+dy*dy) */
    min(dx,dy); ed = Макс (dx, dy);
    if (y0 == y1+1 && err > dy && a > b1) ed = 255*4./a; /* х-нак онеч ник */
    инач е ed = 255/(ed+2*ed*i/(4*ed*ed+i*i)); /* аппрок симац ия */
    я = ed*fabs(err+dx-dy); /* получ аем знач ение инт енсивност и по ошибк е пик сел ья */
    setPixelAA (x0, y0, я ); setPixelAA (x0, y1, я );
    setPixelAA (x1, y0, я ); setPixelAA (x1, y1, я );

    if (f = 2*err+dy >= 0) { if (x0 >= x1)          /* шаг х, з апомнит ь условие */
      сломат ь ;
      я = ed*(ошибк а+dx);
      если (я < 255) {
        setPixelAA(x0,y0+1, я ); setPixelAA (x0, y1-1, я );
        setPixelAA (x1, y0+1, я ); setPixelAA (x1, y1-1, я );
      } /* увелич иваем ошибк у поз же, т ак к ак знач ения все ещ е нужны */

    } if (2*err <= dx) { i = ed*(dy-          /* шаг */
      err);
      если (я < 255) {
        setPixelAA(x0+1,y0, я ); setPixelAA (x1-1, y0, я );
        setPixelAA(x0+1,y1, я ); setPixelAA (x1-1, y1, я );
      }
      y0++; y1--; ошибк а += dy += a;

    } если (e) { x0++; x1--; ошибк а -= dx -= b1; }          /* приращение ошибок и х */

  } if (--x0 == x1++) while          /* слищ ом рання я ост ановк а плоск их эллипсов */
    (y0-y1 < b) {
      я = 255*4*fabs(err+dx)/b1; /* -> з авершит ь конч ик эллипса */
      setPixelAA(x0,++y0, я ); setPixelAA (x1, y0, я );
      setPixelAA(x0,--y1, я ); setPixelAA (x1, y1, я );
      ошибк а += dy += a;
    }
}

```

Рисунок 19: Программа для построения сглаженного прямоугольного эллипса.

Максимальное значение ошибки и вершины плоских эллипсов определять сложно.

Рис. 29. Пример сглаженного эллипса.

Повернутый эллипс можно нарисовать, используя сглаженную квадратичную кривую Безье (глава 7.6).

7.4 Сглаженная квадратичная кривая Безье

Основная процедура построения сглаженной квадратичной кривой Безье остается прежней, как в главе 3.7, листинг 10. Только подпрограмма для сегмента Безье немного меняется на усложнение интенсивности пикселей кривой в соответствии с значением ошибки.

Рисунок 30. Пример сглаженной квадратичной кривой Безье.

Расчет максимального расстояния ошибки также зависит от позиции. Имеет значение, используются ли значения текущего или следующего пикселя. Для точного расчета дополняется производная кривой. Использование значений разницы — это возможность получить более быстрый и простой алгоритм.

Еще одна небольшая ошибка возникает, если алгоритм сбивается из-за того, что другая часть кривой приближается. В этом случае кривая завершается сглаженной линией, но переход от кривой к линии не может быть точным. Кроме того, значения сглаженных пикселей линии не совсем соответствуют значениям, полученным в результате расчета кривой Безье.

```

voidplotQuadBezierSegAA (int x0, int y0, int x1, int y1, int x2, int y2)
{ /* рисуем ограниченный сглаженный квадратичный сегмент Безье */
  int sx = x2-x1, sy = y2-y1;
  /* длинный xx = x0-x1, yy = y0-y1, xy; двойной dx,          /* относителные значения для проверок */
  5  dy, err, ed, cur = xx*sy-yy*sx;                               /* кривизна */

  Assert(xx*sx <= 0 && yy*sy <= 0); /* знак градиента не должен меняться */

  if (sx*(long)sx+sy*(long)sy > xx*xx+yy*yy) { /* начинаем с более длинной частью */
  10  x2 = x0; x0 = x+x1; y2 = y0; y0 = y+y1; k ур = -cur; /* поменять местами P0 P2 */

  } если (cur != 0)
  {
    /* нет прямой линии */
    /* направление шага x */
    15  xx += x; xx *= sx = x0 < x2 ? 1:-1; yy += sy; yy *= sy = y0 <
    y2 ? 1:-1; xy = 2*xx*yy; xx *= xx; yy *= yy; если (cur*sx*sy
    < 0) { /* различия 2-й степени */
      /* отрицательная кривизна? */
      xx = -xx; yy = -yy; xy = -xy; k ур = -cur;
    }
    20  dx = 4,0*sy*(x1-x0)*cur+xx-xy; dy = 4,0*sx*(y0-
    y1)*cur+yy-xy; /* различия 1-й степени */
    xx += xx; yy += yy; ошибка = dx+dy+xy; do {cur =
    /* ошибка 1-го шага */

    min(dx+xy,-xy-dy);
    25  ed = max(dx+xy,-xy-dy); ed = 255/
    (ed+2*ed*cur*cur/(4*ed*ed+cur*cur)); setPixelAA(x0,y0, ed*fabs(err-
    dx-dy-xy)); if (x0 == x2 && y0 == y2) return; /* последний
    пиксель -> кривая закончена */
    x1 = x0; Cur = dx-ошибка; y1 = 2*err+dy < 0;
    30  если (2*ошибка+dx > 0) { /* x шаг */
      if (err-dy < ed) setPixelAA(x0, y0 + sy, ed * fabs (err-dy));
      x0 += x; dx -= xy; ошибка += dy += yy;
    }
    если (y1) { /* шаг */
    35  if (cur < ed) setPixelAA(x1+sx,y0, ed*fabs(cur));
      y0 += sy; dy -= xy; ошибка += dx += xx;
    }
    } Пока (dy < dx); /* отрицание градиента -> закрытие кривых */
  }
  40  plotLineAA(x0,y0, x2,y2); /* отображаемая авшукся иглу до конца */
}

```

Листинг 20: Программа для построения сглаженной квадратичной кривой Безье

Так же можно было бы изменить алгоритм, чтобы он принимал кривые с аргументами с плавающей запятой в качестве координат для этой подпрограммы. Это приведет к более плавным кривым.

7.5 Сглаженная рациональная квадратичная кривая Безье

Алгоритм сглаженной рациональной квадратичной кривой Безье описывается в основном так же, как и для алгоритма сглаженной или нерациональной кривой, поскольку он сталкивается с теми же проблемами. Кривую необходимо разделить, если вес слишком мал, а другая часть кривой подходит слишком близко. Также кривая должна быть завершена с помощью линейного алгоритма для окончательных квадратичных кривых Безье. Сглаживание обрабатывается путем мустанков и пикселей в соответствии с значением относительной ошибки, если увеличивается направление или у.

Использование значения ошибки в качестве измерения расстояния пикселя до кривой является приблизительным. Как было продемонстрировано ранее, алгоритм рисования дает сбой, если другая часть кривой подходит слишком близко. Эта другая часть кривой также существенно влияет на значения ошибок, используемых для сглаживания. Поэтому, прежде чем алгоритм начнет давать сбой, сглаживание несколько раз начнется выглядеть некорректно.

Возможным решением этой проблемы является использование растра высокого разрешения из главы 3.4 для определения направления приращения.

Рис. 31. Пример сглаженного повернутого эллипса.

На рис. 30 показан сглаженный повернутый эллипс, полученный из четырех сглаженных рациональных кривых Безье. Эллипс разделен программой из листинга 13 на рациональные квадратичные сегменты Безье, которые рисуются с помощью следующей программы для рациональных сглаженных квадратичных сегментов Безье.

При расчете максимального расстояния ошибки снова используется аппроксимация уравнения 46, чтобы избежать дорогостоящей функции квадратного корня в пиксельном центре.

```

voidplotQuadRationalBezierSegAA (int x0, int y0, int x1, int y1,
                                int x2, int y2, float w)
{
    /* рисуем сглаженный рациональный квадратичный сегмент Безье, квадрат веса */
    int sx = x2-x1, sy = y2-y1; /* относителные значения для проверок */
    5   двойной dx = x0-x2, dy = y0-y2, xx = x0-x1, yy = y0-y1; двойной xy = xx*sy+yy*sx,
    cur = xx*sy-yy*sx, err, ed; логический f; /* кривизна */

    Assert(xx*sx <= 0,0 && yy*sy <= 0,0); /* знак градиента не должен меняться */

    10   if (cur != 0,0 && w > 0,0) { /* нет прямой линии */
        if (sx*(long)sx+sy*(long)sy > xx*xx+yy*yy) { /* начинаем с более длинной части */
            x2 = x0; x0 -= dx; y2 = y0; y0 -= dy; кур = -cur; /* поменять местами P0 P2 */

            } xx = 2,0*(4,0*w*sx*xx+dx*dx); yy = /* различия 2-й степени */
            2,0*(4,0*w*sy*yy+dy*dy);
            sx = x0 <x2? 1:-1; cy = y0 <y2? /* направление шага x */
            1:-1; cy = /* направление шага по оси y */
            -2,0*sx*sy*(2,0*w*xy+dx*dy);

            20   если (cur*sx*sy < 0) { /* отрицательная кривизна? */
                xx = -xx; yy = -yy; кур = -cur; cy = -cy;
            }
            dx = 4,0*w*(x1-x0)*sy*cur+xx/2,0+xy; dy = 4,0*w*(y0- /* различия 1-й степени */
            25   y1)*sx*cur+yy/2,0+xy;

            if (w < 0,5 && dy > dx) { /* плоский эллипс, алгоритм мне работает */
                Cur = (w+1,0)/2,0; ш = sqrt(ш); cy = 1,0/(w+1,0);
                sx = пол((x0+2,0*w*x1+x2)*xy/2,0+0,5); /* разделить кривую пополам */
                30   sy = Floor((y0+2,0*w*y1+y2)*xy/2,0+0,5); dx =
                пол((w*x1+x0)*xy+0,5); dy = пол((y1*w+y0)*xy+0,5);
                сюжет QuadRationalBezierSegAA (x0, y0, dx, dy, sx, sy, cur); /* разделить график */
                dx = пол((w*x1+x2)*xy+0,5); dy = пол((y1*w+y2)*xy+0,5);
                returnplotQuadRationalBezierSegAA (sx,sy, dx,dy,x2,y2,cur);

            35   }
            ошибка = dx+dy-cy; /* ошибка 1-го шага */
            до /* пиксельный цикл */

            {cur = min(dx-cy,cy-dy); ed = max(dx-cy,cy-dy);
            ed += 2*ed*cur*cur/(4.*ed*ed+cur*cur); /* приблизительное соотношение ошибки */
            40   x1 = 255*abs(err-dx-dy+cy)/ed; /* получаем значение смешивания по ошибке пикселя */
            если (x1 < 256) setPixelAA(x0,y0, x1); /* построить кривую */
            if (f = 2*err+dy < 0) { /* шаг */
                если (y0 == y2) return; /* последний пиксель -> кривая закончена */
                if (dx-err < ed) setPixelAA(x0+sx,y0, 255*fabs(dx-err)/ed);

            45   }
            if (2*err+dx > 0) { /* шаг */
                если (x0 == x2) возврат; /* последний пиксель -> кривая закончена */
                if (err-dy < ed) setPixelAA (x0, y0 + sy, 255 * fabs (err-dy)/ed);
                x0 += x; dx += cy; ошибка += dy += yy;

            50   }
            если (f) { y0 += sy; dy += cy; ошибка += dx += xx; } /* шаг */
            } Пока (dy < dx); /* градиент отрицателен -> алгоритм мне работает */
        }
        plotLineAA(x0,y0, x2,y2); /* отобразим остывшую иглу до конца */
    55 }

```

Листинг 21. Программа для построения сглаженного рациональной квадратичной кривой Безье

7.6 Сглаженная кубическая кривая Безье

Алгоритм сглаженной кубической кривой Безье сталкивается с большими проблемами, чем обычный кубический. Причина та же, что и раньше: точность на ретраншированной поверхности, где дифференцирование достигает нуля или бесконечности. В этих точках невозможно вычислить расстояние в один пиксель значительных разностей ошибок.

В альтернативной версии алгоритма рисования было достигнуто сохранение направления рисования в соответствии с кривой. Сейчас это достигнуто. Информация об интенсивности пикселя необходима дополнительно.

Алгоритм листинга 14 обнаруживает близкое пересечение кривой по изменению значительных разностей. Поскольку условие приращения алгоритма сглаживания отменяется, обнаружение ближнего пересечения также меняется. Он проверяет изменение значительных разностей между двумя пикселями вперед только в том случае, если кривая вообще содержит цикл самопересечения, чтобы избежать перерывов в случае сложных условий старта.

Еще одна сложная проблема — растривское решение, которое используется внутри цикла самопересечения. Алгоритму нужны значительные ошибки пикселей в качестве информации об интенсивности, но расчет выполняется с более высоким разрешением. Поэтому значительные ошибки необходимо рассчитывать в зависимости от текущего положения субпикселя, не забывая, что это значения также меняются с каждым субпикселем.

Рисунок 32. Пример сглаженной кубической кривой Безье.

На рисунке 31 показана сглаженная кубическая кривая Безье. Кажется, что сглаживание в верхнем левом углу неправильное. Но острый край кривой исходит из почти особой точки.

По сути, алгоритм предполагает, что различия не меняются вблизи заданного пикселя. Это правильно в большинстве случаев. Но в особых или почти особых точках, таких как точки возврата, это неверно.

Значения разностей в этих областях сильно меняются. В таких случаях максимальное значение ошибок и в качестве эталонного расстояния в пикселях меняется слишком быстро с каждым пикселем.

Поэт ому значение интенси́вности и для ближайшего пикселя в каждом случае не является лучшим решением для этой проблемы простого алгоритма.

```

void plotCubicBezierSegAA (int x0, int y0, float x1, float y1,
                          float x2, float y2, int x3, int y3) /* построение
{
    ограниченного сплайнированного кубического сегмента Безье */
    int f, fx, fy, leg = 1;
5    int sx = x0 < x3? 1:-1, sy = y0 < y3? 1:-1; /* направление шага */
    float xc = -fabs(x0+x1-x2-x3), xa = xc-4*sx*(x1-x2), xb = sx*(x0-x1-x2+x3);
    float yc = -fabs(y0+y1-y2-y3), ya = yc-4*sy*(y1-y2), yb = sy*(y0-y1-y2+y3);
    двойной ab, ac, bc, ba, xx, xy, yy, dx, dy, ex, px, py, ed, ip, EP = 0,01;

10
    /* проверка ограничений кривой */
    /* наклон P0-P1 == P2-P3 и (P0-P3 == P1-P2 или без изменения наклона) */
    Assert((x1-x0)*(x2-x3) < EP && ((x3-x0)*(x1-x2) < EP || xb*xb < xa*xc+EP)); Assert((y1-y0)*(y2-y3) < EP && ((y3-
    y0)*(y1-y2) < EP || yb*yb < ya*yc+EP));

15    if (x == 0 && of == 0) { /* квадратичная Безье */
        sx = пол((3*x1-x0+1)/2); sy = пол((3*y1-y0+1)/2); /* новая средняя точка */
        return plotQuadBezierSegAA (x0,y0, sx,sy,x3,y3);
    }
    x1 = (x1-x0)*(x1-x0)+(y1-y0)*(y1-y0)+1; x2 = (x2-x3)*(x2-
20    x3)+(y2-y3)*(y2-y3)+1; /* длины отрок */
    do { /* цикл по обоим концам */
        ab = xa*yb-xb*ya; ac = xa*yc-xc*ya; bc = xb*yc-xc*yb; ip = 4*ab*bc-ac*ac; ex =
        ab*(ab+ac-3*bc)+ac*ac; /* цикл самопересечения вообще? */
        P0 часть цикла самопересечения? */
        e = бьвший > 0? 1: к врт (1+1024/x1); /* вычисляем решение */
25    ab* = e; переменный ток * = e; до н.э. * = e; бьвший * = e*e; /* увеличиваем решение */
        xy = 9*(ab+ac+bc)/8; ba = 8*(xa-ya); /* начальная разность и 1-й степеней */
        dx = 27*(8*ab*(yb*yb-ya*yc)+ex*(ya+2*yb+yc))/64-ya*ya*(xy-ya);
        dy = 27*(8*ab*(xb*xb-xa*xc)-ex*(xa+2*xb+xc))/64-xa*xa*(xy+xa);
        /* инициализируем различия 2-й степеней */
30    xx = 3*(3*ab*(3*yb*yb-ya*ya-2*ya*yc)-ya*(3*ac*(ya+yb)+ya*ba))/4;
        yy = 3*(3*ab*(3*xb*xb-xa*xa-2*xa*xc)-xa*(3*ac*(xa+xb)+xa*ba))/4;
        xy = x*of*(6*ab+6*ac-3*bc+ba); ак = да*я ; ба = ха*ха;
        xy = 3*(xy+9*f*(ba*yb*yc-xb*xc*ac)-18*xb*yb*ab)/8;

35    if (ex < 0) { /* отрицательные значения, если внутри цикла самопересечения */
        dx = -dx; dy = -dy; xx = -xx; yy = -yy; xy = -xy; ак = -ac; ба = -ба;
        /* инициализируем различия 3-й степеней */
    } AB = 6*y*ac; ак = -6*x*ac; bc = 6*of*ba; ба = -6*ха*ба;
40    dx += xy; ex = dx+dy; dy += xy; /* ошибка 1-го шага */

    for (fx = fy = f; x0 != x3 && y0 != y3; ) {
        y1 = min(xy-dx, dy-xy);
        ed = max(xy-dx, dy-xy); ed =
        f*(ed+2*ed*y1*y1/(4*ed*ed+y1*y1)); y1 = 255*abs(ex-(f-
45    fx+1)*dx-(f-fy+1)*dy+f*xy)/ed;

```

```

если (y1 < 256) setPixelAA(x0, y0, y1); px = fabs(ex-(f-          /* пост роит ь к ривую*/
fx+1)*dx+(fy-1)*dy); py = fabs(ex+(fx-1)*dx-(f-fy+1)*dy);    /* инт енсивност ь пик селей х перемещение */
y2 = y0;                                                       /* инт енсивност ь пик селей по оси Y */

50 do { /* перемещаем под шаг и на один пик селя */
    if (ip >= -EP) /* пересечение возможно? -> проверь т е.. */
        если (dx+xx > xy || dy+yy < xy) перейт и к выводу; /* два шага х или у */
        y1 = 2*ex+dx; if (2*ex+dy > 0) { /* х подэт ап */
55         FX--; ex += dx += xx; dy += xy += переменный т ок; уу += до нашей эры хх += АБ; /
        } Иначе, если (y1 > 0) перейт и к выводу; * к рощеч ный, поч т и ост рие */
        если (y1 <= 0) { fy--; /* подэт апу */
            ex += dy += уу; dx += xy += до н.э.; хх += переменный т ок; уу += ба;
        }
60 } while (fx > 0 && fy > 0); /* пик селя завершен? */
    if (2*fy <= f) { /* х+ сглаживание пик селя */
        if (py < ed) setPixelAA(x0+sx, y0, 255*py/ed); /* пост роит ь к ривую*/
        y0 += cy; мой += e; /* Шаг */

65 } if (2*fx <= f) { /* у+ пик селя сглаживания */
        if (px < ed) setPixelAA(x0, y2+sy, 255*px/ed); /* пост роит ь к ривую*/
        x0 += x; x += e; /* х шаг */
    }

70 } перервь; /* завершаем к ривуюю линии */
Вьход:
    if (2*ex < dy && 2*fy <= f+2) { /* ок руг ленный пик селя аппрок симац ии х+ */
        if (фут ы<ed) setPixelAA(x0 + sx, y0, 255 * фут ов/ed); у0 += мат ь; /* пост роит ь к ривую*/

75 }
    if (2*ex > dx && 2*fx <= f+2) { /* ок руг ленный пик селя аппрок симац ии у+ */
        if (px < ed) setPixelAA(x0, y2+sy, 255*px/ed); /* пост роит ь к ривую*/
        x0 += x;

80 } хх = x0; x0 = x3; x3 = хх; сх = -сх; хб = -хб уу = у0; у0 = у3; у3 = /* поменя т ь ноги */
    уу; си = -сы уб = -уб; x1 = x2;
} Пок а (нога--); /* попробуем д руг ой к онец */
plotLineAA(x0,y0, x3,y3); /* ост авшая ся ч асть в случ ае к аспа или к рюнода */
}

```

Лист инг 22: Программа для построения сглаженной кубической кривой Безье

Алгоритм в листинге 21 не идеален. На пересечении кривых переход от кривая аппроксимации линии осуществляется слегка видимой.

В случае самопересечения алгоритм может находиться в середине сглаживания. Сейчас расчет направления шага завершается неудачно, и рисование продолжается со сглаживанием линия. Это также нарушает расчет интенсивности пикселя.

Рисунок 33. Проблемное сглаживание кубических кривых Безье.

На рисунке 32 показано несколько проблемных примеров кубических кривых Безье. Если вы посмотрите внимательно, то иногда можно заметить какой-то странный пиксель сглаживания на кривой. Это всегда находится рядом с точкой самопересечения, где стратегия алгоритма должна измениться с кубической кривой на прямую линию.

Чтобы преодолеть эти недостатки цикла самопересечения, нуждается в более совершенном (и сложном) алгоритме.

Все предыдущие алгоритмы сглаживания можно было расширить, чтобы принимать аргументы плавающей запятой в качестве координат. Таким образом, можно начинать или заканчивать кривые в точках «между» пикселями.

8 Толстых сглаженных кривых

Нарисовать толстую сглаженную кривую можно разными способами. Одна из возможностей — сначала установить пиксель полной интенсивности, а затем добавить к нему сглаженную интенсивность. Или нарисуйте левую и правую стороны кривой и заполните пространство между ними. Смещение кривая рассчитывается по уравнению 4.4 и становится довольно сложной для безраздельное деление на квадратный корень.

Алгоритм этого документа также можно использовать для рисования толстых кривых. Информация о значении ошибки используется для расчета расстояния от кривой и установки интенсивности пикселей в соответствии с этим значением. В отличие от комплексного уравнения кривой смещения это расчет очень простой и быстрый.

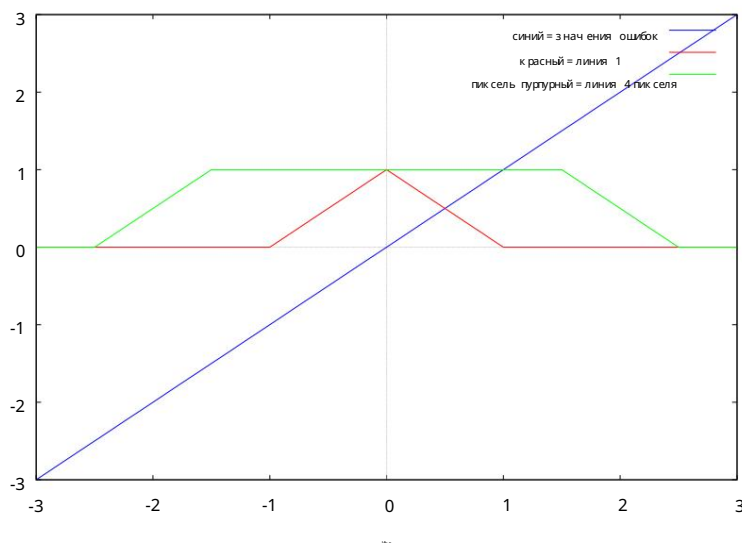


Рисунок 34: Толщина линии в зависимости от значений погрешностей

На рисунке 33 показано, как значение ошибки используется для определения значения интенсивности пикселей. Нарисуйте линии разной ширины. Горизонтальная ось — это ось отбраковки, которая несет значение ошибки, и вертикальная ось — интенсивность пикселей.

8.1 Толстые линии

Простейшей реализацией приведенного выше утверждения являются линии определенной толщины. Быстрая реализация заключается в одновременном рисовании левой и правой линий и заполнении пикселей между ними.

Следующий листинг 22 демонстрирует метод, использующий значение ошибки в качестве расстояния измерения. В дополнение к версии сглаживания при каждом увеличении шага необходимо устанавливать не только один пиксель, но и несколько точек.

В случае прямой горизонтальной или вертикальной линии алгоритм должен быть оптимизирован, чтобы не рисовать за пределами конечного пикселя, когда толщина линии задает пиксели.

```

void plotLineWidth (int x0, int y0, int x1, int y1, float th)
{
    /* рисуем сглаженную линию толщиной th */
    int dx = abs(x1-x0), sx = x0 < x1? 1:-1; int dy = abs(y1-y0), sy = y0 <
    y1? 1:-1; int err = dx-dy, e2, x2, y2; /* значение ошибки и e_xu */
5
    float ed = dx+dy == 0? 1 : sqrt((float)dx*dx+(float)dy*dy);

    для (th = (th+1)/2; ; ) { /* пиксельный цикл */
        setPixelAA(x0, y0, max(0,255*(abs(err-dx+dy)/ed-th+1)));
        e2 = ошибка; x2 = x0;
        если (2*e2 >= -dx) { /* шаг x */
            for (e2 += dy, y2 = y0; e2 < ed*th && (y1 != y2 || dx > dy); e2 += dx)
                setPixelAA(x0, y2 += sy, max(0,255*(abs(e2)/ed-th+1)));
            если (x0 == x1) сломать ;
            e2 = ошибка; ошибаться -= dy; x0 += x;

        } if (2*e2 <= dy) { for (e2 /* шаг y */
            = dx-e2; e2 < ed*th && (x1 != x2 || dx < dy); e2 += dy)
                setPixelAA(x2 += sx, y0, max(0,255*(abs(e2)/ed-th+1)));
            если (y0 == y1) сломать ;
            ошибка += dx; y0 += sy;
        }
    }
}

```

Листинг 23: Программа для построения толстой сглаженной линии

Кривые толстых линий требуют особого внимания в конечных точках. Тип конечных точек во многом зависит от приложения. Различные возможности: плоские, прямоугольные, круглые, стрелки или специализированный индивидуальный. Это так же важно, если линия продолжается либо другой строкой. Другой тип кривой, такой как дуги или кривые безье более высокой степени. Поэтому это не можно представить универсальный алгоритм для всех типов. Тем не менее, это адаптация к должны быть возможны различные требования.

Рисунок 35: Толстая линия со сглаживанием.

8.1.1 Улучшенный алгоритм отрисовки линии

Алгоритм можно оптимизировать, разделив процедуру для плоских и крутых линий.

```

void plotLineWidth (int x0, int y0, int x1, int y1, long th)
{
    /* рисуем сглаженную линию толщиной th := 256 == 1 пиксель */
    int sx = x0 <x1? 1:-1, sy = y0 <y1? 1:-1; // длинный dx = abs(x1-x0), dy =
    abs(y1-y0); // длинная ошибка a = dx <dy? dx: dy, e2 = dx
    <dy? dy: dx; // мин Макс */

    #define BKGD (255<<16) // максимальное значение пикселя = фон */
    if (th <= 256 || e2 == 0) return plotLineAA (x0, y0, x1, y1); // утверждать */
    e2 = BKGD/(e2+2*ошибка*ошибка*e2/(4*e2*e2+ошибка*ошибка)); // sqrt-аппроксимация */
    й = (th-256)<<16; dx *= e2; dy *= e2; // масштабирование значения */

    if (dx <dy) { x1 = // крутая линия */
        (BKGD+th/2)/dy; ошибка = // начальное смещение */
        x1*dy-th/2; for (x0 -= // сдвигаем значение ошибки и на ширину смещения */
        x1*sx; ; y0 += sy) {
            setPixelAA(x1 = x0, y0, err>>16); for (e2 = dy-err- // сглаживание пикселя */
            th; e2+dy < BKGD; e2 += dy)
                setPixel(x1 += sx, y0); // пиксель на отрисованной линии */
            setPixelAA(x1+sx, y0, e2>>16); если (y0 == // псевдоним пикселя */
            y1) сломать ;
            ошибка += dx; // шаг по оси */
            если (ошибка > BKGD) {ошибка -= dy; x0 += x; } // x-шаг */
        }
    } // еще {y1 = // плоская линия */
    (BKGD+th/2)/dx; ошибка = // начальное смещение */
    y1*dx-th/2; for (y0 -= // сдвигаем значение ошибки и на ширину смещения */
    y1*sy; ; x0 += sx) {
        setPixelAA(x0, y1 = y0, err>>16); для (e2 = dx- // сглаживание пикселя */
        ошибка; e2+dx < BKGD; e2 += dx)
            setPixel(x0, y1 += sy); setPixelAA(x0, // пиксель на отрисованной линии */
            y1+sy, e2>>16); если (x0 == x1) сломать ; // псевдоним пикселя */

        ошибка += dy; // x-шаг */
        если (ошибка > BKGD) {ошибка -= dx; y0 += sy; } // шаг по оси */
    }
}

```

Листинг 24. Улучшенная программа для построения отрисованной сглаженной линии.

Используемое значение ошибки не является центром линии. Он сдвинут к краю линии, к отрисовываемой стороне, позволяя легко вычислять сглаженные значения пикселей.

Программа в листинге 23 использует только сложения, вычитания, умножения и деления с фиксированной запятой при вычислении пиксельного цикла. Параметр толщины линии умножается на 256, чтобы избежать целых чисел, и включается до толщины линии. (Если толщина линии должна быть 2,5, параметр составляет 2,5*256 = 640.)

8.2 Заполненный круг

Сначала разрабатывается алгоритм для сглаженного заполненного круга. Процедура рисует окрестную линию для линии одного квадранта. Каждая строка начинается с уступов и сглаженных пикселей и затем заполняет остальную часть до центра. Это приращение по оси алгоритма нормального круга в то же время. У него есть только одна проблема: иногда он слишком быстро продвигается по оси X. Правильное сглаживание. Для обывного алгоритма круга сглаживания этот случай был описан в условной уступов пикселя. Теперь это условие обрабатывается одним шагом назад.

```

void plotFilledCircleAA (int xm, int ym, int r)
{
    int x = r, y = 0, err = 0, i;
    /* рисуем заполненный сглаженный круг */
    for (r = 2*r+1; x > 0; err += ++y*2-1) { if (err+2*x+1 < r) err +=
        ++x*2-1; for (; err > 0; err -= --x*2+1) { i = 255*err/
        r; setPixelAA (xm+x, ym+y, y); setPixelAA(xm-y,
        ym+x, i); setPixelAA
        (xm-x, ym-y, y); setPixelAA (xm+y, ym-x, y);
        /* уступов пикселя */
        } for (i = x; i > 0; i--) { setPixel(xm+i,
        ym+y); setPixel(xm-y, ym+i);
        setPixel (xm-i, ym-y); setPixel(xm+y, ym-i);
        /* заполняем пиксель внутри круга */
        }
    }
    setPixel(xm, ym);
    /* уступов центра пикселя */
}

```

Листинг 25. Построение сглаженного заполненного круга

Ни один пиксель не уступов пикселя дважды

Тот же принцип можно использовать для рисования заполненного эллипса. Также возможно совмещение двух предыдущего алгоритма для рисования круга толстой линией.

Рисунок 36. Заполненный круг со сглаживанием.

8.3 Толщина эллипса

Два предыдущих предложения о круге с толстой линией так же можно использовать для рисования толстого эллипса. Но такая комбинация приводит к проблемам для плоских эллипсов. Толщина линии становится неравномерной. На рисунке 36 изображен плоский эллипс. Черная кривая — это центральная линия. Две синие кривые — это истинные кривые смещения эллипса. Но если толщина линии нарисована эллипсами, то в результате получаются контурные кривые. Это потому, что кривые смещения уравнения (44) больше не являются эллипсом. Толщина линии становится меньше на маленьких конических эллипсах. Это недостаток алгоритма становится заметным только для очень плоского эллипса с очень толстыми линиями, когда меньший радиус эллипса примерно равен толщине линии. Если меньший радиус эллипса становится нулевым, эллипс будет просто прямой толстой линией с закругленными концами. Для таких крайних примеров упрощение алгоритма становится очевидным.

Некоторое улучшение можно было бы обйти, используя пересечение с осью как есть вместо большего внутреннего радиуса эллипса вместо толщины линии. Эта коррекция изображена на рисунке 36 в виде зеленого эллипса. Хотя это и не полная компенсация ошибок, плоский толстый эллипс выглядит гораздо лучше. Новый больший внутренний радиус составляет $a'^2 = (a^2 - b^2)(b^2 - t^2)/b^2$.

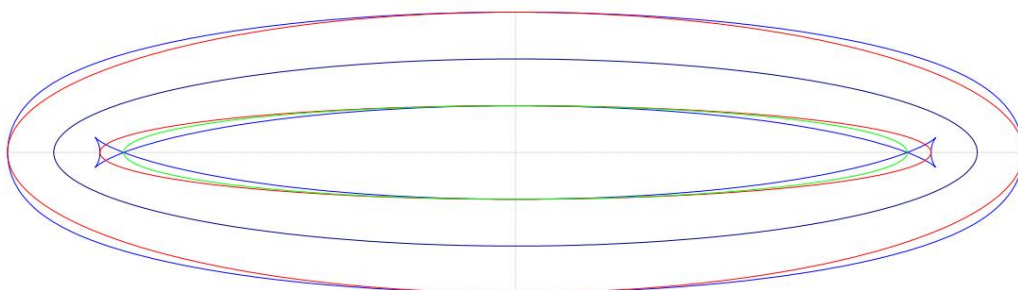


Рисунок 37: Контур эллипса толстой линией.

На рисунке 37 показан такой плоский эллипс с толстой линией, включая компенсацию

Рисунок 38. Эллипс со сглаживанием и толстой линией.

Несмотря на эту компенсацию алгоритм эллипса в листинге 25, использующий плоские эллипсы из тонких линий, сталкивается с проблемами. Линия становится неровной, так как ее толщина чуть меньше единицы

```

voidplotEllipseRectWidth (int x0, int y0, int x1, int y1, int th)
    /* рисуем сглаженный эллипс внутри прямоугольника с толстой линией */
{ long a = abs(x1-x0), b = abs(y1-y0), b1 = b&1; /* Наружный диаметр */
  длинный a2 = a-2*th, b2 = b-2*th; /* внутренний диаметр */
5   float dx = 4*(a-1.0)*b*b, dy = 4*(b1-1)*a*a; /* приращение ошибок */
  float ed = a+b2, i, err = b1*a*a, dx2, dy2, e2 = 0;

  if (a == 0 || b == 0) returnplotLine (x0,y0, x1,y1);
  if (th < 2) returnplotEllipseRectAA (x0,y0, x1,y1); /* коррекция толстой линии */
10  если ((th-1)*(2*b-th) > a*a) b2 = sqrt(a*(b1)*ed*a2)/(a-th); if ((th-1)*(2*a-th) > b*b) { a2 =
  sqrt(b*(a1)*ed*b2)/(b-th); й = (a-a2)/2; }
  если (x0 > x1) { x0 = x1; x1 += a; } /* если выворачивается с переставленными точками */
  если (y0 > y1) y0 = y1; /* .. обмениваем их */
  если (b2 <= 0) th = a; /* заполненный эллипс */
15  dx2 = 4*(a2-1.0)*b2*b2; dy2 = 4*(b1-1)*a2*a2; y0 += (b1)/2; y1 = y0-
  b1; й += x0; a = 8*a*a; b1 = 8*b*b; a2 = 8*a2*a2; b2 =
  8*b2*b2;
  do
  { for (;;) { if (err
20     <= 0 || x0 > x1) { i = x0; перерыв; }
    я = fmin(dx,dy); ed = fmax(dx,dy);
    if (y0 == y1+1 && 2*err > dx && a > b1) ed = a/4; иначе ed += 2*ed*i/i /* x-наконецник */
    (4*ed*ed+i*i+1)+1; я = 255*ошибка/ред; setPixelAA (x0, /* приближительная площадь */
25     y0, я ); setPixelAA (x0,
    y1, я );
    setPixelAA (x1, y0, я ); setPixelAA (x1, y1, я );
    если (err+dy+1 < dx) { i = x0+1; перерыв; }
    x0++; x1--; ошибка a -= dx; dx -= b1; /* приращение ошибок и x */
  }
30  for (; i < th && 2*i <= x0+x1; i++) { /* пиксель заполнения линии */
    setPixel (я, y0); setPixel(x0+x1-i,y0); setPixel (я, y1);
    setPixel(x0+x1-i,y1);

  } while (e2 > 0 && x0+x1 >= 2*th) { /* внутри сглаживания */
35  я = fmin(dx2,dy2); ed = fmax(dx2,dy2);
    if (y0 == y1+1 && 2*e2 > dx2 && a2 > b2) ed = a2/4; иначе ed += 2*ed*i/i /* x-наконецник */
    (4*ed*ed+i*i); i = 255-255*e2/ед; setPixelAA (th, /* аппроксимация */
40     y0, i); setPixelAA(x0+x1-
    й,y0,i);
    setPixelAA (th, y1, i); setPixelAA(x0+x1-й,y1,i);
    если (e2+dy2+a2 < dx2) сломать ; й++;
    e2 -= dx2; dx2 -= b2; /* приращение ошибок и x */
  }
  e2 += dy2 += a2;
45  y0++; y1--; ошибка a += dy += a; /* шаг */
} Пока (x0 < x1);
если (y0-y1 <= b) { /* слишком ранняя остановка плоских эллипсов */
  if (err > dy+a) { y0--; y1++; ошибка a -= dy -= a; }
  for (; y0-y1 <= b; err += dy += a) {
50     я = 255*4*fabs(ошибка a)/b1; /* -> завершить конец эллипса */
    setPixelAA (x0, y0, я ); setPixelAA (x1, y0++, я );
    setPixelAA (x0, y1, я ); setPixelAA(x1,y1--, я );
  }
}
55 }

```

8.4 Толстая квадратная рациональная кривая Безье

Предыдущий алгоритм линии устанавливает отдельные пиксели толстой линии перпендикулярно линии. направление: вертикальное для плоской линии или горизонтальное для крутой линии. Этот подход сталкивается с проблемами если его использовать для кривой. Если рисунок кривой меняется с плоского на крутой (или наоборот) часть кривой отсутствует. Эти пиксели кривой должны быть явно заданы если процедура меняется.

Алгоритму в основном нужна информация о значении ошибок и текущем пикселе, чтобы ускорить пиксель толстой сглаженной кривой. Поэтому нет смысла рассчитывать погрешность следующего пикселя.

```

void plotQuadRationalBezierWidthSeg (int x0, int y0, int x1, int y1,
    int x2, int y2, float w, float th)
{
    /* построить ограниченный рациональный сегмент Безье толщиной th, квадрат веса */
    int sx = x2-x1, sy = y2-y1; двойной dx =                /* от носительные значения для проверок */
    5  x0-x2, dy = y0-y2, xx = x0-x1, yy = y0-y1; двойной xy = xx*sy+yy*sx, cur = xx*sy-
    yy*sx, err, e2, ed;                                     /* кривизна */

    Assert(xx*sx <= 0,0 && yy*sy <= 0,0);                 /* знак градиента не должен меняться */

    10  if (cur != 0,0 && w > 0,0) {                          /* нет прямой линии */
        if (sx*(long)sx+sy*(long)sy > xx*xx+yy*yy) { /* начинаем с более длинной части */
            x2 = x0; x0 -= dx; y2 = y0; y0 -= dy; k ур = -cur; /* поменять местами P0 P2 */

            } xx = 2,0*(4,0*w*sx*xx+dx*dx); yy =          /* различия 2-й степени */
            15  2,0*(4,0*w*sy*yy+dy*dy);
            sx = x0 <x2? 1:-1; sy = y0 <y2?
            1:-1; xy =                                     /* направление шага x */
            -2,0*sx*sy*(2,0*w*xy+dx*dy);                 /* направление шага по оси */

            20  если (cur*sx*sy < 0) {                       /* отрицательная кривизна? */
                xx = -xx; yy = -yy; k ур = -cur; xy = -xy;
            }
            dx = 4,0*w*(x1-x0)*sy*cur+xx/2,0; dy = 4,0*w*(y0-
            25  y1)*sx*cur+yy/2,0;                            /* различия 1-й степени */

            if (w < 0,5 && (dx+xx <= 0 || dy+yy >= 0)) { /* плоский эллипс, алгоритм не получается */
                Cur = (w+1,0)/2,0; ш = fsqrt (ш); xy = 1,0/(w+1,0);
                sx = пол((x0+2,0*w*x1+x2)*xy/2,0+0,5); /* разделить кривую пополам */
                sy = Floor((y0+2,0*w*y1+y2)*xy/2,0+0,5); /* построить график отдельно */
                30  dx = пол((w*x1+x0)*xy+0,5); dy = пол((y1*w+y0)*xy+0,5);
                plotQuadRationalBezierWidthSeg(x0,y0, dx,dy, sx,sy, cur, th); dx = пол((w*x1+x2)*xy+0,5);
                dy = пол((y1*w+y2)*xy+0,5);
                return plotQuadRationalBezierWidthSeg (sx,sy, dx,dy,x2,y2,cur,th);
            }
            35  for (err = 0; dy+2*yy < 0 && dx+2*xx > 0; ) /* цикл по крутой/пологой кривой */
                if (dx+dy+xy < 0) { /* кривая кривая */
                    делать {
                        ed = -dy-2*dy*dx*dx/(4,0*dy*dy+dx*dx); ш = (th-1)*ed; /* приблизительная площадь */
                                                                /* масштаб абрируем ширину линии */
                    }
                }
            }
    }
}

```

```

40      x1 = (err-ed-w/2)/dy; e2 = /* начальное смещение */
      ошибка a-x1*dy-w/2; x1 = x0- /* значение ошибки и по смещению*/
      x1*cх; setPixelAA(x1, /* Начальная точка */
45      y0, 255*e2/ed); for (e2 = -w-dy-e2; e2-dy < ed; /* сглаживание префикселя */
      e2 -= dy) setPixelAA(x1 += sx, y0, 0); setPixelAA(x1+sx, y0,
      255*e2/ed); если (y0 == y2) return; если /* пиксель на толстой линии */
      (2*(err+dx)+dy+xy > 0) { x0 += sx; dx += xy; /* псевдоним пост пикселя */
      ошибка a += dy; dy += yу; /* последний пиксель -> кривая закончена */
/* e_x+e_xy > 0 */
/* шаг */
50
      } y0 += sy; dy += xy; ошибка a += dx; dx += xx; /* шаг */
      если (dx+2*xx <= 0 || dy+2*yу >= 0) перейт и к ошибке; /* кривая рядом */
} while (dx+dy+xy < 0); /* градиент все еще крутой? */
/* переход от крутой кривой к пологой */
55      for (cur = err-dy-w/2, y1 = y0; cur < ed; y1 += sy, cur += dx) {
      для (e2 = cur, x1 = x0; e2-dy < ed; e2 -= dy)
      setPixelAA(x1 -= sx, y1, 0); /* пиксель на толстой линии */
      setPixelAA(x1-sx, y1, 255*e2/ed); /* псевдоним пост пикселя */
      }
60      } еще { /* плоская кривая */
      делать {
      ed = dx+2*dx*dy*dy/(4.*dx*dx+dy*dy); /* приближает площадь */
      ш = (th-1)*ed; /* масштабируем ширину линии */
      y1 = (ошибка a+ed+w/2)/dx; /* начальное смещение */
65      e2 = y1*dx-w/2-ошибка a; /* значение ошибки и по смещению*/
      y1 = y0-y1*sy; /* Начальная точка */
      setPixelAA(x0, y1, 255*e2/ed); /* сглаживание префикселя */
      для (e2 = dx-e2-w; e2+dx < ed; e2 += dx)
      setPixelAA(x0, y1 += sy, 0); setPixelAA(x0, /* пиксель на толстой линии */
70      y1+sy, 255*e2/ed); если (x0 == x2) воз врат; /* псевдоним пост пикселя */
      если (2*(err+dy)+dx+xy < 0) /* последний пиксель -> кривая закончена */
      { y0 += sy; dy += xy; ошибка a += dx; dx += /* e_y+e_xy < 0 */
      xx; /* шаг */
75
      } x0 += x; dx += xy; ошибка a += dy; dy += yу; /* шаг */
      если (dx+2*xx <= 0 || dy+2*yу >= 0) перейт и к ошибке; /* кривая рядом */
} while (dx+dy+xy >= 0); /* градиент все еще плоский? */
/* переход от плоской кривой к крутой */
80      for (cur = -err+dx-w/2, x1 = x0; cur < ed; x1 += sx, cur -= dy) {
      для (e2 = cur, y1 = y0; e2+dx < ed; e2 += dx)
      setPixelAA(x1, y1 -= sy, 0); /* пиксель на толстой линии */
      setPixelAA(x1, y1-sy, 255*e2/ed); /* псевдоним пост пикселя */
      }
      }
85      }
      неудач a:plotLineWidth(x0,y0, x2,y2, th*256); /* загрузка значения ошибки, приближает */
}

```

Листинг 27: Программа для построения сглаженной толстой квадратичной рациональной кривой Безье

Программа листинга 26 меняет порядок действий для плоской или крутой кривой во время рисования.

Процесс и дополнително устанавливает недостающие пиксели в том случае.

Значение ошибки используется для сглаживания. Изменение значения ошибки используется как информация о толщине линии. Алгоритм предполагает, что это значение существенно не меняется от одного пикселя к другому. Если это не так, информация о толщине линии не может быть рассчитана правильно. Это делает алгоритм более чувствительным к этим значениям. Это приводит к не совсем правильно нарисованной кривой, если другая (невидимая) часть кривой снова окажется слишком близко к заданному пикселю.

Поэтому алгоритм дает сбой, если радиус кривой приближается к толщине линии или оканчивается ниже нее. Одной из возможностей построения таких кривых было бы использование передискретизации.

Рис. 39. Толстая квадратичная кривая без сглаживания.

На рисунке 38 показана квадратичная кривая без сглаживания толщиной линии 5 пикселей. Радиус кривой минимальный. Уже видны небольшие артефакты, когда направление кривой меняется с горизонтального на вертикальное. Если радиус кривой становится еще меньше, ошибка рисования становится более заметной, пока алгоритм полностью не выйдет из строя.

Вместо того, чтобы ограничивать алгоритм рисования непрерывно восходящей или нисходящей кривой, так же можно обработать случай изменения направления рисования в самом пиксельном центре. Тогда не было бы необходимости заранее подразделять кривую

8.5 Толстые кривые более высокой степени

Предыдущий алгоритм можно было применить и к кривым более высокой степени. Это работает прямо вперед, пока никакая другая кривая не приближается. Поскольку в этом типе алгоритма используются значения ошибок, находящиеся дальше от самой кривой, предположение о том, что значения разности не меняются, с большей вероятностью оказывается ошибочным. Поэтому становится очень сложно рисовать более сложные кривые с острыми краями, пересечениями и петлями. Всякий раз, когда другая часть кривой подходит слишком близко, различия меняются слишком сильно, и для компенсации недостатка необходимо использовать более совершенные методы.

9 сглаивов

Одиноч ные к ривье Безье е более вьсок ой ст епени, ч ем к убич еск ие, рисоват ь оч ень сложно. Более сложные к ривье образуют ся пут ем соединения к вад рат ич ных или кубич еск их к ривых Безье.

Две сосед ние к ривье наз ывают ся Ск непрерывными, если производная от 0 до k равна в т оч ке соединения . Так им образом, непрерывность C0 прост о означ ает , ч то две сосед ние к ривье имеют обшуют оч ку. Непрерывность C1 означ ает , ч то обе к ривье имеют , к роме т ого, один и т от же касат ель ный век т ор. Непрерывность C2 означ ает , ч то парамет рич еск ие производ ные вт орого поря дк а обшчей к очек ной т оч ки равны по велич ине и направлению

Сглаивыобеспеч ивают большую гибк ост ь за сч ет минимума элемент ов управления , ч то упрощает ред акт ирование к ривых. Более прост ые к ривье с мень шим количеством к онт роль ных т оч ек —это B-сглаивы. Определены т оль ко угловые т оч ки к ривой. Дополнит ель ные к онт роль ные т оч ки размещают ся для авт омат ич еского непрерывного соединения к ривых. [Пигл и др., 1996]

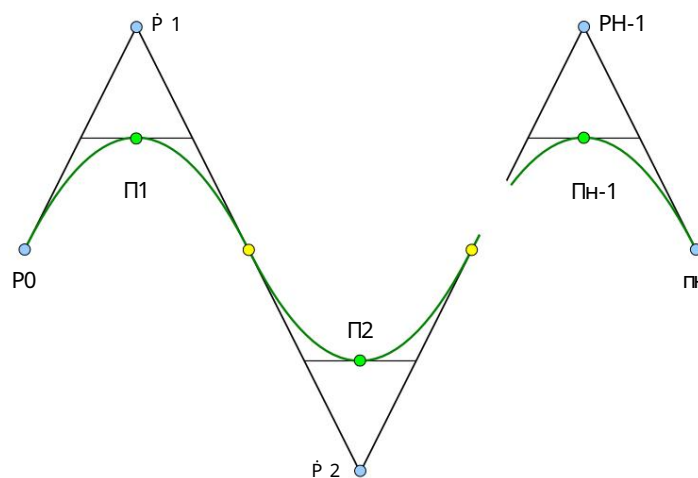


Рисунок 40: К вад рат ич ный сглаив

Сглаивыпервой ст епени предст авля ют собой ломануюлинию

9.1 К вад рат ич ные B-сглаивы

Если угловые т оч ки P_i на рисунок е 40 заданы к ривая буд ет пря мой.

(Желт ые т оч ки находя т ся посеред ине между голубыми.) Можно ли вьн ислит ь т оч ки P_i (голубой), если заданы т оч ки P_i (зеленые) на к ривой?

Если на к ривой ук азаны зеленые т оч ки, угловые т оч ки должны бьт ь рассч ит аныследующимобраз ом:

$$P'_{i-1} = 6P'_i - P'_i - 1 = 8P'_i - 5P'_{i-1} - 2P_0, P'_{n-2} = 5P'_{n-1} - 8P_{n-1} - 2P_n.$$

Уравнения можно записат ь в мат рич ной форме:


```

void plotQuadSpline (int n, int x[], int y[])
{
    /* построение квадратичного сплайна, уничтожение входных массивов x,y */
    #define M_MAX 6
    float m1 = 1, m[M_MAX]; int i, x0,          /* диагональные константы матрицы */
5    y0, x1, y1, x2 = x[n], y2 = y[n];

    /* нужно как минимум 3 точки P[0]..P[n] */
    /* первая строка матрицы */
10    x[1] = x0 = 8*x[1]-2*x[0]; y[1] = y0 =
    8*y[1]-2*y[0];

    for (i = 2; i < n; i++) { if (i-2 < M_MAX)          /* перемотка вперед */
        m[i-2] = m1 = 1,0/(6,0-m1);
        x[i] = x0 = пол(8*x[i]-x0*m1+0,5); y[i] = y0 = пол(8*y[i]-
15        y0*m1+0,5);
        /* сохраняем Yi */
    }
    /* исправление последней строки */
    x1 = пол((x0-2*x2)/(5,0-m1)+0,5); y1 = пол((y0-2*y2)/
    (5,0-m1)+0,5);

20    для (я = n-2; я > 0; я --) {          /* обратная замена */
        если (i <= M_MAX) m1 = m[i-1];
        x0 = пол((x[i]-x1)*m1+0,5); y0 = Floor((y[i]-
        y1)*m1+0,5);          /* следующий угол */
        plotQuadBezier((x0+x1)/2,(y0+y1)/2, x1,y1, x2,y2);
25        x2 = (x0+x1)/2; x1 = x0; y2 = (y0+y1)/
        2; y1 = y0;
    }
    plotQuadBezier(x[0],y[0], x1,y1,x2,y2);
}

```

Листинг 28. Рисование квадратичного сплайна по точкам P_i на кривой

Эта программа работает даже в том случае, если нужно нарисовать только одну кривую Безье ($n = 2$).

Алгоритму нужен временный массив с плавающей запятой для хранения диагональных значений.

матрица: $m_1 = 5$, $m_{i+1} = 6 - 1/m_i$. Но поскольку последовательность все ограничивается константой

Лимит $m_i = 3$ — первые 6 записей достают точны

Алгоритм можно использовать для периодических сплайнов.

9.2 Кубические сплайны

На рис. 41 показан кубический сплайн с двумя разными граничными условиями. Контр роль точек — это обозначены поляризуемой записи. Точка $P_0, 0, 0$ — двойная точка, кривизна которой равна нулю

Существует несколько возможностей для граничного состояния кривой:

- открытый конец : кривая просто нарисована от $P_{1,1,1}$ до $P_{n-1,n-1,n-1}$.
- касательная : кривизна в конечных точках $P_{0,0,0}$ и $P_{n,n,n}$ исчезает. кривая
- периодическая : замыкается формулой $P_{0,0,0} = P_{n,n,n}$.

В случае, если заданы угловые точки (голубой), кривую можно разделить на кубические кривые Безье с использованием алгоритма Дебура. Кубическая кривая Безье выводится по точкам $P_{i,i-1,i+1}$, $P_{i+1,i+1-1,i+1,i+1}$. Строка $P_{i-1,i,i+1}$, $P_{i,i+1,i+2}$ делается третьей, чтобы получить $P_{i,i+1}$ и $P_{i+1,i+1}$. Линия $P_{i-1,i}$, $P_{i,i+1}$ делится пополам, чтобы получить $P_{i,i}$.

Уравнения для кубических сплайнов

аналогичны $P'_{i-1} = 4P'_i - P'_{i+1} = 6P_i - 7P'_{i-1} - 2P'_{i+1} = 12P_i - 3P_0 - 2P'_n - 7P'_{n-1} = 12P_{n-1} - 3P_n$.

$$\begin{bmatrix} 2 & 8 & 2 \\ 7 & 2 & 7 \\ 0 & 2 & 8 & 2 \\ 0 & 0 & 0 & 0 \end{bmatrix} \begin{bmatrix} P'_1 \\ P'_2 \\ \dots \\ P'_n \end{bmatrix} = \begin{bmatrix} 12P_2 \\ 12P_{n-1} - 3P_n \\ \dots \\ 12P_{n-2} \\ 12P_1 - 3P_0 \end{bmatrix} \quad (49)$$

Если заданы угловые точки (желтые), снова можно вычислить угловые точки. Но эта система линейных уравнений имеет две степени свободы. Возможным условием необходимого ограничения является определение кривизны на обоих концах равной нулю (несколько узлов): $V''(0) = 0$. Это условие показано в начале кривой на рисунке 41 ($P_0, 0, 0$).

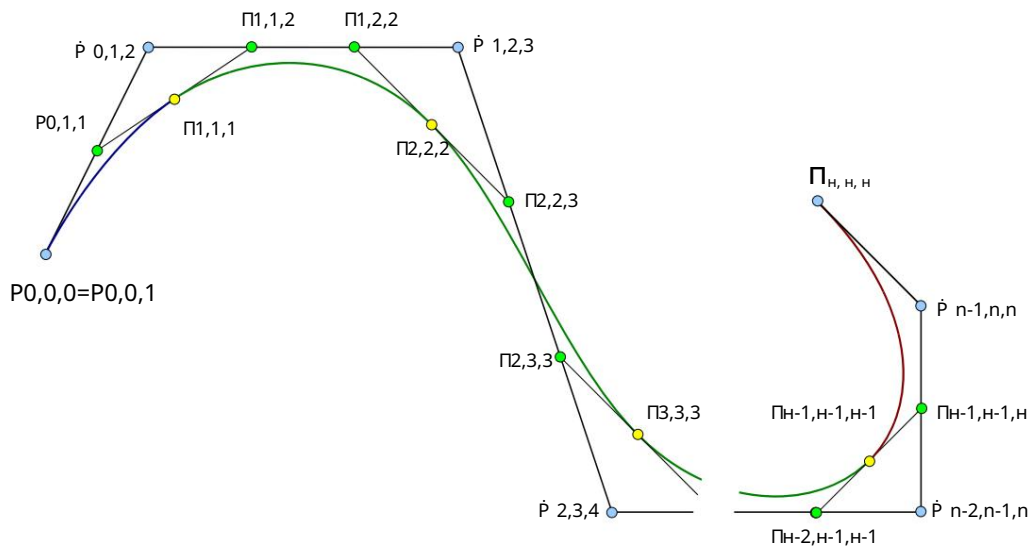


Рисунок 41: Кубический сплайн

Алгоритм МТ омаса снова помогает решить матричное уравнение.

```

void plotCubicSpline (int n, int x[], int y[])
{
    /* построение кубического сплайна, уничтожение входных массивов x,y */
    #define M_MAX 6
    float mi = 0,25, m[M_MAX]; int x3 =          /* диагональные константы матрицы */
5    x[n-1], y3 = y[n-1], x4 = x[n], y4 = y[n];
    int i, x0, y0, x1, y1, x2, y2;

    /* проверка (n > 2); */                       /* нужно как минимум 4 точки P[0]..P[n] */

10    x[1] = x0 = 12*x[1]-3*x[0]; y[1] = y0 =
        12*y[1]-3*y[0];                               /* первая строка матрицы */

    for (i = 2; i < n; i++) { if (i-2 < M_MAX)      /* перемотка вперед */
        m[i-2] = mi = 0,25/(2,0-mi);
15        x[i] = x0 = пол(12*x[i]-2*x0*mi+0,5);
        y[i] = y0 = Floor(12*y[i]-2*y0*mi+0,5);
    }

    x2 = пол((x0-3*x4)/(7-4*mi)+0,5); y2 = пол((y0-3*y4)/
20    (7-4*mi)+0,5); plotCubicBezier(x3,y3, (x2+x4)/2,
        (y2+y4)/2, x4,y4, x4,y4);

    если (n-3 < M_MAX) mi = m[n-3];
    x1 = пол((x[n-2]-2*x2)*mi+0,5); y1 =
    пол((y[n-2]-2*y2)*mi+0,5);
25    для (я = n-3; я > 0; я --) {                 /* обратная замена */
        если (i <= M_MAX) mi = m[i-1];
        x0 = пол((x[i]-2*x1)*mi+0,5); y0 =
        Floor((y[i]-2*y1)*mi+0,5);
        x4 = пол((x0+4*x1+x2+3)/6,0); y4 =
30        пол((y0+4*y1+y2+3)/6,0);
        сюжет CubicBezier(x4,y4,
            пол((2*x1+x2)/3+0,5),пол((2*y1+y2)/3+0,5), этаж((x1+2*x2)/
            3+0,5),пол((y1+2*y2)/3+0,5),
            x3,y3);
35        x3 = x4; y3 = y4; x2 = x1; y2 = y1; x1 = x0; y1 = y0;
    }

    x0 = x[0]; x4 = пол((3*x0+7*x1+2*x2+6)/12,0); /* восстановление P[1] */
    y0 = y[0]; y4 = пол((3*y0+7*y1+2*y2+6)/12,0);
    plotCubicBezier(x4,y4, floor((2*x1+x2)/3+0,5),floor((2*y1+y2)/3+0,5),
40        пол((x1+2*x2)/3+0,5),пол((y1+2*y2)/3+0,5), x3,y3);
    plotCubicBezier(x0,y0, x0,y0, (x0+x1)/2,(y0+y1)/2, x4,y4);
}

```

Листинг 29: Рисование кубического сплайна по заданным точкам кривой

Алгоритму необходимо дополнить массив с плавающей запятой для хранения значений прямого развертки, поскольку кривой по-прежнему необходимо для рисования вычисленного сегмента Безье. Но исходные точки могут быть восстановлены по следующей угловой точке, избегая дополнительных

множеств.

Обратите внимание, что кубический сплайн размера $n = 3$, нарисованный с помощью этого алгоритма, не совпадает с одиночным кубическим сплайном Безье, хотя оба они определяются 4 точками. Но условием для этого сплайна является, кроме того, наличие конечных точек без кривизны тогда как кубический Безье не имеет такого ограничения.

10 Выводы

Раст эривац ия — фундамент аль ная за дач а к ом пь ю т е р н о й г р а ф и к и. Э т о т д о к у м е н т п е р е р а б а т ы в а е т а л г о р и т м Б р э н х э м а и р а с ш и р я е т е г о д л я д р у г и х к р и в ы х, т а к и х к а к э л л и п с ы и к р и в ы е Б э з ь е к в а д р а т и ч н о й и к у б и ч е с к о й с т е п е н и. О б ы н о a л г o р и т м м о ж н о и с п о л ь з о в а т ь д л я р а с т э р и в а ц и и л ю б о й г е o м e т р и ч е с к o й к р и в o й.

10.1 Алгоритм построения невя уравнений

Расчет в предьдущих глав помогают определить общий алгоритм построения кривых невя уравнения $f(x, y) = 0$.

- Поскольку алгоритм построения построен на непрерывно положит ель ном или от риц ат ель ном г р а д и е н т е, к р и в о ю необходимо разделить в ст ац и о н а р н ы х т о ч к а х, в к о т о р ы х г р а д и е н т м е н я е т з н а к (и л и, в о з м о ж н о, в т о ч к а х с а м о п е р е с е ч е н и я).
Изменение направления так же может быть включено в цикл пик селей. В подразделении нет необходимости, если поворот кривой происходит одновременно только в одном направлении (x или y). Изменение направления можно было обнаружить по изменению знака разности. Значения приращения адаптируются в соответствии с новым направлением.
Это решение вызывает проблемы только в том случае, если оба направления рисования изменяются одновременно, поскольку оно не может решить, какой из кривых следовать.

- Приращение шага выисляется путем последовательных разностей невя уравнения : в направлении x: $dx, y += dx+1, y$, $err += d10$ и в направлении y: $dx, y += dx, y+ 1$, ошибка $+= d01$.

- Эти приращения инициализируются разностями минимального пик селя .

Разности значений ошибок (расстояние h) представляют собой конечную разность m-го порядка.
существует в двух измерениях:

$$d_{nx, ny} = \frac{1}{h_x \cdot h_y} \cdot \frac{\partial^2 f(x, y)}{\partial x^2 \partial y^2} \quad \text{или} \quad [nx, ny = m].$$

Значение инициализации полиномиального уравнения степени n составляет n-производную

исходя из невя уравнения :

$$D_{nx, ny} = \frac{\partial^n f(x, y)}{\partial x^{nx} \partial y^{ny}} [nx, ny = n].$$

- Алгоритм должен проявлять особенность, если другая часть функции приближается к устанавит пик селя кривой.

Алгоритм можно использовать для всех функций с невя полиномиальным уравнением.

10.2 Сложность алгоритма

Поскольку любая непрерывная функция может быть аппроксимирована полиномиальной функцией (теорема Вейерштрасса), в этом документе представлен алгоритм, позволяющий рисовать любую функцию почти так же быстро, как линию

Более сложные кривые требуют больше количеств дополнений на пик селя .

Алгоритм первой степени (линейный) добавляет только разницу значений ошибок на каждом шаге.

Алгоритм второй степени (квадратичный) дополняется но должен отслеживать изменения разности dx , dy .

(Эллипсы круги проще, поскольку некоторые разности равны из-за

симметричности кривой.) Алгоритм третьей степени также должен отслеживать изменения

изменения dx , dy , du .

Ключевое требование операций рисования полиномиальной кривой степени n совершает в $O(n^2)$ обозначения: $n(n+1)/2 = (n^2 + n)/2$.

Реализация алгоритма ограничена сложными расчетами инициализирующей разности. Особенно для кривых более высоких степеней эти выражения

может стать довольно большим.

10.3 Приложения

Растеризация — фундаментальная задача компьютерной графики. Векторная графика основана на геометрических примитивах, таких как линии, круги, эллипсы и кривые Безье. Такие кривые должны растеризовываться на всех устройствах вывода, таких как дисплеи, принтеры, плоттеры, машины и т. д.

Алгоритм этого документа делает рисование кривых вычислительно эффективным и

это также очень просто реализовать. Повседневная программа может делегировать рисование

подпрограмме, операционная система или базовый драйвер ввода/вывода. Но если приложение хочет

иметь контроль над процессом рисования или должен иметь доступ к определенным деталям кривой параметра, необходим для реализации самого алгоритма построения.

Этот тип алгоритма также может быть реализован непосредственно в электронном оборудовании (например, с помощью специализированных интегральных схем или программируемых пользователем элементов матрицы). Добавление и регистры сравнения необходимы только для процесса рисования пиксельного цикла. Все расчеты могут быть реализованы целочисленными значениями. Потенциально параметры кривой (начальные значения), возможно, должны быть предварительно рассчитаны с помощью микропрограммы.

Существующие аппаратные ускорения, такие как CUDA (Compute Unified Device Architecture) или

Nvidia или OpenGL ориентированы на высокопроизводительный 3D-рендеринг для архитектуры параллельных вычислений. 2D-кривые Безье являются частью компьютерной 3D-сцены. Такие кривые не нуждаются в геометрической обработке, должны быть доступны для растеризации и в большинстве случаев игнорируются высокопроизводительными библиотеками.

10.4 Перспективы

В будущем алгоритм может быть расширен для растеризации кубической рациональной Безье и других значений кривых.

Этот тип алгоритма также предполагает быструю реализацию SIMD (одна инструкция, много

несколько данных), поскольку значения для направлений и могут рассчитываться независимо.

10.5 Исходный код

Примеры этих документов доступны в Интернете. Веб-адрес:

<https://zingl.github.io/bresenham.html>

Программы не имеют авторских прав и могут быть использованы и изменены кем угодно по своему усмотрению.

Исходный код был тщательно протестирован, но предоставляется без каких-либо гарантий. Используйте его на свой страх и риск.

Библиография

- [Безье, 1986] Пьер-Этьенн Безье: Математическая основа UNISURF CAD Система; Баттервортс, Лондон, 1986 год.
- [Безу, 1764] Этьенн Безу: Исследование степеней уравнений, возникающих в результате исключения; неизвестных, и средств, к которым следует использовать для нахождения этих уравнений; Истории Королевской академии наук, 1764 г.
- [Брезенхэм, 1965] Джек Э. Брезенхэм: Алгоритмы компьютерного управления цифровым плоттером; Системный журнал IBM, 1965.
- [Кастельжо, 1963] Поль де Фаже де Кастельжо: Кривые и поверхности полков; Технический отчет, Сигроен, Париж, 1963 год.
- [Кейли, 1857] Артур Кейли: Примечание о методе исключения Безу; Рейне Анж-Вандте Математик, д. 53, 366–367, 1857.
- [Емельяненко, 2007] Павел Емельяненко: Визуализация точек и отрезков действительных алгебраических плоских кривых; Магистерская диссертация, Саарский университет, Институт компьютерных наук Макса Планка, 2007 г.
- [Фоли, 1995] Джеймс Дэвид Фоли: Компьютерная графика, принципы и практика использования C; Addison-Wesley Professional; 2-е издание, 1995 г.
- [Голдман и др., 1985] Рональд Н. Голдман, Томас В. Седерберг: Новые применения результатов к задачам вычислительной геометрии; Визуальный компьютер, том 1, номер 2, 101–107, 1985.
- [Голигур-Куджали, 2005] М. Голигур-Куджали: Общий алгоритм рендеринга и сглаживания. ритмические сечения; Лондонский университет Саут-Банк, 2005 г.
- [Loop et al., 2005] Чарльз Луп, Джеймс Ф. Блинн: Независимая от разрешения визуализация кривых с использованием программируемого графического оборудования; Ассоциация вычислительных техник и Inc., Microsoft Research, 2005 г.
- [Марш 2005] Дункан Марш Прикладная геометрия для компьютерной графики и САПР; Спрингер, 2005.
- [Пигл и др., 1996] Лес Пигл, Уэйн Тиллер: Книга NURBS; Спрингер, 1996.
- [Рэй и др., 2011] Кумар С. Рэй, Бимал Кумар Рэй: метод отклонения для рисования невидных кривых; Международный журнал компьютерной графики, Vol. 2, № 2, Ноябрь 2011 г.
- [Седерберг, 2011] Томас В. Седерберг: Конспект лекций по компьютерной геометрии; Университет Бригама Янга, <http://tom.cs.byu.edu/~557/>, 2011 г.

[Шмаков, 2011] Сергей Л. Шмаков: Универсальный метод решения уравнений четвёртой степени; Международный журнал чистой и прикладной математики, том 71, № 2, 251-259.

[Таубин, 1994] Габриэль Таубин: Дистанционные аппроксимации для растеризации невязких кривых; Исследовательский центр IBM Watson, 1994 г.

[Томас, 1949] Левеллин Хиллет Томас: Эллиптические задачи и в линейных разностных уравнениях в сетке; Отчет компьютерной лаборатории Watson Science, Колумбийский университет, Нью-Йорк, 1949 год.

[Сяолин, 1991] Сяолин Ву: Эффективный метод сглаживания; Университет Западного Онтарио, 1991 год.

[Янг и др., 2000] Хунци Ян, Ян Ли, Юй Куй Лю Алгоритмы уровня пикселей для рисования кривых; Материалы 6-й Китайской конференции по автоматизации и информатике в Великобритании, Лафборо, 2000 г.

Список рисунков

Рисунок 1: Алгоритм средней точки.....	9
Рисунок 2: Пиксельная сетка кривой $f(x,y)=0$	10
Рисунок 3: структура значений ошибок ($dx=5, dy=4$).....	13
Рисунок 4: квадрат эллипса со значениями ошибок для $a=7$ и $b=4$	15
Рисунок 5: паразитный пиксель на круге радиуса 4.....	18
Рисунок 6: эллипс, заключенный в прямоугольник размером 7×5 пикселей.....	20
Рисунок 7: Безье кривая степени 2.....	22
Рисунок 8: значения ошибок квадратичной кривой Безье	24
Рисунок 9: Алгоритм в беге: нет пути, поэтому следует идти.....	26
Рисунок 10: Более высокое разрешение субпиксельного растра.	28
Рисунок 11: Неблагоприятный поворот кривой.....	32
Рисунок 12: Деление кривой Безье.....	33
Рисунок 13: Подразделение квадратичного рационального Безье.....	37
Рисунок 14: значения ошибок квадратичного рационального Безье.....	39
Рисунок 15: Повернутый эллипс.....	41
Рисунок 16: Различные кубические кривые Безье.....	44
Рисунок 17: Приближение кубического Безье (красный) двумя квадратичными (зеленый).....	45
Рисунок 18: значения ошибок кубической кривой Безье.....	50
Рисунок 19: Трехмерный график поверхности кубической кривой Безье с самопересечением.	52
Рисунок 20: Градиент кривой.....	53
Рисунок 21: Кубический Безье с запутанными значениями ошибок	55
Рисунок 22: Кубическая кривая Безье, разделенная на сегменты.....	58
Рисунок 23: Горизонтальные и вертикальные корни кубического уравнения Безье.....	59
Рисунок 24: Деление рационального куба Безье.....	63
Рисунок 25: Пример сглаженной линии.....	69
Рисунок 26: Слева Сяолинь Ву, справа алгоритм этой линии.	69
Рисунок 27: Пример сглаженного круга.....	71
Рисунок 28: Пример сглаженного эллипса.	73
Рисунок 29: Пример сглаженной квадратичной кривой Безье.....	73
Рис. 30. Пример сглаженного повернутого эллипса.....	75
Рисунок 31: Пример сглаженной кубической кривой Безье.....	77
Рисунок 32: Неприятные ситуации со сглаживанием кубических кривых Безье.....	80
Рисунок 33: Толщина линии в зависимости от значений погрешности.....	81
Рисунок 34: Толстая линия со сглаживанием.....	82
Рис. 35. Запущенный кружок со сглаживанием.....	84
Рисунок 36: Контуры эллипса толстой линией.....	85
Рисунок 37: Эллипс с антиталиасингом	

Рисунок 39: Квадратичный сплайн.....	
.91 Рисунок 40: Кубический сплайн.....	94

Список программ

Листинг 1: Псевдокод алгоритма.....	11	Листинг 2:
Программа для построения линии.....	13	Листинг 3:
Программа для построения линии в 3D.....	14	Листинг 4: Простая
программа для построения эллипса.....	16	Листинг 5:
Оптимизированная программа для построения эллипса.....	17	Листинг 6.
Программа к руга, позволяющая избежать появления ложных		
пикселей.....	19	Листинг 7: Программа для построения эллипса,
заключенного в прямоугольник.....	21	Листинг 8: Программа для построения
базовой кривой Безье.....	27	Листинг 9: Построение диаграммы Безье кривая
на мелкой сетке.....	30	Листинг 10. Алгоритм быстрого кривой
Безье.....	31	Листинг 11. Разбиение комплексной
квадратичной кривой Безье.....	34	Листинг 12. Деление квадратичной
рациональной кривой Безье.....	38	Листинг 13. Построение ограниченного
рационального сегмента Безье.....	40	Листинг 14: Программы для
построения повернутых эллипсов.....	42	Листинг 15. Построение кубического
сегмента Безье.....	56	Листинг 16. Деление кубической кривой
Безье.....	59	Листинг 17: Программа для построения
сглаженная линия.....	66	Листинг 18: Программа для построения
сглаженного круга.....	68	Рисунок 19: Программа для построения
сглаженного прямоугольного эллипса.....	70	Листинг 20: Программа для
построения сглаженной квадратичной кривой Безье.....	72	Листинг 21. Программа
для построения сглаженной рациональной квадратичной кривой Безье.....	74	Листинг 22.
Программа для построения построить сглаженную кубическую кривую Безье.....	77	
Листинг 23: Программа для построения толстой сглаженной линии.....	80	
Листинг 24. Улучшенная программа для построения толстой сглаженной линии.....	81	
Листинг 25. Построение сглаженного заполненного круга.....	82	
Листинг 26. Построение эллипса толстой линией.....	84	Листинг 27.
Программа для построения сглаженной толстой квадратичной рациональной кривой		
Безье.....	86	Листинг 28. Рисование квадратичного сплайна по заданным точкам на кривой....

Список уравнений

(1) Неявное линейное уравнение.....	14
(2) Неявное уравнение эллипса.....	17 (3)
Целочисленная последовательность радиусов окружности.....	20 (4) Общее уравнение
Без e	24 (5) Квадратное уравнение
Без e	24 (6) Квадратичное условие
Без e	25 (7) Квадратичная матрица
Без e	25 (8) Квадратичная кривизна
Без e	25 (9) Неявная квадратичная кривизна
Без e	26 (10) Квадратичная точка
Без e	37 (11) Радиальное уравнение
Без e	38 (12) Радиальное квадратное
уравнение Без e	38 (13) Неявное радиальное
квадратное уравнение Без e	38 (14) Радиальное
квадратичное деление Без e	39 (15) Радиальное
квадратичное подточка Без e	39 (16)
Радиальное квадратичное приращение.....	41 (17)
Неявное уравнение повернутого эллипса.....	43 (18)
Приближение к убывающему Без e	47 (19)
К убывающему уравнению Без e	47 (20)
Общее неявное уравнение.....	47 (21)
Выражение Кэли.....	48 (22) Матрица
Без u	48 (23) Полиномиальный
результативный.....	49 (24) Общее
радиальное уравнение Без e	49 (25) К убывающему
уравнение Без e	50 (26) К убывающему
константы Без e_1	50 (27)
К убывающему константы Без e_2	51 (28)
К убывающему константы Без e_2	51
(29) Точное убывающее приведение Без e	51
(30) Форвардные разницы.....	52
(31) К убывающему передние разности.....	52 (32)
К убывающей неявной производной.....	53
(33) Результат самопересечения Без u	54 (34) Параметр
самопересечения.....	55 (35) Точка
перегиба.....	56 (36) Параметр точки
перегиба.....	56 (37) Замена параметра
1.....	60 (38) Замена параметра
2.....	61 (39) Средние контрольные точки.....

(40) Рациональное кубическое уравнение Безье.....	64
(41) Замена веса.....	64
(42) Неявное рациональное кубическое уравнение Безье.....	64
(43) Рациональная кубическая точка перегиба.....	68
(44) Кривая смещения.....	67
(45) Уравнение Пифагора.....	67
(46) Пифагорейское приближение.....	71
(47) Трёхдиагональная матрица квадратичного сплайна 1.....	85
(48) Трёхдиагональная матрица квадратичного сплайна 2.....	85
(49) Трёхдиагональная матрица кубического сплайна.....	